

784-3/2
1990



საქართველოს სსრ მეცნიერებათა აკადემიის მაცნე
ИЗВЕСТИЯ АКАДЕМИИ НАУК ГРУЗИНСКОЙ ССР
PROCEEDINGS OF THE ACADEMY OF SCIENCES
OF THE GEORGIAN SSR

ბიოლოგიური
სერია
БИОЛОГИЧЕСКАЯ

1990 N2

მაცნე
ТБИЛИСИ - ТОМ
TBILISI VOL.

16

СПИСОК РАЗДЕЛОВ БИОЛОГИИ, ПО КОТОРЫМ ПРИНИМАЮТСЯ СТАТЬИ

Теоретическая биология
Физиология человека и животных (норм. и патол.)
Морфология
 Анатомия
 Эмбриология и гистология
 Цитология
 Патологическая морфология
Биохимия
Фармакология
Ботаника (экспер. и теорет.)
Физиология растений
Зоология (экспер. и теорет.)
Энтомология
Паразитология
Гельминтология
Палеобиология
Биогеоценология
Экология
Микробиология
Вирусология
Иммунология
Генетика
Радиobiология
Биофизика
Молекулярная биология
Бионика и биокибернетика

საქართველოს სსრ მეცნიერებათა აკადემიის გაცემა
(Сакартвелос ССР мецниеребата академии мацне, გაცემათა
биологиис серия)
ИЗВЕСТИЯ АКАДЕМИИ НАУК ГРУЗИНСКОЙ ССР



გეოლოგიური სერია
СЕРИЯ БИОЛОГИЧЕСКАЯ

ტომი 16, № 2
Том

ქურნალი დაარსებულია 1975 წლის იანვარში
Журнал основан в январе 1975 года
გამოდის წელიწადში 6-ჯერ
Выходит 6 раз в год

თბილისი
ТБИЛИСИ

• „მეცნიერება“
• «МЕЦНИЕРЕБА»

• 1990

საქართველოს მოწვდიბლის:

მთავარი რედაქტორი გ. უშავა

მთავარი რედაქტორის მოაღველე თ. მნიანი

სწავლული მღივანი გ. ბერძანა

ლ. გაბუნია, მ. ზაალიშვილი, გ. თუმანიშვილი, გ. კანდელაძე,

ა. ნადარევიშვილი, გ. ნახუცრიშვილი, გ. სანაძე, ბ. ყურაშვილი, თ. ჭავაშვილი,

ნ. ჯავახიშვილი

პასუხისმგებელი მღივანი ხ. ლაბაძე



РЕДАКЦИОННАЯ КОЛЛЕГИЯ:

Главный редактор В. М. Окуджава

Зам. главного редактора Т. Н. Онiani

Ученый секретарь Г. Л. Бекая

ლ. კ. გაბუნია, ნ. ა. ჯავახიშვილი, მ. მ. ზაალიშვილი, გ. ვ. კანდელაკი,
ბ. ე. კურაშვილი, კ. შ. ნადარეშვილი, გ. შ. ნახუცრიშვილი, გ. ა. სანაძე,
გ. დ. ტუმანიშვილი, თ. გ. ჭავაშვილი

Ответственный секретарь С. Р. Лабадзе

EDITORIAL BOARD:

Editor-in-Chief V. M. Okujava

Associate Editor T. N. Oniani

Editorial Secretary G. L. Bekala

T. G. Chanishvili, N. A. Djavakhishvili,
L. K. Gabunia, G. V. Kandelaki, B. E. Kurashvili,
K. Sh. Nadareishvili, G. Sh. Nakhtutsrishvili,
G. A. Sanadze, G. D. Tumanishvili, M. M. Zaalistvili

Executive Secretary S. R. Labadze

© Известия АН ГССР

Серия биологическая, 1990

რედაქციის მისამართი:

380060, თბილისი-60, კუტუზოვის ქ. 19,

ტელ. 37-86-78

Адрес редакции:

380060, Тбилиси-60, ул. Кутузова, 19,

тел. 37-86-78

Корректор Д. Р. Арчадзе

Сдано в набор 14.07.89; Подписано в печать 16.03.90. УЭ 03551.

Формат бумаги 70×108^{1/16}. Бумага № 1. Высокая печать.

6,7 усл.-печ. л. 7,23 кр.-отт. 5,5 уч.-изд. л.

Тираж 1000 экз. Заказ 3096.

Цена 85 коп.

გამომცემლობა „მეცნიერება“, თბილისი, 380060, კუტუზოვის ქ. 19.

Издательство «Мецнериба», Тбилиси, 380060, ул. Кутузова, 19

საქართველოს სსრ 8006. ფინანსის სრამბა, თბილისი, 380060, კუტუზოვის ქ., 19

Типография АН Грузинской ССР, Тбилиси, 380060, ул. Кутузова, 19

СОДЕРЖАНИЕ — შინაარსი — CONTENTS

- Т. П. Читая. Изменение кардио-гемодинамики кроликов после однократного воздействия электромагнитного поля естественной частоты (50 Гц) при индукции 6 мТл. 77
- თ. ჩითაძე. ბოცერთა კარდიო-ჰემოდინამიკის ცვლილებები ერთგურადი ქსელის სიხშირის (50 ჰერცის) 6 მტლ ინდუქციის ელექტრომაგნიტური ველის ზემოქმედების შემთხვევა 77
- T. P. Chitaya. Cardio-haemodynamic changes induced by a single exposure of 50 Hz electromagnetic field with 6 mTl induction
- Н. К. Тотибадзе, Р. Д. Канделаки. Петроградное перерождение клеток ядер задних бугров четверохолмия после перерезки мозолистого тела головного мозга кошки 83
- ნ. თოთიძაძე, რ. კანდელაკი. ოთხველრაცის უკანა ბორცვების ბირთვების უკრეფების ჩრდილობრივული გადავარება კატის თავის ტკინის კორმანი სხეულის გადაჭრის შედეგი 83
- N. K. Totibadze, R. A. Kandelaki. Retrograde degeneration of cells in the inferior collicular nuclei after the section of corpus callosum in cats
- М. Н. Яшвили. К изучению ультраструктуры стенки пыльника некоторых растений субнивального пояса Центрального Кавказа 89
- მ. იაშვილი. ცენტრალური კავკასიონის სუბნივალური სარტკლის ზოგადო მცენარეთა მტერიანის კედლის ულტრასტრუქტურის შესწავლა 89
- M. N. Iashvili. Studies of anther wall ultrastructure of some plants in the subnival zone of the Central Caucasus
- Г. Д. Вадачкория, Р. Г. Салакая, И. А. Диасамидзе, В. В. Бабухадзе, Н. Б. Амирян, О. В. Цинцадзе, Г. В. Канделаки. Некоторые данные морфогистохимических и микробиологических исследований уретритов 97
- გ. ვადაჭხორია, რ. სალაკაია, ი. ა. დიასამიძე, ვ. ვ. ბაბუხაძე, ნ. ბ. ამირან, օ. ვ. ცინცაძე, გ. ვ. კანდელაკი. ურეტრიტის მორფოსტრუქტურული და მიკრობიოლოგიური გამოკვლევების ზოგადო მთხაცემი 97
- G. A. Vazadachkoria, R. G. Salakaya, I. A. Diasamidze, V. V. Babukhadia, N. B. Amirian, O. V. Tsintsadze, G. V. Kandelaki. Some data of morphohistochemical and microbiological study of urethritis
- Т. Г. Зардиашвили, Т. Д. Чигвинадзе, О. Т. Хачидзе, И. И. Maisaya. Полиморфизм проламинов семян некоторых видов, разновидностей и гибридов рода *Setaria* (L.) Beauv 101
- თ. ზარდიაშვილი, თ. ჩიგვინაძე, თ. ხაჩიძე, ი. თ. მაისაია. სეტარის გვარი *Setaria* (L.) Beauv-ს ზოგიერთი სახეობის, სახესსახეობის და პიბრილის მარცვლის პროლამინების პლიტონტრუქტები 101
- T. G. Zardiashvili, T. D. Chigvinadze, O. T. Khachidze, I. I. Maisaya. Polymorphism of seed prolamins of various species, sorts and hybrids of setaria (L.) Beauv
- К. Д. Куталия, М. Г. Векуа, З. П. Кометиани. Кинетическое исследование действия ЭГТА на Na₊-K₊-АТФазу 105
- კ. კუთალია, მ. გ. ვეკუა, ზ. პ. კომეტიანი. Na₊-K₊-ATPase-ზე ეგტა-ს მოქმედების კინეტიკური შესწავლა
- K. D. Kutalia, M. G. Vekua, Z. P. Kometiiani. Kinetic studies of EGTA effect on Na₊-K₊-ATPase
3. Ш. Табидзе. Гемокоагулирующие и противосвертывающие ферменты слизистой желудка и двенадцатиперстной кишки у больных бронхиальной астмой 111

- საქართველოს მეცნიერებების
აკადემიური კონფერენციალი
- ს. ტაბიძე. გაჟინა და თორმეტგანქანა ნაწლავის ლორწოვანის შემდეგებელი და ან-ტონიური გაერმენტები ბრონქიული ასთმით დავადებულებები**
- Z. Sh. Tabidze. Hemocoagulant and anticoagulative enzymes of gastroduodenal mucosa in patients with bronchial asthma
- A. L. Isakadze, R. N. Meladze. Влияние длительного применения нифедипина, пропранолола и изосорбид динитрата на различные виды метаболизма у больных хроническойишемической болезнью сердца
- ა. ისაკაძე, რ. მელაძე. გალუს ქრონიკული იშემიური დავადების დროს გერაბლობის ზოგიერთ სახეზე ნიუკლინობით, პროცენტოლოგიით და ინსორბინგ დიდ დონიტრატით ხანგრძლივი შეკრნილობის ვაკლენა
- A. L. Isakadze, R. N. Meladze. The effect of long-term use nifedipine, propranolol and isosorbide dinitrate on different kinds of metabolism in patients with chronic ischemic heart disease
- [Н. А. Аниели], Дж. Н. Аниели, Д. Г. Турабелидзе, Т. Л. Кобаладзе, М. Ш. Микая. Морфолого-анатомическое исследование почек однолетней
- [ნ. ა. ანელი], ჯ. ა. ანელი, დ. გ. თურაბელიძე, თ. ლ. კობალაძე, მ. შ. მიკაია. The morphological-anatomical structure of Artemisia Annua
- М. Л. Данилевский, И. Г. Джавелидзе. К вопросу о таксономическом статусе некоторых видов Stenurella villiers, 1974 (Coleoptera, Gerambycidae) с новыми данными по фауне жуков-усачей Грузии
- მ. დანილევსკი, ი. გ. ჯაველიძე. Stenurella Villiers, 1974 (Coleoptera, Gerambycidae) გვარში შემაცილი ზოგიერთი სახეობის ტაქსონომიური სტატუსის შესახებ და ახალი მონაცემები ხორც-ხარაბეჭებების საქართველოში.
- M. L. Danilevsky, I. G. Javellidze. On taxonomic status of some species of genus Stenurella villiers, 1974 (Coleoptera, Gerambycidae) with new data on Georgian longicorn beetles
- И. М. Мамукашвили. Динамика естественного возобновления еловых лесов Южной Грузии в связи с их световым режимом
- გ. მამუკაშვილი. სამხრეთი საქართველოს ნაძვნარი ტყეების ბუნებრივი განვითარების დინამიკის მათ სინათლის ჩეკიმითან
- I. I. Mamukashvili. Dynamics of natural renewal of fir-woods in South Georgia in relation to their light regimen
- М. О. Бежитадзе, Т. В. Бурданадзе, М. А. Ломая. Изучение механизма ренатурации коллагена при частичной денатурации в 2 М уксусной кислоте в присутствии соли
- მ. ბეჟითაძე, თ. ვ. ბურჯანაძე, მ. ა. ლომაია. Investigation of the collagen renaturation mechanism at partial denaturation in 2 M acetic acid in the presence of salt
- М.В. Пирцхалава, Л. М. Ткемаладзе, А. И. Кутовой, Р. В. Лукаренко, С. Н. Черненская, А. Н. Васильев. Содержание полiamинов в печени мышей при действии тетрахлоруглерода
- ლ. პირცხალავა, ლ. მ. ტქემალაძე, ა. ი. კუთოვი, რ. ვ. ლუკერენკო, ს. ნ. ჩერნენკაა, ა. ვასილევი. ასებების დოზის მექანიზმის შესწავლა 2M ძმარმებაში მარილის თანაობისას
- M. O. Bezhitadze, M. A. Lomaya, T. V. Burjanadze. Investigation of the collagen renaturation mechanism at partial denaturation in 2 M acetic acid in the presence of salt
- М.В. Пирцхалава, Л. М. Ткемаладзе, А. И. Кутовой, Р. В. Лукаренко, С. Н. Черненская, А. Н. Васильев. Содержание полiamинов в печени мышей при действии тетрахлоруглерода
- ლ. პირცხალავა, ლ. მ. ტქემალაძე, ა. ი. კუთოვი, რ. ვ. ლუკერენკო, ს. ნ. ჩერნენკაა, ა. ვასილევი. ასებების დოზის მექანიზმის შესწავლა 2M ძმარმებაში მარილის თანაობისას
- M. V. Pirtsxhalava, L. M. Tkemaladze, A. I. Kutovoi, R. V. Lukerenko, S. N. Chornenkaya, A. N. Vasiliiev. Polyamine content in the liver of mice under the effect of carbon tetrachloride

УДК 612.89.426.612.143

ФИЗИОЛОГИЯ ЧЕЛОВЕКА И ЖИВОТНЫХ

ИЗМЕНЕНИЯ КАРДИО-ГЕМОДИНАМИКИ КРОЛИКОВ ПОСЛЕ
ОДНОКРАТНОГО ВОЗДЕЙСТВИЯ ЭЛЕКТРОМАГНИТНОГО
ПОЛЯ СЕТЕВОЙ ЧАСТОТЫ (50 Гц) ПРИ ИНДУКЦИИ 6 мТл

Т. П. Читая

Институт физиологии им. И. С. Бериташвили АН ГССР, Тбилиси

Поступила в редакцию 10.05.88

На 12 кроликах породы шиншилла массой тела 2,5–3,0 кг в условиях хронического опыта были изучены изменения фазовой структуры систолы левого желудочка и системной гемодинамики после однократного общего воздействия электромагнитного поля сетевой частоты в течение 1 ч при индукции 6 мТл и крацио-каудальном направлении вектора поля. Обнаружено, что в течение суток после воздействия наблюдается резко выраженный гипердинамический фазовый синдром с изменением структуры сердечного цикла и возрастанием общесициркулярного обеспечения на фоне увеличения систолического и минутного объемов, систолического индекса, понижение общего периферического сопротивления без достоверных изменений частоты сердцебиения и понижение артериального давления, более выраженного в течение 1–3 ч.

Рассмотрены некоторые общие вопросы возможного механизма развития указанных сдвигов.

В связи с развитием энергетики и индустриальных методов производства, широким внедрением и развитием бытовой электротехники, а также применением в лечебных целях электромагнитных полей сетевой частоты (ЭМП СЧ), изучение механизмов биологического действия данного фактора приобретает большое теоретическое и практическое значение.

В современной литературе не имеется единого мнения в отношении биологического действия ЭМП СЧ [1–4]. Известно также, что в зависимости от силы любого экстремального воздействия, в организме развиваются различные изменения — от стимуляции биологических процессов до стрессовой реакции и возникновения патологических состояний, вплоть до гибели животного [5–7]. Было обнаружено, что в одних случаях реакции живых организмов на ЭМП возникают лишь при некоторых оптимальных интенсивностях, в других — эффекты возрастают лишь при уменьшении интенсивности ЭМП, в третьих — при

малых и больших интенсивностях реакций, противоположных по характеру [8–10].

В ранее выполненной работе [11] нами было показано, что однократное общее воздействие ЭМП СЧ при индукции 3 мТл вызывает у кроликов заметную интенсификацию кардио-гемодинамики. Указанные сдвиги, судя по нашим результатам, являются проявлением общей неспецифической реакции на данное физическое воздействие. Общий характер изменения кардиогемодинамики позволил предположить, что ЭМП СЧ индукцией 3 мТл является биологически активным, а при достаточно большой интенсивности и продолжительности может играть роль стрессора.

Учитывая изложенное, в настоящей работе проведено комплексное экспериментальное исследование изменений фазовой структуры систолы левого желудочка (ФССЛЖ) и системной гемодинамики (СГ) при однократном общем воздействии ЭМП СЧ, индукции 6 мТл и продолжительности экспозиции 1 ч.

Читая Т. П.
19.4.5.2

Исследование проводилось в хронических условиях на 12 половозрелых кроликах породы шиншилла обоего пола массой тела 2,5—3 кг. Методика исследования и обработки резуль-

татов измерений были идентичны описаным в предыдущей работе [11], с той лишь разницей, что тотальное воздействие ЭМП СЧ проводилось при индукции 6 мГц.

РЕЗУЛЬТАТЫ ИССЛЕДОВАНИЯ И ИХ ОБСУЖДЕНИЕ

В табл. I представлены средневзвешенные данные (\bar{X}) и средние ошибки этих величин (M) для всех 12 использованных в настоящем исследовании животных — до (фон), сразу,

ставление об изменениях всех анализируемых параметров и отчетливо показывает, что уже сразу после однократного воздействия ЭМП СЧ развиваются резко выраженные гипер-

ТАБЛИЦА I
ИЗМЕНЕНИЯ КАРДИО-ГЕМОДИНАМИКИ НА РАЗНЫХ СТАПАХ ПОСЛЕ
ОДНОКРАТНОГО ОБЩЕГО ВОЗДЕЙСТВИЯ ЭМП 50 Гц 6 МИЛЛИГЕРЦ

ПП	ФАЗЫ СЧ И ПОКАЗАТЕЛИ	ФОН				ЧЕРЕЗ 5 МИН				ЧЕРЕЗ 1 ЧАС				ЧЕРЕЗ 24 ЧАСА			
		X1	M1	X2	M2	X3	M3	X4	M4	X1	M1	X2	M2	X3	M3	X4	M4
1	СЕРДЕЧНАЯ ШИКЛЮСА В МИЛЛИСЕКУНДАХ СИСТОЛА	224.25	0.4511	224.16	0.3311	227.36	0.2331	228.87	0.3031	—	—	—	—	—	—	—	—
2	ЭЛЕКТРИЧЕСКАЯ	—	—	—	—	—	—	—	—	—	—	—	—	—	—	—	—
3	МЕХАНИЧЕСКАЯ	135.18	0.5011	142.58	0.4721	141.92	0.3861	142.41	0.4691	—	—	—	—	—	—	—	—
4	ЭЛЕКТРОМЕХАНИЧЕСКАЯ (ФОРМА)	107.33	0.7771	113.69	0.5451	113.08	0.5111	113.15	0.4271	—	—	—	—	—	—	—	—
5	ПЕРИОД НАПРЯЖЕНИЯ	132.91	0.5691	138.78	0.5361	138.84	0.3901	139.21	0.5521	—	—	—	—	—	—	—	—
6	ФАЗА АСИСТОННОГО СОКРАЩЕНИЯ	49.41	1.3851	42.54	1.6111	43.47	1.0581	46.73	0.6521	—	—	—	—	—	—	—	—
7	ФАЗА ИЗОМЕTRИЧЕСКОГО СОКРАЩЕНИЯ	26.81	0.5891	24.98	0.4821	24.73	0.4061	25.35	0.4351	—	—	—	—	—	—	—	—
8	ПЕРИОД ИЗГНЯНИЯ	123.19	1.2671	17.64	0.9111	18.73	0.9691	21.38	0.7321	—	—	—	—	—	—	—	—
9	ФАЗА БЫСТРОГО ИЗГНЯНИЯ (БИ)	95.94	0.6271	96.04	0.7301	95.15	0.8231	91.76	0.5951	—	—	—	—	—	—	—	—
10	ФАЗА МЕДЛЕННОГО ИЗГНЯНИЯ (МИ) ДИАСТОЛА	37.28	0.6481	42.95	0.7651	42.21	0.5811	41.18	0.5161	—	—	—	—	—	—	—	—
11	ЭЛЕКТРИЧЕСКАЯ	46.65	1.2101	53.89	1.0151	52.94	0.9631	58.66	0.7871	—	—	—	—	—	—	—	—
12	НЕХИАТИЧЕСКАЯ	—	—	—	—	—	—	—	—	—	—	—	—	—	—	—	—
13	АРТИОСИТОЛТИЧЕСКАЯ ФАЗА ДИАСТОЛЫ	54.89	0.3851	55.69	0.2141	55.86	0.2951	55.12	0.2221	—	—	—	—	—	—	—	—
14	ГЕМОДИНАМИЧЕСКАЯ ИНТЕРВАЛ (HEGLIN)	-2.27	0.7741	-3.08	0.7141	-3.08	0.5491	-3.19	0.7251	—	—	—	—	—	—	—	—
15	СИСТОЛИЧЕСКИЙ ПОКАЗАТЕЛЬ	—	—	—	—	—	—	—	—	—	—	—	—	—	—	—	—
16	ПО ЭКГ	0.60	0.0841	0.64	0.0841	0.63	0.0831	0.62	0.0831	—	—	—	—	—	—	—	—
17	ПО ФГТ	0.48	0.0881	0.51	0.0851	0.50	0.0851	0.50	0.0841	—	—	—	—	—	—	—	—
18	СИСТОЛИЧЕСКИЙ КОЛЛИНД (KUNOS)	79.49	0.8221	79.76	0.5941	0.023	0.5321	79.42	0.4881	—	—	—	—	—	—	—	—
19	ВС КОЛЛИНД (KUMLBERGER)	78.16	1.4561	84.48	0.9321	82.62	0.9911	81.21	0.7291	—	—	—	—	—	—	—	—
20	ИНДЕКС НАПРЯЖЕНИЯ МИОКАРДА (КИРПИЧ)	1.71	0.8301	2.28	0.8251	2.29	0.8271	1.97	0.8191	—	—	—	—	—	—	—	—
21	ОТНОШЕНИЕ ФАЗ МИ И БИ	37.22	0.2771	38.72	0.2411	31.38	0.2601	33.57	0.1841	—	—	—	—	—	—	—	—
22	АРТЕРИАЛЬНОЕ Давление	1.30	0.9331	1.24	0.8261	1.26	0.8221	1.23	0.8201	—	—	—	—	—	—	—	—
23	Максимальное	121.26	2.2681	116.75	2.0501	115.33	2.0641	118.50	2.1461	—	—	—	—	—	—	—	—
24	Минимальное	82.03	1.5381	76.20	1.3351	75.01	1.3551	77.39	1.4841	—	—	—	—	—	—	—	—
25	Среднее (HEGELER-BODER)	98.98	2.7401	93.64	2.4461	92.35	2.4061	95.97	2.5641	—	—	—	—	—	—	—	—
26	Скор. ПОВЫШ ВЫД (КИРПИЧ) ММН/СЕК	336.54	3.5241	424.98	3.2891	389.85	3.5081	336.33	2.4501	—	—	—	—	—	—	—	—
27	ВС КОЛЛИНД (KUMLBERGER)	16.42	0.8261	20.15	0.8251	19.31	0.8261	17.42	0.8251	—	—	—	—	—	—	—	—
28	Пульс в минуту	268.56	4.3851	259.27	4.8181	265.17	4.1851	262.92	4.8941	—	—	—	—	—	—	—	—
29	Дыхание в минуту	64.94	2.4761	65.84	0.8131	67.38	2.4921	67.56	2.4671	—	—	—	—	—	—	—	—
30	СНОУ-ОБМЕН	1.37	0.8341	1.92	0.8451	1.81	0.8441	1.59	0.8391	—	—	—	—	—	—	—	—
31	МЯГКИЙ ОБМЕН (МЛ)	168.62	1.7811	519.89	1.6661	486.81	1.7241	417.65	1.7211	—	—	—	—	—	—	—	—
32	СИСТОЛИЧЕСКИЙ ИНДЕКС (МЛ/МН+2)	2163.97	28.1311	1459.55	26.2751	1530.00	27.2321	1848.31	27.2261	—	—	—	—	—	—	—	—
33	СИСТОЛИЧЕСКИЙ ИНДЕКС (МЛ/МН+2). ВН + ИНДЕКС СИС-2. ДИАС СИС--5	10.16	0.1161	14.89	0.1581	12.47	0.1481	11.71	0.1291	—	—	—	—	—	—	—	—
34	ДИАС СИС-5.14	0.88	0.0861	0.88	0.0861	0.88	0.0861	0.88	0.0861	—	—	—	—	—	—	—	—

через 7 и через 24 ч после воздействия ЭМП СЧ. Значения параметров, приведенные под этой таблицей (ДВ1-ДВ4) соответствуют должностным величинам (ДВ) электрической (СЭ), механической (СМ), общей (СО) систол, периоду изгнания (ПИ) и механической диастоле (ДМ), рассчитанным по электрическим уравнениям прямой, установленным в зависимости от СЧ. Табл. I дает общее пред-

динамические сдвиги. Результаты более детального поэтапного сравнения динамики изменения абсолютных (X) и удельных (УД) значений изученных параметров даны в последующих таблицах, где названия фаз и периодов, а также других показателей и параметров системной гемодинамики даны в сокращенном виде, однако номера параметров соответствуют тем, которые даны в табл. I.

В табл. 2 приведены средневзвешенные и удельные величины ($\bar{U}D\%$ данной фазы или периода в СЧ) и их средние ошибки (M_1 и M_2 соответственно) для систолических периодов и фаз до воздействия (фон), через 2–3 мин, через 1, 2, 3 и 24 ч после воздействия ЭМП СЧ 6 мТл: Р1–Р2 — вероятность достоверности различий по параметрическому критерию Стьюдента при исходной нулевой ги-

няется, однако через 1 и 3 ч продолжительность СЧ в среднем увеличивается всего на 3 мс, но эти изменения являются статистически достоверными. Кроме СЧ, сразу после воздействия все систолические параметры (исключение — фаза асинхронного сокращения) статистически достоверно изменяются; показатели систолы (СЭ, СМ, СО) достоверно увеличены в течение всего периода на-

ТАБЛИЦА 2

ИЗМЕНЕНИЯ СИСТОЛИЧЕСКИХ ФАЗ СЧ НА РАЗНЫХ ЭТАПАХ ПОСЛЕ ОНОКОРДАГО ОБЩЕГО ВОЗДЕЙСТВИЯ ЭМП 50 Гц 6 МИЛЛЕСЛА

И	ЭТАПЫ И	ВИД	И	СИСТОЛА	И	ПЕРИОД	И	НАПРЯЖЕНИЯ	И	ПЕРИОД	И												
И	Наблюдения	И	П	1	1	2	1	3	1	4	1	5	1	6	1	7	1	8	1	9	1	10	1
ГР-П 06-06	ФОН	I X	I	224.21	135.21	187.31	132.91	49.41	26.01	23.41	83.91	37.31	46.71										
		I УД	I	60.281	47.861	59.271	22.031	11.681	10.431	37.431	16.631	20.801											
		I M1	I	0.4511	0.5011	0.7771	0.5891	1.3651	0.5091	1.2871	0.8271	0.6401	1.2101										
		I M2	I	0.2241	0.3461	0.2631	0.6171	0.2271	0.5741	0.4581	0.2861	0.5401											
ГР-П 06-01	ИМПОСЛЕ	I X	I	224.21	142.51	113.71	138.71	42.51	24.91	17.61	96.01	43.01	53.11										
		I УД	I	63.571	50.711	61.881	18.981	11.111	7.871	42.841	19.161	23.681											
		I M1	I	0.3311	0.4721	0.5451	0.5361	1.0311	0.4621	0.9111	0.7301	0.7051	0.1851										
		I M2	I	0.2111	0.2431	0.2391	0.4601	0.2151	0.4061	0.3261	0.3141	0.4531											
		I P1	I	>0.5	<0.01	<0.01	<0.01	I<0.1	I<0.1	I<0.1	I<0.01	I<0.01	I<0.1										
		I P2	I	<0.01	<0.01	<0.01	I<0.1	I<0.05	I<0.01	I<0.01	I<0.01	I<0.01	I<0.1										
ГР-П 06-03	ИМПОСЛЕ	I X	I	227.41	141.91	113.91	138.81	43.51	24.71	18.71	95.11	42.21	52.91										
		I УД	I	62.421	50.091	61.071	19.121	10.881	8.241	41.851	18.571	23.281											
		I M1	I	0.2331	0.3861	0.5111	0.3901	1.0501	0.4061	0.9691	0.8231	0.5011	0.9631										
		I M2	I	0.1701	0.2251	0.1721	0.4621	0.1781	0.4261	0.3621	0.2201	0.4241											
		I P1	I	<0.01	<0.01	<0.01	I<0.1	I<0.1	I<0.05	I<0.01	I<0.01	I<0.1	I<0.1										
		I P2	I	<0.01	<0.01	<0.01	I<0.1	I<0.05	I<0.01	I<0.01	I<0.01	I<0.01	I<0.1										
		I P3	I	>0.5	I>0.5	I>0.5	I>0.5	I>0.5	I>0.5	I>0.5	I>0.5	I>0.5	I>0.5										
		I P4	I	<0.01	I<0.1	I<0.01	I<0.05	I<0.01	I<0.05	I<0.01	I<0.01	I<0.01	I<0.1										
ГР-П 06-07	ИМПОСЛЕ	I X	I	228.91	142.41	113.11	139.21	46.71	25.41	21.41	91.81	41.11	50.71										
		I УД	I	62.221	49.441	60.831	20.421	11.081	9.341	40.101	17.961	22.141											
		I M1	I	0.3031	0.4691	0.4271	0.5521	0.8521	0.4351	0.7321	0.5951	0.5161	0.7871										
		I M2	I	0.2051	0.1871	0.2411	0.3721	0.1901	0.3201	0.2601	0.2251	0.3441											
		I P1	I	<0.01	<0.01	<0.01	I<0.1	I<0.05	I<0.01	I<0.01	I<0.01	I<0.1	I<0.05										
		I P2	I	<0.01	I<0.1	I<0.01	I<0.05	I<0.01	I<0.01	I<0.01	I<0.01	I<0.01	I<0.05										
		I P3	I	I<0.1	I<0.5	I<0.1	I<0.05	I<0.01	I<0.01	I<0.05	I<0.01	I<0.01	I<0.1										
		I P4	I	I<0.5	I<0.1	I<0.01	I<0.05	I<0.01	I<0.05	I<0.01	I<0.01	I<0.01	I<0.1										
ГР-П 06-08	ИМПОСЛЕ	I X	I	225.01	137.91	109.71	125.11	48.51	25.51	23.01	86.71	39.21	47.51										
		I УД	I	61.321	48.751	60.071	21.541	11.321	10.221	38.531	17.421	21.121											
		I M1	I	0.4191	0.3871	0.8191	0.6001	1.1941	0.4931	1.0871	0.7151	0.5011	0.8731										
		I M2	I	0.1721	0.3641	0.2671	0.5211	0.2191	0.4831	0.3181	0.2221	0.3881											
		I P1	I	I<0.1	I<0.1	I<0.05	I<0.05	I<0.5	I<0.5	I<0.5	I<0.5	I<0.5	I<0.5										
		I P2	I	I<0.1	I<0.1	I<0.05	I<0.05	I<0.5	I<0.5	I<0.5	I<0.5	I<0.5	I<0.5										
		I P3	I	<0.01	I<0.1	I<0.01	I<0.001	I<0.1	I<0.5	I<0.5	I<0.1	I<0.01	I<0.05										
		I P4	I	I<0.5	I<0.1	I<0.01	I<0.05	I<0.01	I<0.5	I<0.5	I<0.1	I<0.01	I<0.05										

потезе и сравнении любого оцениваемого параметра с фоном; Р3 и Р4 — то же при сравнении с предыдущим этапом на любом этапе наблюдения. Эти обозначения приняты и для последующих таблиц.

Как видно из табл. 2, продолжительность сердечного цикла сразу после воздействия или, точнее, через 2–3 мин после воздействия, не изме-

няется, однако через 1 и 3 ч продолжительность СЧ в среднем увеличивается всего на 3 мс, но эти изменения являются статистически достоверными. Кроме СЧ, сразу после воздействия все систолические параметры (исключение — фаза изометрического сокращения) статистически достоверно изменяются; показатели систолы (СЭ, СМ, СО) достоверно увеличены в течение всего периода на-

фект в течение первых двух часов. Также достоверно увеличивается период изгнания на всех этапах наблюдения, включая 24 ч. При этом увеличивается длительность как быстрого, так и медленного изгнания.

В табл. 3 представлена динамика изменения некоторых диастолических фаз и производных величин — показателей и коэффициентов, отражаю-

Хотя также не является существенным. Статистически достоверное увеличение внутрисистолического коэффициента Блюмбергера и уменьшение индекса напряжения миокарда по Карлману на всех этапах наблюдения позволяет сделать вывод о том, что используемые нами воздействия по критериям фазовой структуры сердечного цикла улучшают сократитель-

ТАБЛИЦА 3
ИЗМЕНЕНИЯ ДИАСТОЛИЧЕСКИХ ФАЗ СЦ И ПОКАЗАТЕЛЕЙ СИСТОЛЫ
ПОСЛЕ ОДНОКРАТНОГО ОБЩЕГО ВОДЕЙСТВИЯ ЭМП 50 Гц 6 МИЛЛИСЕК.

щих фазовые характеристики сократительной способности миокарда. Принцип построения таблицы и этапы наблюдения те же, что и в табл. 2.

Как видно из табл. 3, электрические и механические диастолы достоверно уменьшаются в течение первых двух часов после воздействия, без выраженной тенденции увеличения атрио-вентрикулярной проводимости. Сдвиг гемодинамического интервала

ную функцию миокарда без заметного увеличения энергозатрат. Более однозначно на это указывают интервалы табл. 4, где представлена динамика изменения параметров системной гемодинамики.

Прежде всего обращает на себя внимание статистически достоверное увеличение скорости повышения внутрижелудочкового давления (СПВЖД) и скорости изгнания СО (СИСО) в

течение первых трех часов наблюдения. Вместе с этим в течение первых трех часов наблюдения статистически достоверно возрастает систолический (СО) и минутный объем крови (МОК) при выраженному понижении общего периферического сопротивления и увеличении систолического индекса (СИ). Важно, что это происходит на фоне неизменной или несколько уменьшенной частоты сердцебиения. Отдельно надо выделить статистически достоверные понижения как максимального, так и минимального АД в течение первых двух часов, которые отмечаются и через 24 часа, но в меньшей степени.

ТАБЛИЦА 4
ИЗМЕНЕНИЯ СИСТЕМНОЙ ГЕМОДИНАМИКИ ПОСЛЕ ОДНОКРУГАТОГО ОБЩЕГО
ВОДДЕЙСТВИЯ ЭМП СЕТЕВОЙ ЧАСТОТЫ (58 Гц) ПРИ ИНДУКЦИИ 6 МЛН/СЛС

I	II	III	IV	V	VI	VII	VIII	IX	X	XI	XII	XIII	XIV	XV	XVI
ЭТАПЫ И	С	АРТЕРИАЛЬНОЕ	ДАВЛЕНИЕ	И	И	И	И	И	И	И	И	И	И	И	И
I				—СПЕЖИ СИСОЧЕС	ЧСЕ	ЧД	—								
ВНД		ТГ	МКС	И	МЧН	И	СРВ	И	60	И	1	1	1	1	1
I															
Наблюдения	П	П	38	П	31	П	32	П	33	П	34	П	35	П	36
ГР-П 06-08	И	Х	112	П	82	П	81	П	98	П	91	П	337	П	1
ГР-П 06-08	И	М	1	2	2681	1	541	2	741	3	521	0	831	4	311
ГР-П 06-08	И	Х	116	П	81	П	76	П	21	П	93	П	61	П	425
ГР-П 06-08	И	М	1	2	8501	1	331	2	451	3	211	0	821	4	611
ГР-П 06-08	И	Х	116	П	81	П	76	П	21	П	93	П	61	П	425
ГР-П 06-08	И	М	1	2	8501	1	331	2	451	3	211	0	821	4	611
ГР-П 06-08	И	Х	115	П	75	П	81	П	93	П	31	П	390	П	19
ГР-П 06-08	И	М	1	2	8841	1	361	2	491	3	511	0	831	4	611
ГР-П 06-08	И	Х	115	П	75	П	81	П	93	П	31	П	390	П	19
ГР-П 06-08	И	М	1	2	8841	1	361	2	491	3	511	0	831	4	611
ГР-П 06-08	И	Х	118	П	81	П	77	П	41	П	95	П	11	П	256
ГР-П 06-08	И	М	1	2	1461	1	491	2	561	3	2451	0	921	4	891
ГР-П 06-08	И	Х	118	П	81	П	77	П	41	П	95	П	11	П	256
ГР-П 06-08	И	М	1	2	1461	1	491	2	561	3	2451	0	921	4	891
ГР-П 06-08	И	Х	119	П	81	П	77	П	41	П	95	П	11	П	256
ГР-П 06-08	И	М	1	2	2361	1	501	2	691	3	091	0	831	4	781
ГР-П 06-08	И	Х	119	П	81	П	77	П	41	П	95	П	11	П	256
ГР-П 06-08	И	М	1	2	2361	1	501	2	691	3	091	0	831	4	781
ГР-П 06-08	И	Х	119	П	81	П	77	П	41	П	95	П	11	П	256
ГР-П 06-08	И	М	1	2	2361	1	501	2	691	3	091	0	831	4	781
ГР-П 06-08	И	Х	119	П	81	П	77	П	41	П	95	П	11	П	256
ГР-П 06-08	И	М	1	2	2361	1	501	2	691	3	091	0	831	4	781
ГР-П 06-08	И	Х	119	П	81	П	77	П	41	П	95	П	11	П	256
ГР-П 06-08	И	М	1	2	2361	1	501	2	691	3	091	0	831	4	781
ГР-П 06-08	И	Х	119	П	81	П	77	П	41	П	95	П	11	П	256
ГР-П 06-08	И	М	1	2	2361	1	501	2	691	3	091	0	831	4	781
ГР-П 06-08	И	Х	119	П	81	П	77	П	41	П	95	П	11	П	256
ГР-П 06-08	И	М	1	2	2361	1	501	2	691	3	091	0	831	4	781
ГР-П 06-08	И	Х	119	П	81	П	77	П	41	П	95	П	11	П	256
ГР-П 06-08	И	М	1	2	2361	1	501	2	691	3	091	0	831	4	781
ГР-П 06-08	И	Х	119	П	81	П	77	П	41	П	95	П	11	П	256
ГР-П 06-08	И	М	1	2	2361	1	501	2	691	3	091	0	831	4	781
ГР-П 06-08	И	Х	119	П	81	П	77	П	41	П	95	П	11	П	256
ГР-П 06-08	И	М	1	2	2361	1	501	2	691	3	091	0	831	4	781
ГР-П 06-08	И	Х	119	П	81	П	77	П	41	П	95	П	11	П	256
ГР-П 06-08	И	М	1	2	2361	1	501	2	691	3	091	0	831	4	781
ГР-П 06-08	И	Х	119	П	81	П	77	П	41	П	95	П	11	П	256
ГР-П 06-08	И	М	1	2	2361	1	501	2	691	3	091	0	831	4	781
ГР-П 06-08	И	Х	119	П	81	П	77	П	41	П	95	П	11	П	256
ГР-П 06-08	И	М	1	2	2361	1	501	2	691	3	091	0	831	4	781
ГР-П 06-08	И	Х	119	П	81	П	77	П	41	П	95	П	11	П	256
ГР-П 06-08	И	М	1	2	2361	1	501	2	691	3	091	0	831	4	781
ГР-П 06-08	И	Х	119	П	81	П	77	П	41	П	95	П	11	П	256
ГР-П 06-08	И	М	1	2	2361	1	501	2	691	3	091	0	831	4	781
ГР-П 06-08	И	Х	119	П	81	П	77	П	41	П	95	П	11	П	256
ГР-П 06-08	И	М	1	2	2361	1	501	2	691	3	091	0	831	4	781
ГР-П 06-08	И	Х	119	П	81	П	77	П	41	П	95	П	11	П	256
ГР-П 06-08	И	М	1	2	2361	1	501	2	691	3	091	0	831	4	781
ГР-П 06-08	И	Х	119	П	81	П	77	П	41	П	95	П	11	П	256
ГР-П 06-08	И	М	1	2	2361	1	501	2	691	3	091	0	831	4	781
ГР-П 06-08	И	Х	119	П	81	П	77	П	41	П	95	П	11	П	256
ГР-П 06-08	И	М	1	2	2361	1	501	2	691	3	091	0	831	4	781
ГР-П 06-08	И	Х	119	П	81	П	77	П	41	П	95	П	11	П	256
ГР-П 06-08	И	М	1	2	2361	1	501	2	691	3	091	0	831	4	781
ГР-П 06-08	И	Х	119	П	81	П	77	П	41	П	95	П	11	П	256
ГР-П 06-08	И	М	1	2	2361	1	501	2	691	3	091	0	831	4	781
ГР-П 06-08	И	Х	119	П	81	П	77	П	41	П	95	П	11	П	256
ГР-П 06-08	И	М	1	2	2361	1	501	2	691	3	091	0	831	4	781
ГР-П 06-08	И	Х	119	П	81	П	77	П	41	П	95	П	11	П	256
ГР-П 06-08	И	М	1	2	2361	1	501	2	691	3	091	0	831	4	781
ГР-П 06-08	И	Х	119	П	81	П	77	П	41	П	95	П	11	П	256
ГР-П 06-08	И	М	1	2	2361	1	501	2	691	3	091	0	831	4	781
ГР-П 06-08	И	Х	119	П	81	П	77	П	41	П	95	П	11	П	256
ГР-П 06-08	И	М	1	2	2361	1	501	2	691	3	091	0	831	4	781
ГР-П 06-08	И	Х	119	П	81	П	77	П	41	П	95	П	11	П	256
ГР-П 06-08	И	М	1	2	2361	1	501	2	691	3	091	0	831	4	781
ГР-П 06-08	И	Х	119	П	81	П	77	П	41	П	95	П	11	П	256
ГР-П 06-08	И	М	1	2	2361	1	501	2	691	3	091	0	831	4	781
ГР-П 06-08	И	Х	119	П	81	П	77	П	41	П	95	П	11	П	256
ГР-П 06-08	И	М	1	2	2361	1	501	2	691	3	091	0	831	4	781
ГР-П 06-08	И	Х	119	П	81	П	77	П	41	П	95	П	11	П	256
ГР-П 06-08	И	М	1	2	2361	1	501	2	691	3	091	0	831	4	781
ГР-П 06-08	И	Х	119	П	81	П	77	П	41	П	95	П	11	П	256
ГР-П 06-08	И	М	1	2	2361	1	501	2	691	3	091	0	831	4	781
ГР-П 06-08	И	Х	119	П	81	П	77	П	41	П	95	П	11	П	256
ГР-П 06-08	И	М	1	2	2361	1	501	2	691	3	091	0	831	4	781
ГР-П 06-08	И	Х	119	П	81	П	77	П	41	П	95	П	11	П	256
ГР-П 06-08	И	М	1	2	2361	1	501	2	691	3	091	0	831	4	781
ГР-П 06-08	И	Х	119	П	81	П	77	П	41	П	95	П	11	П	256
ГР-П 06-08	И	М	1	2	2361	1	501	2	691	3	091	0	831	4	781
ГР-П 06-08	И	Х	119	П	81	П	77	П	41	П	95	П	11	П	256
ГР-П 06-08	И	М	1	2	2361	1	501	2	691	3	091	0	831	4	781
ГР-П 06-08	И	Х	119	П	81	П	77	П	41	П	95	П	11	П	256
ГР-П 06-08	И	М	1	2	2361	1	501	2	691	3	091	0	831	4	781
ГР-П 06-08	И	Х	119	П	81	П	77	П	41	П	95	П	11	П	256
ГР-П 06-08	И	М	1	2	2361	1	501	2	691	3	091	0	831	4	781
ГР-П 06-08	И	Х	119	П	81	П	77	П	41	П	95	П	11	П	256
ГР-П 06-08	И	М	1	2	2361	1	501	2	691	3	091	0	831	4	781
ГР-П 06-08	И	Х	119	П	81	П	77	П	41	П	95	П	11	П	256
ГР-П 06-08	И	М	1	2	2361	1	501	2	691	3	091	0	831	4	781
ГР-П 06-08	И	Х	119	П	81	П	77	П	41	П	95	П	11	П	256
ГР-П 06-08	И	М	1	2	2361	1	501	2	691	3	091				



4. Читая Т.П., Надарейшвили К.Ш.
Изв. АН ГССР, сер. биол., 15, 5, 393—402, 1989.
5. Яковлева М. И. Физические механизмы действия электромагнитных полей, Л., 1973.
6. Bachischwанджиева Р. З. Physiother., 39, 1, 23—32, 1987.
7. Frey A. H., Eichert E. C. J. Biophys., 5, 2, 201—220, 1986.
8. Kay G. C. PACE, 11, 7, 999—1008, 1988.
9. Grunner O. Car. Lek. Česk., 1987, 120, 13, 405—409, 1987.
10. De Kardaniel P. Kinerther Sci., 242, 48—57, 1986.
11. Kroling P., Schnizer W. Z. Phys. Med. Biol. Med. Klin., 14, 3, 177 — 198, 1985.

გოცვირთა კარდიო-ჰემოდინამიკის ცვლილებები ერთჯერადი
ძალის ცხრილის (50 ჰერცის) 6 მტლ ინდუქციის
ელემტორმაგნიტური ველის ზემოქმედების შემდეგ

III. ჩითაია

საქართველოს სსრ მეცნიერებათა აკადემიის ი. ბერიაშვილის სახელობის
ფიზიოლოგის ინსტიტუტი, თბილისი

რეზიუმე

ქრონიკული ცდის პირობებში შინშილის ჭიშის 12 ზრდასრულ (2,5—3,0 კგ) ბოცვერზე ზესწავლის ინდონცენა პარკურის ფაზური სტრუქტურისა და სისტემური ჰემოდინამიკის ცვლილებები ქსელის სიხშირის (50 ჰც) ელექტრორმაგნიტური ველის 1-სათანა ზემოქმედების შემდგა. ველის ექვთორის მიმართულება იყო კრანიკაუდალური, ხოლო ინდუქცია 6 მტლ-ია.

აღმოჩნდა, რომ ველის ზემოქმედების დამთავრებდან დაწყებული 24 სთ-ის განმავლობაში მეტიოდ ვლინდება პი-ცერდინამიური ფაზური სინდრომი, რა-

საც თან ახლავს სისტემური სისხლმომარგების გაძლიერება, სისტოლური და წუთმოცულობის და სისტოლური ინდუქციის მომატება საერთო პერიფერიული წინააღმდეგობის შემცირების ფონზე. გულისცემის სიხშირე სტატისტიკურად სარწმუნოდ აზ იცვლება, ხოლო არტერიული წნევა ძევითდება. ცვლილებები უფრო გამოხატული იყო დაკვირვების პირველი სამი სათის განმავლობაში.

სტატიაში განხილულია აღნიშნული ცვლილებების შესაძლო ზოგიერთი მექანიზმები.

CARDIO-HAEMODYNAMIC CHANGES INDUCED BY A SINGLE EXPOSURE OF 50 Hz ELECTROMAGNETIC FIELD WITH 6 mT INDUCTION

T. P. CHITAI

I. S. Beritashvili Institute of Physiology, Georgian Academy of Sciences, Tbilisi, USSR

Summary

In chronic experiments on 12 adult Chinchilla rabbits (2.5—3.0 kg) the phase structure of the left ventricle and systemic haemodynamics were studied after 1 hr exposure of 50 Hz electromagnetic field (direction of vector was craniocaudal and induction 6 mT). After the cessation of magnetic field effect, hyperdynamic phase syndrome can be distinctly seen during 24 hr, attended by the enhancement of systemic blood

supply, systolic and minute volume and increase in systolic indices, paralleled by a decrease in systemic peripheral resistance. There was no statistically significant change in heart beat rate, while the arterial pressure was reduced. The changes were more pronounced in the first three hours of observation. Some possible mechanisms responsible for the changes described above are considered.

УДК 611.815

ГИСТОЛОГИЯ

РЕТРОГРАДНОЕ ПЕРЕРОЖДЕНИЕ КЛЕТОК ЯДЕР ЗАДНИХ БУГРОВ ЧЕТВЕРОХОЛМИЯ ПОСЛЕ ПЕРЕРЕЗКИ МОЗОЛИСТОГО ТЕЛА ГОЛОВНОГО МОЗГА КОШКИ

Н. К. Тотибадзе, Р. А. Канделаки

Институт физиологии им. И. С. Бериташвили АН ГССР, Тбилиси

Поступила в редакцию 26.10.88

После среднесагиттальной перерезки мозолистого тела (МТ) обнаружились ретроградно перерожденные нейроны в ядрах задних бугров четверохолмия (ЗБЧ) — центральном, перицентральном и наружном. Материал окрашивался по методу Нисселя. Во всех ядрах подсчитывались нормальные, перерожденные нейроны и «клетки тени». Полученные данные обрабатывались статистически по *t*-критерию Стьюдента.

Наличие «клеток теней» в ядрах ЗБЧ указывают на их прямую аксональную связь с корой контраполатерального полушария посредством МТ. А наличие клеток, находящихся в разной стадии перерождения, дает основание предположить, что прямая связь посредством МТ осуществляется в основном коллатеральными аксонами.

В ряде морфологических исследований освещен вопрос о комиссулярных связях ЗБЧ со стволовыми образованиями противоположного полушария большого мозга [11—15, 20—25]. Что касается контраполатеральных прямых проекций данной структуры с корой большого мозга, то эти сведения даны в предыдущих наших работах [5—7]. После одностороннего электролитического повреждения отдельных ядер ЗБЧ методом терминальной дегенерации Наута-Гигаксами был описан переход дегенерированных волокон на противоположное полушарие — как через подкорковые комиссуры, так и посредством МТ. Прямые связи некоторых подкорковых структур с корой контраполатерального полушария, проходящие через МТ, в настоящее время описаны в некоторых морфологиче-

ских исследованиях [1, 2, 4, 8—10, 16—19]. Известно, что электролитическое повреждение подкорковых образований вызывает наложение артефактов на основные результаты эксперимента. Артефакты являются обязательным следствием повреждения мозговой ткани треком электрода; они порой трудно дифференцируемы.

В этом отношении метод ретроградной дегенерации совершенно свободен от нежелательных побочных данных и полученные результаты эксперимента являются максимально достоверными. Кроме того, этот метод дает возможность определения вида, местонахождения и количества клеток, направляющих свои аксоны в определенную область, в данном случае в МТ.

МЕТОДИКА

Исследование было проведено на четырех кошках. Среднесагиттальную перерезку МТ производили по координатам стереотаксического атласа [22]. Операции проводили под глу-

боким нембуталовым наркозом (60 мг/кг веса животных) и местной анестезией в асептических условиях. По истечению постоперационного срока (60 дней) производили эвтаназию

животных внутрибрюшинным введением летальной дозы нембутала (90—100 мг/кг); мозг перфузионно пропускали через сонные артерии 10%-ного раствора формалина, извлекали и для фиксации помещали в такой же раствор. На замораживающем микротоме брали серийные срезы ЗБЧ толщиной в 25 мк. После промывки срезов в дистиллированной воде и обезвоживания в спиртах восходящей концентрации их клали в жидкость Карнуга и красили крезил-виолетом по методу Нисселя.

Для количественного подсчета клеточного состава (нормальные, дегенерированные и «клетки тени») разных ядер ЗБЧ был использован окуляр с сеткой, общая площадь которой равнялась 1 см². При увеличении ок.

16 и об. 40 она охватывала площадь препарата 0,04 мм². От каждого ЗБЧ исследованной кошки брали четыре среза на трех уровнях (оральные, средние и каудальные), и в каждом препарате просматривали по четыре поля зрения для каждого ядра (центральное, периферимальное, наружное). Были выведены средние арифметические величины общего количества клеток, дегенерированных клеток и «клеток теней» от общего числа клеток во всех изучаемых препаратах ядер ЗБЧ. Высчитывался процент дегенерированных клеток, «клеток теней» от общего количества клеток. Достоверность результатов оценивалась по t-критерию Стьюдента.

РЕЗУЛЬТАТЫ ИССЛЕДОВАНИЯ И ИХ ОБСУЖДЕНИЕ

Исследование опытного материала показало, что после перерезки МТ во всех клетках ЗБЧ имеются дегенерированные нейроны. Степень деструкции клеток в них разная. Длительный постоперационный срок (60 дней) обусловливает выявление

ней), чтобы не путать нормальные, но с легким тигролизом клетки, с клетками патологическими, как указывал А. Бродель [3], учитывались только те из них, которые имели вполне развитую картину ретроградных изменений: тигролиз и перифе-



Рис. 1. Ретроградно дегенерированные нервные клетки в центральном ядре ЗБЧ. Постоперационный период 60 дней. Окраска по Нисслю (ок. 16, об. 40)

максимального числа погибших «клеток теней» в ЗБЧ, что указывает на бесспорность существования прямых корковых связей изучаемых ядер. При учете ретроградно дегенерированных нейронов (кроме «клеток теней»)

расположение ядра, сочетающиеся с некоторым разбуханием тела клетки и сглаживанием его контуров. Ретроградному перерождению больше подвергнуты мелкие и средней величины клетки центрального



ядра (рис. 1). Картина самой деструкции нейронов во всех ядрах ЗБЧ выглядит следующим образом: в цитоплазме отмечается хроматолиз, смещение ядра на периферию клет-

ядрах следующие: в периферийном ядре общее количество клеток — 2944, из них дегенерированных — 378, «клеток теней» — 19. В центральном ядре их соответственно — 1939, 390



Рис. 2. Ретроградно перерожденные первые клетки в периферийном ядре ЗБЧ. Постоперационный период 60 дней. Окраска по Нисслю (ок. 16, об. 40)

ки, граница между ядром и цитоплазмой стерта (рис. 2), края нейронов неровные, вокруг таких клеток наблюдаются группы глиальных клеток. «Клетки теней» — светлые вместилища клеток с тоненьким ободком и еле заметным ядрышком в ви-

и 32; в наружном ядре — 2451, 432 и 32. Данные статистической обработки материала по *t*-критерию Стьюдента приведены в табл. 1 и на рис. 4.

В периферийном ядре ЗБЧ процентное соотношение дегенерирован-

Таблица 1

Количественное соотношение нормальных, дегенерированных и «клеток теней»
в ядрах ЗБЧ для одного поля зрения после среднесагиттальной перерезки
мозолистого тела

Ядро ЗБЧ	Общее число нейронов	Дегенерированные нейроны	«Клетки тени»
	M ± m	M ± m	M ± m
Периферийное	46 ± 4,04 p < 0,001	5,9 ± 0,58 p < 0,001	0,31 ± 0,1 p < 0,001
Центральное	30,3 ± 2,3 p < 0,001	3,1 ± 0,44 p < 0,001	0,5 ± 0,1 p < 0,1
Наружное	38,3 ± 3,11 p < 0,001	6,7 ± 0,7 p < 0,001	0,5 ± 0,2 p < 0,02

де точки, во всех ядрах ЗБЧ обнаруживаются в малом количестве (рис. 3). Деструктивные нейроны встречаются во всех частях ядер ЗБЧ. Результаты подсчета нейронов во всех

ядрах из общего количества составляет — 13,1%, а «клеток теней» — 0,7%; в центральном ядре соответственно — 20 и 1,6%, в наружном ядре 17 и 1,3%.

Сравнение полученных результатов подсчетов показывает, что большее количество нейронов после перерезки МТ перерождается в центральном ядре ЗБЧ и, следовательно, бо-

Как известно, степень ретроградной дегенерации нейронов ^{после операции} тот же постоперационный срок зависит от расстояния между местом повреждения аксона и телом клетки, а



Рис. 3. Ретроградно перерожденные нервные клетки в наружном ядре ЗБЧ. Постоперационный период 60 дней. Окраска по Нисслю. (ок. 16 об. 40)

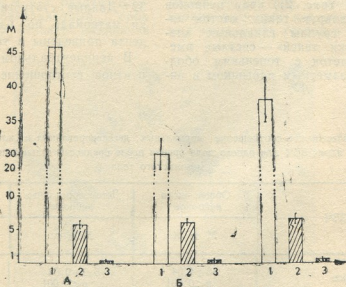


Рис. 4. Результаты статистической обработки соотношения дегенерированных клеток и „клеток теней“ к общему количеству клеток в ядрах ЗБЧ: А — перицентральное, Б — центральное, В — наружное ядро; 1 — общее количество клеток; 2 — количество дегенерированных клеток; 3 — количество „клеток теней“

лее значительную проекцию на контраполатеральную сторону полушария посредством проходящих в МТ волокон имеет центральное ядро.

также от того, повреждена основная ветвь аксона или его коллатераль. Так как в нашем эксперименте при перерезке МТ расстояние от места

рассечения волокон до их клеточных тел почти одинаково, а также постоперационный срок один и тот же, наблюдалась в нейронах ядер ЗБЧ разная степень ретроградного повреждения (от хроматолиза до полной деструкции клеток), очевидно, обусловлена повреждением или основной ветви аксона или его коллатерали. Таким образом, «клетки тени» — видимо, те, у которых повреждена основная ветвь аксона, тогда как у клеток, пребывающих в разной степени перерождения, видимо, поврежде-

ны коллатерали разной значимости. Так как во всех ядрах процентное соотношение дегенерированных ядер к общему их количеству несколько раз превышает такое же соотношение «клеток теней» (20,1—13% дегенерированные клетки и 0,7—1,6% «клетки тени»), то можно заключить, что связи всех ядер ЗБЧ с контраполушарным полушарием, осуществляемые с помощью МТ, в основном обусловлены коллатеральной системой аксонов.

ЛИТЕРАТУРА

1. Белоиваненко Н. И. Изв. АН ГССР, сер. биол., 11, 3, 173—176, 1985.
2. Белоиваненко Н. И., Тотибадзе Н. К. Изв. АН ГССР, сер. биол., 9, 3, 95—98, 1983.
3. Бродал А. В. кн.: Ретикулярная формация мозгового ствола, Медгиз, М., 1960, 13—14.
4. Дзугаева С. П. В кн.: Проводящие пути головного мозга человека, «Медицина», М., 1975, 175—176.
5. Канделаки Р. А. Изв. АН ГССР, сер. биол., 10, 2, 112—116, 1984.
6. Канделаки Р. А., | Тотибадзе Н. К. Изв. АН ГССР, сер. биол., 9, 3, 175—178, 1983.
7. Канделаки Р. А., Тотибадзе Н. К. Изв. АН ГССР, сер. биол., 11, 3, 177—180, 1985.
8. Любимов Н. Н., Кроль В. М., Скрупников П. Г., Фокин В. Ф., Уваров В. Г. В кн.: Зрительный и слуховой анализаторы, «Медицина», М., 1969, 46—49.
9. Тотибадзе Н. К. Сообщения АН ГССР, 39, 3, 705—711, 1965.
10. Тотибадзе Н. К., Акбардия К. К., Пирцхалаишвили М. Ш. Сообщения АН ГССР, 59, 2, 473—476, 1970.
11. Adams J. C. J. Comp. Neurol., 183, 3, 519—538, 1979.
12. Aitkin L. M., Phillips S. C. J. Comp. Neurol., 228, 2, 210—216, 1984.
13. Druga R., Syka J. J. Physiol. Behav., 33, 1, 31—42, 1984.
14. Elverland H. H. Exp. Brain Res., 32, 1, 117—134, 1978.
15. Fernandez C., Kagara E. J. Comp. Neurol., 131, 3, 371—386, 1967.
16. Glickstein M. Science, 164, 3882, 917—926, 1969.
17. Glickstein M., Miller J. M., Smith O. A. Science, 145, 3628, 159—161, 1964.
18. Glickstein M., Miller J., King R. Anat. Rec., 151, 3, 353, 1965.
19. Glickstein M., King R. A., Miller J., Berkley M. J. Comp. Neurol., 130, 1, 55—76, 1967.
20. Kudo M., Niimi K. J. Comp. Neurol., 191, 4, 545—556, 1980.
21. Osen K. K. J. Comp. Neurol., 144, 3, 355—372, 1972.
22. Reinoso-Suarez F. Topographischer Hirnatlas der Katze fur experimentelle physiologische untersuchungen, Herausgegeben von E., Marck A. G., Darmstadt, 1961.
23. Roth G. L., Aitkin L. M., Andersen R. A., Mergenich M. M. J. Comp. Neurol., 182, 4, 661—680, 1978.
24. Warr W. B. Exp. Neurol., 23, 1, 140—155, 1969.
25. Woolard H. H., Hartman J. A. J. Anat., 74, 4, 441—458, 1940.

ნ. თოთიაძი, რ. კანდელაძი

საქართველოს სსრ მეცნიერებათა აკადემიის ი. ბერიტრეშეილის სახელობის
ფიზიოლოგიის ინსტიტუტი, თბილისი

რეზიუმე

თოხორავის უკანა ბორცვების (ოუბ) ბირთვებში (ცენტრალური, პერიცენტრალური და გარეთა) კორტიკის სხეულის გადაჭრის შედეგად (მასალა დამუშავებული იყო ნისლის მეთოდით) აღინიშნებოდა რეტროგრადულად გადაგვარებული უჯრედები. რაოდენობრივი მაჩვნეობლების სტატისტიკურმა დამუშავებამ სტიუედენტის t-კრიტერიუმის მიხედვით აღმოაჩინა, რომ გადაგვარებული უჯრედების პროცენტული შეფარდება უჯრედთა საერთო რაოდენობსთან ცენტრალურ ბირთვში 20,1% შეადგენს, გარეთა ბირთვში — 17%, ხოლო პერიცენტრალურ-

ში — 13,1%. „უჯრედი ჩრდილები“ ცენტრალურ ბირთვში უჯრედთა საერთო რაოდენობის 1,6%-შეადგენს, პერიცენტრალურში — 0,7%, ხოლო გარეთა ბირთვში — 1,3%.

„უჯრედი ჩრდილები“ წარმოადგენებს იმ უჯრედებს, რომლებსაც დაზიანებული აქვთ ის აქსონები, რომელთა საშუალებითაც ოუბ-ის კორტიკი სხეულის მეშვეობით პირდაპირ უკავშირდებიან საწინააღმდეგო პერისფეროს ქერქს. უჯრედების დიდ ნაწილს კი ჩვენი ვარაუდით დაზიანებული აქვთ აქსონთა კოლერიალები.

RETROGRADE DEGENERATION OF CELLS IN THE INFERIOR COLICULAR NUCLEI AFTER THE SECTION OF CORPUS CALLOSUM IN CATS

N. K. TOTIBADZE, R. A. KANDELAKI

I. S. Beritashvili Institute of Physiology, Georgian Academy of Sciences, Tbilisi, USSR

Summary

Following the midline sagittal section of the corpus callosum (CC) retrograde degeneration of neurons was found in the inferior collicular (IC) nuclei (central, pericentral and lateral). Material was stained by Nissl. Calculation of normal, degenerated and "ghost" cells was made in all the nuclei and data obtained were statistically processed using Student's t-test.

The existence of "ghost" cells in IC nuclei indicates that they have a direct axonal connection with the cortex of the contralateral hemisphere through the CC. While the presence of cells in different stages of degeneration permits to suppose that this connection is mediated mainly by the axonal collaterals.

УДК — 576.3.31 : 581.8

ЦИТОЛОГИЯ

К ИЗУЧЕНИЮ УЛЬТРАСТРУКТУРЫ СТЕНКИ ПЫЛЬНИКА НЕКОТОРЫХ РАСТЕНИЙ СУБНИВАЛЬНОГО ПОЯСА ЦЕНТРАЛЬНОГО КАВКАСИОНИ

М. Н. Яшвили

Институт ботаники им. Н. Н. Кечховели АН ГССР, Тбилиси

Поступила в редакцию 08.07.88

В экстремальных условиях субнивального пояса Центрального Кавкасиони на 3100 м н. у. м. нами впервые изучена ультраструктура стенки пыльника некоторых растений в фазе зрелого пыльцевого зерна. Несмотря на то, что выявление адаптивного реагирования в этой фазе минимальное, все же можно указать на разные пути адаптации — резервирование метаболитов или мощное развитие и высокое функционирование органелл, в особенности пластома, хондриона и системы эндоплазматического ретикулума.

Стенки пыльника являются как бы хранилищем метаболитов, необходимых для осуществления процессов микроспорогенеза. Поэтому связь микроспор с окружающей средой в значительной степени осуществляется через слои стенки пыльника. Следовательно, функциональная нагрузка стенки пыльника в процессе адаптации растения определяется необходимостью, во-первых, самосохранения, а затем участия в процессах микроспорогенеза. В связи с этим при оценке взаимоотношения растительного организма с факторами

среды вообще и высокогория в частности надо учесть, что адаптационные процессы определяются координирующей и регулирующей деятельностью как отдельных клеток, так и всей системы стенки пыльника. Причем фундаментальную позицию занимают клеточные органеллы, внутри и межклеточная коммуникабельность. Исходя из сказанного, нами впервые изучена ультраструктурная организация стенки пыльника некоторых растений субнивального пояса Центрального Кавкасиони.

МАТЕРИАЛ И МЕТОДИКА ИССЛЕДОВАНИЯ

Исследования проводились в экстремальных условиях высокорья субнивального пояса Казбегского района (Центральный Кавкасиони) на 3100 м н. у. м. В фазе зрелого пыльцевого зерна фиксировались пыльники следующих растений: *Potentilla gelida* (сем. Rosaceae), *Saxifraga moschata* и *S. flagellaris* (сем. Saxifragaceae), *Cerastium polymorphum* (сем. Caryophyllaceae), *Veronica gencianoides* и *V. telephifolia* (сем. Scrophulariaceae).

Для сборки и фиксации материала в 1984-1987 гг. были организованы по две экспедиции (конец июля — начало августа и конец августа — начало сентября). Фиксировали материал двойным фиксажом — глутаральдегид с постфиксацией осмивовой кислотой; заключали в смесь Эпон-812 с арапитом, резали на микротоме LKB и изучали в электронном микроскопе ЭМ-200.

РЕЗУЛЬТАТЫ ИССЛЕДОВАНИЯ

Potentilla gelida C. A. Mey. В фазе одноклеточного пыльцевого зерна эпидермис пыльника однослойный и состоит из клеток эллипсоидной формы. Эпидермальная клетка имеет сильно утолщенную и гофрированную оболочку с наружной стороны. Она состоит из сравнительно тонкого слоя кутикулы и толстого мощно развитого целлюлозного слоя. Основную

одиночно встречаются пластиды (лейкопласты), содержащие большей частью 1–3 крахмальных зерна. Часто пластиды имеют зернистую структуру, что говорит о протекании в них деструктивных процессов. Митохондрии намного мельче пластид, имеют просветленный матрикс и единичные кристы, плазма с многочисленными рибосомами.

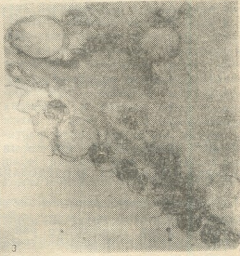
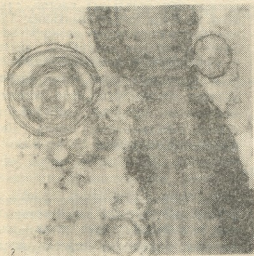
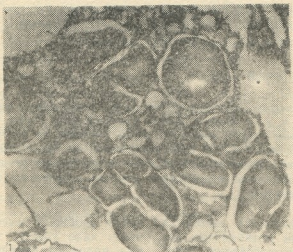


Рис. 1. Ультраструктура клетки фиброзного слоя стенки пыльника *Potentilla gelida*:
1. $\times 3\,000$; 2. $\times 4\,000$; 3. $\times 10\,000$

часть эпидермальной клетки занимает структурированная вакуоль, а небольшого объема ядро и очень узкий слой цитоплазмы с органеллами расположены по периферии клетки. Местами целыми группами, а чаще

фиброзный слой состоит из 2–3 рядов клеток, которые имеют изодермическую форму. Они почти полностью заполнены прозрачной вакуолью. По всей стенке клетки расположены фиброзные утолщения разных

размеров и формы, которые распределены неравномерно. В основном у этих утолщений расположены довольно крупные ядра. Цитоплазма с органеллами занимает лишь узкую пристеночную часть клетки. Плазма местами просветленная, но в основном с небольшой плотностью распределения рибосом. Пластиды (рис. 1) заполнены крахмальными зернами (1—4), часть которых имеет зернистую структуру. Митохондрии (рис. 1,2) в основном имеют про-

зы с крахмалом, мало митохондрий с просветленным матриксом, местами сгруппированные электроноплотные частицы и мелкие липидные капли.

В тапетуме начаты процессы образования спорополленина и лизис клетки.

На фазе зрелого пыльцевого зерна протекают деструктивные процессы, которые меньше всего выражены в эпидермисе. В фиброзном слое часто встречаются деструктивные пластиды, очень суживается слой цито-

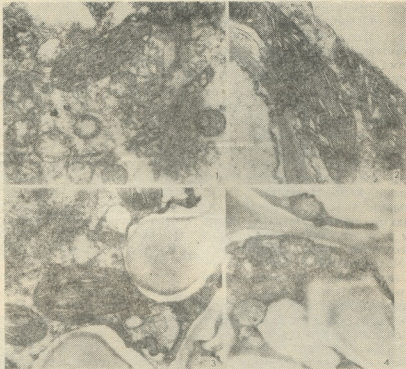


Рис. 2. Ультраструктура клетки фиброзного слоя стенки пыльника: 1,2—*Saxifraga moschata* ($\times 13\,000$, $\times 20\,000$); 3,4—*Saxifraga flagellaris* ($\times 10\,000$, $\times 10\,000$)

светленный матрикс и единичные кристы, однако нередко встречаются и с густой плазмой, разбухшими и удлиненными кристами. Аппарат Гольджи мелкий и продуцирует в большом количестве пузырьки. Обнаруживаются единичные нити гранулярного эндоплазматического ретикулума. Часто встречаются липидные капли и осмиофильные глобулы (рис. 1, 3). Нередки ломосомы и миелиноподобные структуры.

Средний слой с удлиненными клетками имеет большую слегка структурированную вакуоль, удлиненное с большим объемом ядро, прозрачную с немногими рибосомами и многочисленными пузырьками плазму, пласти-

плазмы и понижается содержание органелл. Почти безжизненны клетки среднего слоя — они удлиненные и имеют бесформенное густое содержимое. Клетки же тапетума лизируют и слой представлен в виде бесформенной электроноплотной массы.

***Saxifraga moschata* Wulf и *S. flagellaris* Willd ex Sternb.** Однослойный эпидермис пыльника *S. moschata* в фазе зрелой пыльцы состоит из продолговатых клеток с сильно утолщенной с наружной стороны оболочкой, которая состоит из тонкого слоя кутикулы и мощного целлюлозного слоя. Клетка почти заполнена прозрачной или содержащей темноокрашенные струк-

туры вакуолью. Пластиды деструктированы, митохондрии мелкие, часто с просветленным матриксом и окаймленные осмиофильными глобулами. Эндоплазматический ретикулум гранулярного типа. Аппарат Гольджи встречается крайне редко. Очень много осмиофильных глобул разных размеров. Узкий слой цитоплазмы в основном содержит полисом.

Фиброзный слой состоит из 2—3 рядов клеток, которые имеют изодермическую форму и хорошо развитые фиброзные утолщения. Ядро в них небольшое. Основную часть клетки занимает структурированная вакуоль, а небольшую пристеночную часть — цитоплазма. Она богата органеллами: особо много митохондрий (рис. 2,1), расположенных группами; они в основном округлой, нередко продолговатой формы, имеют просветленный матрикс и мелкие кристы, однако встречаются и с густым матриксом и сильно разбухшими короткими кристами. Довольно часто встречаются крупные хлоропласты (рис. 2; 1,2) агранального типа с расширенными тилакоидами, сильно развитым ретикулумом и пластоглобулами, которые часто достигают очень больших размеров. Митохондрии и пластиды нередко окаймлены осмиофильными глобулами, свидетельствующими об их особой активности. Всем комплексом аппарат Гольджи встречается редко. Эндоплазматический ретикулум гранулярного типа. Фиброзные утолщения здесь сравнительно мелкие и редко встречаются. Часто обнаруживаются ломосомы. Плазма прозрачная, местами насыщена крупными полисомами. Нередки миелиноподобные образования. Часто обнаруживаются контакты между пластидой и митохондрией, митохондрией и нитями эндоплазматического ретикулума, пластид с микротельцами и др., что говорит о высокой степени интеграции внутри фиброзной клетки.

Средний слой деструктирован. Типичный, по-видимому, двуслойный: в некоторых клетках вокруг вакуолей встречаются осмиофильные аморфные вещества, а в основной массе клеток протекают процессы лизиса и образования спорополленина.

S. flagellaris, подобно *S. moschata*, в фазе зрелой пыльцы имеет од-

носный эпидермис с сильно утолщенной оболочкой с наружной стороны. Оболочка состоит из изодермально тонкого слоя кутикулы и толстого целлюлозного слоя. Клетка в основном заполнена структурированной вакуолью. По сравнению с *S. moschata* активность клеток эпидермиса *S. flagellaris* низкая.

Фиброзный слой здесь тоже состоит из 2—3 рядов клеток с изодермической формой и удлинениями, расположенными по всей длине клеточной стенки. Ядро крупное. Соотношение вакуоли и цитоплазмы здесь отличается от *S. moschata* тем, что цитоплазма занимает сравнительно больше объема; много в ней пластид (рис. 2; 3) в основном агранального типа с расширенными тилакоидами и крупными пластоглобулами. Митохондрий (рис. 2; 4) меньше, она округлые с просветленным матриксом и небольшими кристами по периферии; часто митохондрии окружены осмиофильными глобулами. Фиброзных утолщений здесь много, но они мелкие. Из комплекса Гольджи встречаются многочисленные пузырьки. Агранулярный эндоплазматический ретикулум фрагментирован. Особо много осмиофильных глобул разных величин. Моно- и полирибосомы расположены неравномерно, местами очень густо. Межорганоидные ассоциации обнаруживаются реже, чем у *S. moschata*. Осмиофильными веществами окаймлены и вакуоли.

Средний слой дегенерирован, а тапетум лизирует.

Cerastium polymorphum Rupr. В фазе зрелой пыльцы эпидермис пыльника состоит из клеток с утолщенной с наружной стороны оболочкой, с большими слегка структуризованными вакуолями, часто окаймленными осмиофильными глобулами, и с узким слоем цитоплазмы, включающим многочисленные разных величин пузырьки и группы осмиофильных глобул.

Клетки фиброзного слоя характеризуются особым мощно развитыми утолщениями. Цитоплазма электронопрозрачная и включает главным образом полисомы. Митохондрии (рис. 3; 1,2,3) чаще имеют просветленный матрикс и небольшое количество крист, однако обнаруживаются и с плотным матриксом и с раз-

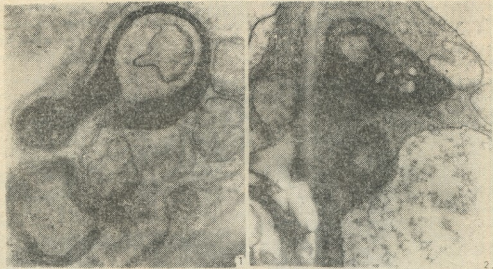


бухшими кристаллами. Пластиды (рис. 3; 1,2,3) встречаются редко, имеют нетипичную для ткани структуру — плотный матрикс, единичные короткие разбухшие тилакоиды и мелкие осмиофильные глобулы. Аппарат Гольджи представлен всем комплексом и продуцирует окаймленные пузырьки. Эндоплазматический ретику-

лум. Часто встречаются концентрические мембранные структуры (рис. 1,2,3).

Средний слой деструктурирован. Тапетум обнаруживает признаки лизиса.

Veronica gencianoides Vahl и *V. telephifolia* Vahl. Эпидермальные клетки пыльника *V. gencianoides* в фазе



2.

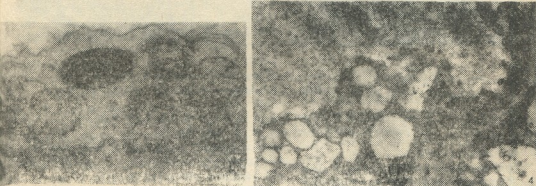


Рис. 3. Ультраструктура клетки фиброзного слоя стеки пыльника *Cerastium polymorphum*: 1.x20 000; 2.x16 000; 3.x20 000; 4.x7 000

лум (рис. 3; 1,2,3) гранулярного типа (однако обнаруживается и агранулярный тип), представлен в виде небольших нитей с редко посаженными рибосомами, чаще с фрагментированными цистернами. Большие вакуоли (рис. 3,4) в разной степени структурированы и включают по периферии осмиофильные глобу-

зрелой пыльцы имеют оболочку с выростами, толстым целлюлярным и тонким кутикулярным слоями. Основную часть клетки занимает большая с разной степенью структурирования вакуоль. Пристенный узкий слой цитоплазмы богат органеллами. Наряду с лейкопластами, включающими липидные капли, встречаются



пластиды с небольшими гранами и 1—2 крахмальными зернами. Сильно развит хондрион — разных величин и форм (от округлого до удлиненного) митохондрии имеют разной густоты матрикс и в разной степени насыщены кристами. Они расположены в основном группами, но встречаются и одиночные. Аппарат Гольджи продуцирует окаймленные пузырьки. Эндоплазматический ретикулум встречается в виде небольших нитей, а также фрагментированных разной длины цистерн. Часто они находятся в контакте с микротельцами. Редко встречаются осмиофильные включения.

и образуют инвагинации. Хорошо развит хондрион (рис. 4; 3, 4). Матрикс митохондрий электронно-светлый, в нем расположены многочисленные кристы; нередко у митохондрий обнаруживаются выпячивания. Сравнительно редко встречается аппарат Гольджи. Эндоплазматический ретикулум представлен чаще одинарными гранулярными небольшими нитями, редко встречаются его агранулярные нити. Цитоплазма не очень густая, содержащая, главным образом, полисомы. Обнаружены тесные контакты межмитохондриальные,

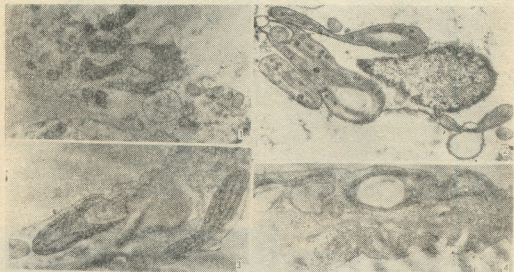


Рис. 4. Ультраструктура клетки фиброзного слоя стенки пыльника: 1, 2 — *Veronica gencianoides* ($\times 3\,000$, $\times 6\,000$); 3, 4 — *Veronica telephifolia* ($\times 5\,000$, $\times 6\,000$)

ния. Плазма сравнительно прозрачная, местами со скоплениями рибосом.

Клетки фиброзного слоя с редкими утолщениями почти заполнены в разной степени структурированной вакуолюй. Узкий слой цитоплазмы выделяется наличием многочисленных хлоропластов (рис. 4; 1, 2). Они разной формы, разной величины, гранальные, содержат 1—2 крахмальных зерна, небольшие осмиофильные глобулы, периферический ретикулум

межпластидные и между митохондрией и пластидой.

Средний слой содержит клетки с деструктированным содержимым. Тапетум лизируется.

У *V. telephifolia*, в отличие от *V. gencianoides*, имеются хлоропlastы с более обширными инвагинациями (рис. 4; 3, 4), более активные вакуоли, содержащие осмиофильные структуры; они характеризуются и более высокой внутриклеточной интеграцией.

ОБСУЖДЕНИЕ РЕЗУЛЬТАТОВ

В фазе зрелой пыльцы стенка пыльника находится в состоянии деструктивных процессов. Из существующих в молодом пыльнике четырех

слоев (каждый в разном количестве у разных растительных форм) к этому времени метаболически активны фиброзный слой и эпидермис.

Средний слой у большинства исследуемых растений дегенерирует, а та-
петум лизирует, образуя для форми-
рующихся пыльцевых зерен необхо-
димые метаболиты.

Фиброзный слой в развитии пыль-
ника занимает особое место, так как
только он содержит хлоропласти и,
следовательно, является ассимилиру-
ющей тканью, т. е. представляет со-
бой главный очаг образования первичных органических веществ. В свя-
зи с этим от него во многом зависит
нормальное развитие пыльцы. Поэтому
значение этой ткани трудно пере-
оценить.

Сравнительный анализ полученных
нами ультраструктурных данных кле-
ток стенки пыльника показал, что из
изученных растений субивального
пояса Центрального Кавказиона фиб-
розная ткань у *P. gelida*, *S. flagella-*
rīs и *S. moschata* многослойная (2–
3). У всех растений клетки фиброз-
ного слоя изодермические и содер-
жат утолщения по всем стенкам клет-
ки. Особенно мощно развиты они у
C. polymorphum и у *P. gelida*, а наи-
более слабо — у *V. telephīfolia*. Они
имеют средней электроннoplотности
однородную структуру. В основном у
этих утолщений расположены ядра,
а по всей стенке — узкий слой цито-
плазмы, лимитируемый большой вакуолью. Цитоплазма наиболее элек-
троннoplотная у *P. gelida*, у осталь-
ных — электронно светлая. Все они
характеризуются разной плотностью
распределения в ней моно- и полирис-
босом, с преобладанием последней.

Особо важным элементом фиброз-
ной ткани является хлоропласт. Наи-
более сильно пластом развит у верон-
ика вообще (в особенности у *V. te-
lephīfolia*), у которых хлоропласти
гранальные, содержат крахмальные
зерна и обширные инвагинации, что
указывает на особую активность
пластома. *S. flagellaris* и *S. moschata*
характеризуются в основном агра-
нальным типом пластид, но сильно
расширенными тилакоидами, хорошо
развитым ретикулумом и крупными
пластоглобулами. *P. gelida* характе-
ризуется наличием амилопластов, а
C. polymorphum — хлоропластов не-
тической структуры. Таким образом,
пластом у всех растений высокоактив-
тивный, однако каждый отличается
своим образом, в конечном счете обес-

печивающим себя углеродным обме-
ном.

Хондриом наиболее сильно разви-
т у *V. gencianoides*, *V. telephīfolia* и
S. moschata. Наиболее общим для
всех изученных растений является
полиморфный характер хондриома,
что свидетельствует о стремлении ра-
стений сохранять постоянно на высо-
ком уровне энергетический потенци-
ал.

Аппарат Гольджи всем комплек-
сом встречается у всех растений, од-
нако у *P. gelida* и *S. moschata* он наи-
более активен, что выражается в ин-
тенсивном продуцировании пузырь-
ков.

Эндоплазматический ретикулум по-
ниморфен, что указывает на его ин-
тенсивное участие в общем обмене
веществ с использованием всех своих
функциональных возможностей.

В цитоплазме с неодинаковой частотой встречаются миелообразные
мембранные структуры; исключением являются вероники, у которых таких
сформирований мы не встречали. Наи-
большей внутриклеточной интеграцией
характеризуются вероники и
S. moschata. Осмиофильная глобуляция
выше всех у *P. gelida* и почти
нет ее у вероник, что говорит о наименьшей их способности к резервированию
ассимилятов.

Суммируя полученные данные, сле-
дует отметить, что у изученных рас-
тений фиброзный слой при своем
длительном периоде жизнедеятельности
обеспечивает довольно высокую
степень метаболических процес-
сов за счет наличия высокоактивно-
го пластома, хондриома и системы
эндоплазматического ретикулума.
Причем разные растения отличаются
друг от друга своеобразием пласто-
ма и склонностью к полиморфным харак-
тером хондриома и системе эндоплаз-
матического ретикулума. Особо мощ-
ным их развитием выделяется *V. te-
lephīfolia*, характеризующаяся эф-
фективным использованием их воз-
можностей. Наиболее интенсивно бе-
локсинтезирующие процессы и наи-
большее резервирование ассимилятов
протекают у *P. gelida*.

Эпидермис из-за своего функцио-
нального назначения (как покровная
ткань) принимает наименьшее участие
в тех межтканевых метаболиче-

ских процессах, которые направлены на формирование мужского гаметофита. В то же время он оказывается наиболее жизненным слоем стенки пыльника, наименее подвергающимся деструктивным процессам. У всех нами изученных растений эпидермальная клетка имеет сильно утолщенную оболочку с наружной стороны. Она состоит из тонкого слоя кутикулы и мощно развитого целлюлозного слоя, причем в отличие от других растений вероники характеризуются выростами, а *P. gelida* — гофрированием. У всех растений основную часть клетки занимает большая, разной степени структурированности вакуоль; густыми осмиофильными структурами заполнены *S. moschata* и *S. flagellaris*; наименее структурированы *C. polymorphum*. Наиболее жизнедеятельной цитоплазмой с органеллами обладают вероники и *P. gelida*. Последняя также содержит в наибольшем количестве осмиофильные включения, свидетельствующие о наиболее активном резервировании

необходимых веществ, а потому наиболее длительном его существовании в активном состоянии. Наиболее адекватен эпидермальный слой у *S. moschata*, а затем у *S. flagellaris*.

Таким образом, стенка пыльника изученных нами растений субнивального пояса Центрального Кавказа в фазе зрелого пыльцевого зерна характеризуется наличием жизнедеятельных эпидермиса и фиброзного слоя, в которых в общем интенсивность метаболических процессов не очень велика, в особенности крайне ограничены процессы синтеза. Поэтому выявление адаптивного реагирования минимальное. Несмотря на это, все же можно указать на разные пути адаптации растений к экстремальным условиям высокогория, а именно, резервирование метаболитов или мощное развитие и активное функционирование органелл, в особенности пластома, хондриона и системы эндоплазматического ретикулума.

ცენტრალური კავკასიონის სუბნივალური სარტყლის ზოგიერთ
მცენარითა მტვრიანას კადლის ულტრასტრუქტურის გასახვა

ა. იაშვილი

საქართველოს სსრ მეცნიერებათა იუდემის ნ. კეცხველის სახელმის ბოტანიკის
ინსტიტუტი, თბილისი

რეზიუმე

პირველად იქნა შესწავლილი ცენტრალური კავკასიონის სუბნივალური სარტყლის ზოგიერთ მცენარეთა მომწიფებული მტვრის მარცვლის ფაზაში მტვრიანას კედლის ულტრასტრუქტურული ორგანიზაცია. თუმცა ამ ფაზაში ადაპტაციური რეაგირების გამოვლენა მინიმალუ-

რია, მანაც შესძლებელია აღინიშნოს ადაპტაციის სხეულასხვა გზა: მეტაბოლიტების რეზერვირება, ან ორგანელების (განსაკუთრებით პლასტომის, ქონდრიომისა და ენდოპლაზმური ბადის) ძლიერი განვითარება და მათი მაღალეფებური ფუნქციონირება.

STUDIES OF ANTER WALL ULTRASTRUCTURE OF SOME PLANTS IN THE SUBNIVAL ZONE OF THE CENTRAL CAUCASUS M. N. IASHVILI

N. N. Ketskhoveli Institute of Botany, Georgian Academy of Sciences, Tbilisi, USSR
Summary

This is the first investigation of anther wall ultrastructural organization of some plants in the subnival zone of the Central Caucasus in the ripe pollen grain phase. Though exposure of adaptational reaction in this phase is mini-

mal, it is still possible to note different ways of adaptation: metabolite reservation of intensive development of organelles (especially of plastids, mitochondrial and endoplasmic reticulum) and their highly effective functioning.

УДК 616.643—002—091—098

ПАТОЛОГИЧЕСКАЯ МОРФОЛОГИЯ

НЕКОТОРЫЕ ДАННЫЕ МОРФОГИСТОХИМИЧЕСКИХ И МИКРОБИОЛОГИЧЕСКИХ ИССЛЕДОВАНИЙ УРЕТРИТОВ

Г. А. Вадачкория, Р. Г. Салакая, И. А. Диасамидзе,
 В. В. Бабухадия, Н. Б. Амириян, О. В. Цинцадзе, Г. В. Канделаки

НИИ урологии и нефрологии им. А. П. Чулукидзе Министерства здравоохранения
 ГССР, Тбилиси

Поступила в редакцию 15.06.88

Изучаются на секционном материале в разных возрастных группах морфогистохимические изменения и микробиологическая картина при воспалениях в уретрах. Установлены сдвиги как в структуре органа, так и в содержании некоторых веществ в зависимости от наличия острых и хронических воспалительных явлений. При уретритах отмечается перераспределение нейтральных мукополисахаридов и гликозамингликанов по сравнению с нормой. Выявлены наиболее часто встречающиеся возбудители уретрита — энтерококк, а также трихомонады и хламидии.

Уретриты, также как и воспалительные заболевания других органов уrogenитальной сферы мужчин, недрко встречаются в урологической практике. Изучению этиологии, вопросов диагностики и лечения уретритов посвящен ряд работ советских и зарубежных ученых [1—3, 5—7, 9], однако нет работ по исследованию гистохимических изменений при уретритах и недостаточно изучены структурные изменения при этой патологии [2, 4]. Кроме того, данные микроби-

логических исследований довольно разноречивы. Сопоставление же особенностей структурно-гистохимических сдвигов с данными микробиологических исследований важно для понимания этиопатогенеза и усовершенствования методов диагностики, профилактики и лечения уретритов.

В данной работе мы задались целью изучить морфогистохимические изменения и микробиологическую картину при воспалениях этого органа.

МАТЕРИАЛ И МЕТОДЫ ИССЛЕДОВАНИЯ

Исследования проводились на секционном материале, взятом при судебно-медицинских вскрытиях лиц, погибших в результате травм или внезапной смерти. Всего изучено 198 случаев — возраст от 18 до 75 лет.

Исследуемый материал после фиксации и заключения в парафин окрашивался гематоксилином и эозином по ван Гизону и по методу Маллори. Гликоген выявлялся по Шабадашу, нейтральные мукополисахариды (НМПС) — Хочкиссу и комбинированным методом по Риттеру и Олесону. Гликозамингиликаны окрашивались по Стидмену альциановым синим и метахроматической реакцией с

толуидиновым синим на разных показателях pH. Были проведены также некоторые контрольные реакции.

Идентификацию возбудителей проводили общепринятыми бактериологическими методами, а также с помощью иммунохимического непрямого метода Кунса. Выявление хламидий в соскобах проводили по общепринятой методике, описанной Шахтер с соавт. [8]. Соскобы с задней уретры исследовали на наличие трихомонад (*Tr. vaginalis*).

Весь материал был разделен по группам: 18—40 лет, 41—55 лет и 56—75 лет.



Исследование полученного материала показало, что при уретритах (в 58,8% случаев на нашем материале) в возрасте от 18 до 40 лет отмечается разрыхление эпителия и его интенсивное отслоение. Клетки набухшие, отечные. Иногда выявляется воспалительная инфильтрация эпителиального пласта.

Гистохимические реакции выявили содержание нейтральных мукополисахаридов и гликогена в эпителиальных клетках уретры, преимущественно в их апикальной части. Количество их уменьшается и в измененном эпителии ШИК-положительный материал обнаруживается не всегда. Гликозамингликаны также выявляются в тканях уретры, при этом преобладают сульфатированные.

Результаты микробиологических исследований ткани задней уретры приведены в таблице. Бактериальная инфекция выявлена в 58,8% случаев. Основным возбудителем здесь является энтерококк.

В возрастной группе 41—55 лет в ткани задней уретры, наряду с разрыхлением эпителия, его интенсивным отслоением и десквамацией отмечается частое появление инфильтратов, содержащих большое количество фибробластов. Гистохимическое исследование выявило резкое уменьшение ШИК-позитивных веществ, в то время как количество сульфатированных гликозамингликанов увеличено.

По данным бактериологических исследований в 22 случаях из 48 задняя уретра в данной возрастной группе была инфицирована. Энтерококк был основным возбудителем, кишечная палочка и эпидермальный стафилококк высыпались реже.

В возрастной группе от 56 до 75 лет при уретритах также наблюдается разрыхление эпителия, местами их отслоение и десквамация в просвет уретры. Иногда в подэпителиальном слое обнаруживаются инфильтраты разной величины.

Гистохимические исследования уретр на данном этапе показали резкое увеличение количества сульфатированных гликозамингликанов, в то

время как количество ШИК-позитивных веществ уменьшено.

Микробиологические исследования ткани задних уретр у лиц в возрасте от 56 до 75 лет дали несколько отличные результаты от тех, которые наблюдались в более ранних возрастных группах. Задние уретры в этих случаях инфицированными оказались в 64,6% случаев. Обращает на себя внимание относительно частое инфицирование задних уретр у лиц в возрасте 60—75 лет, что, вероятно, связано с развитиемadenом и нарушением уродинамики нижних мочевых путей. При изучении видового состава возбудителей выяснилось, что преобладающим здесь также является энтерококк, однако выявлена несколько большая, по сравнению с предыдущими возрастными группами, частота инфицирования органов кишечной палочкой. В соскобах задней уретры достаточно часто обнаруживается трихомонадная и хламидийная инфекция (таблица).

Таблица
Виды возбудителей заднего уретрита и частота их выявления по данным бактериологической диагностики

Выделенный возбудитель	Задняя уретра (трупный материал)		
	18—40 лет	41—55 лет	56—75 лет
	n = 102	n = 48	n = 48
Кишечная палочка	—	3 6,3%	5 10,4%
Протей	—	—	—
Синегнойная палочка	—	—	—
Эпидермальный стафилококк	18 17,6%	3 6,3%	10 20,8%
Энтерококк	42 41,2%	16 33,3%	16 33,3%
Трихомонады	27 27%	5 11%	3 6%
Хламидии*	15 46%	7 21%	6 18%

* На хламидии было исследовано 96 случаев задних уретр

Таким образом, изучение полученного материала показало, что при



острых воспалительных процессах в задних уретрах наблюдаются крупные инфильтраты, состоящие преимущественно из сегментоядерных нейтрофильных лейкоцитов и расположенные в основном в подэпителиальном слое. В пределах этих инфильтратов ШИК-позитивные вещества почти отсутствуют, в то время как в большом количестве представлены сульфатированные гликозамингликаны.

При хронических воспалениях имеет место разрастание соединительной

ткани, наличие мелких инфильтратов, расположенных в основном в строме, преобладанием в них лимфоидных и плазматических клеток. В самих инфильтратах наблюдается ШИК-позитивная реакция и отсутствие сульфатированных гликозамингликанов.

Результаты микробиологических исследований позволили установить, что возбудителем воспалительного процесса преимущественно является энтерококк, а также трихомонады и хламидии.

ЛИТЕРАТУРА

- Бонев А. Вестник дерматологии и венерологии, 7, 46–48, 1978.
 - Задорожный Б. А., Петров Б. Р. Уретриты, «Здоров'я», Киев, 1978.
 - Ильин И. И. Негонокковые уретриты у мужчин, «Медицина», М., 1977.
 - Ляховицкий Н. С., Порудоминский И. М. Урология, 6, 25–31, 1958.
 - Прокуров В. А. Вестник дерматологии и венерологии, 5, 83–84, 1973.
 - Bredt W., Brounner H. Urologe Ausg., A., 20, 1, 25–30, 1981.
 - Hofstetter A., Schmiedt E. Urologie (Berl.), II, 2, 80–81, 1972.
 - Schachter I. N., Dawson C. R. In: Human Chlamydial Infections, Littleton, 1978.
 - Teassler A. N., Richardson I. P. U. S. Arm. Forc. Med., 8, 6, 620–824, 1957.

ଶକ୍ତିରେଣୁକା ମନୋମାନଙ୍କରେ ପରିପ୍ରେଷଣ କରିବାକୁ ଆପଣଙ୍କ ପରିଚୟ ଦିଆଯାଇଛି

୩. ପାଇସର୍କଳାରୀ, ଲ. ଶାଖାଧାରୀ, ଉ. ଡିମ୍ବାଶିଳ୍ପୀ, ୩. ଶୁନ୍ଦରାଜା,
୫. ବାରିଦାରୀ, ମ. ଗୋପନୀୟ, ୧. କାନ୍ଦିଲାଶିଳ୍ପୀ

მიღებული მასალის შესწავლამ გვიჩვენა, რომ მწვავე ურთერიტების დროს ანთებადი ინფოლტრატები უპირატესად შედგებიან სეამენტბირთვანი ნეიტროფილური ლეიკოციტებისაგან და ძრითადად განლაგებული არიან ეპითელიალური შრის მიზნი.

აღნიშნულ ინფორმატიკულ ნეიტრალური მთავრობისაში იმია თითქმის აღ

ନେତ୍ରିଲ୍ ରୂପାଳୀର ଉଦ୍‌ବନ୍ଧି ଶାକମାଳ ରାନ୍‌
ଭ୍ରମଣକିମ୍ବା ବ୍ୟାକରଣକିମ୍ବା ମୁଖ୍ୟମାନଙ୍କର ପାଦକାଳିରେ
ପାଦକାଳିରେ ପାଦକାଳିରେ ପାଦକାଳିରେ ପାଦକାଳିରେ

SOME DATA OF MORPHOHISTOCHEMICAL AND MICROBIOLOGICAL STUDY OF URETHRITIS



G. A. VADACHKORIA, R. G. SALAKAIA, I. A. DIASAMIDZE,
V. V. BABUKHADIA, N. B. AMIRIAN, O. V. TSINTSADZE, G. V. KANDELAKI

A. P. Tsulukidze Institute of Urology and Nephrology, Georgian Ministry of Health
Tbilisi, USSR

Summary

Some data on morphohistochemical study of autopsy material from the patients of different ages, suffering from urethritis are presented.

In the inflamed section of urethra

definite structural and histochemical changes were found. Enterococcus as well as chlamidia and trichomonades were shown to be the main agents of urethritis.

УДК 633.1:581.19

БИОХИМИЯ

ПОЛИМОРФИЗМ ПРОЛАМИНОВ СЕМЯН НЕКОТОРЫХ ВИДОВ, РАЗНОВИДНОСТЕЙ И ГИБРИДОВ РОДА SETARIA (L.) BEAUV

Т. Г. Зардиашвили, Т. Д. Чигвинадзе, О. Т. Хачидзе, И. И. Маисая

Институт биохимии растений АН ГССР, Тбилиси

Институт ботаники им. Н. Н. Кецховели АН ГССР, Тбилиси

Поступила в редакцию 28.06.88

Изучен состав проламинов зерна некоторых видов, разновидностей и гибридов рода *Setaria* (L.) Beauv.

Показано, что изучение компонентов белков исследованных видов, разновидностей и гибридов рода *Setaria* методом электрофореза дает представление о внутривидовом и внутривидовом полиморфизме. Полученные данные можно использовать в селекционной и генетической работе для идентификации представителей рода *Setaria* и для подбора родительских форм с целью выведения новых полноценных сортов.

Проламины зерновых культур, в частности глиадины пшениц, характеризуются высоким полиморфизмом и в последнее время широко используются в качестве генетических маркеров. По компонентному составу проламины выявляется специфичность, в следствие чего их используют для идентификации и регистрации сортов и биотипов. В спирторастворимой фракции пшениц, наряду с глиадином сконцентрированы неглиадиновые белки альбуминового типа [3].

Преимущество проламинов зерновых культур перед другими маркерами заключается в том, что они нечувствительны к внешним и контрол-

лируются лишь генетическими факторами [7].

Филогенетические исследования некоторых видов (щетинник, дикая чумиза, культурная чумиза, могар) рода *Setaria* выявило их генетическое родство [1, 2].

Однако морфологическое, физиологическое и генетическое сходство видов рода не всегда означает идентичность нуклеиновых кислот и белков этих видов, поскольку часто не только родственные виды, но и разновидности внутри вида отличаются химически, преимущественно составом белковых веществ.

МАТЕРИАЛЫ И МЕТОДЫ

Объектами исследования служили дикие (щетинник, культурная чумиза, могар) виды рода *Setaria*, а также культурная чумиза из других стран. Особую группу составляли гибриды, полученные путем скрещивания.

Семена чумизы размножали в Тбилиси на опытном участке Института ботаники АН ГССР.

Электрофоретическое разделение проламинов проводилось согласно методу, разработанному в лаборатории белка и НК ВИР-а [6].

200 мг муки заливали пятикратным объемом 2 М мочевины и оставляли в течение ночи при 40°C. Для разделения проламинов использовали 7,5%-ный акриламид, содержащий 35%-ную уксусную кислоту и 5 М мочевину. Электрофорез проламинов длился 5 ч 30 мин.

Для получения спектра спирторастворимых белков альбуминового типа, так называемых быстрых компонентов, электрофорез проводили в 10%-ном геле в течение 2 ч 15 мин.

Для идентификации компонентов проламинов глиадинового типа (5 ч 30 мин электрофореза в 7,5-ном полиакриламидном геле) и так называемых быстродвижущихся компонентов

альбуминового типа (2 ч 15 мин электрофореза в 10%-ном поликариламидном геле) применяли методику, используемую для глиадинов пшеницы [3—5].

РЕЗУЛЬТАТЫ ИССЛЕДОВАНИЯ И ИХ ОБСУЖДЕНИЕ

Исследования показали, что в электрофоретических спектрах проламинов чумизы, как в спектрах глиадинов пшеницы, можно выделить α -, β -, γ - и ω -зоны, причем α -, β и γ -зоны составляют примерно 90% всей фракции.

С целью установления внутривидовой специфичности для записи сортовых формул был составлен эталон по электрофоретическим спектрам в поликариламидном геле (рис. 1). На

условий выращивания растений и отражают генетические различия между сортами, биотипами и линиями. Их с полным основанием можно считать маркерами генотипов.

Следует отметить, что электрофоретические спектры проламинов грузинских разновидностей чумизы гораздо беднее по сравнению со спектрами чумизы, культивируемой в других экологического-географических зонах. В этом отношении особо выделяется грузин-

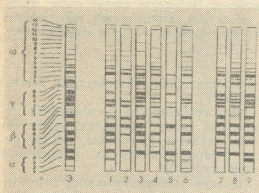


Рис. 1. Электрофоретические спектры проламинов семян чумизы: Э—эталон; 1—*S. italica* cv. *iberika*; 2—*S. italica* cv. *dissecta*; 3—*S. italica* cv. *vulgata*; 4—*S. italica* cv. *aurea*; 5—*S. italica* cv. *macrochaeta*; 6—*S. italica* cv. *alba*; 7—Китайская „Шаньси“; 8—Корейская черная; 9—среднеазиатская с красной чешуйкой

эталонном спектре проламинов чумизы обозначены 30 возможных позиций компонентов различной интенсивности.

Полученные данные показывают, что различия между сортами и биотипами в пределах видов чумизы чаще всего проявляются между компонентами электрофоретических зон α - и ω -проламинов. Сходные данные получены при исследовании электрофоретических зон глиадинов пшеницы [3]. Известно, что электрофоретические спектры глиадина генотипичны; они не зависят от года репродукции,

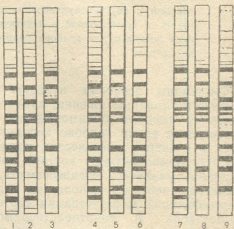


Рис. 2. Электрофоретические спектры проламинов семян родительских форм и их гибридов некоторых представителей рода *Setaria* (L.) Beauv.: 1—*S. italica* cv. *Iuteosperma* f. *clavata*; 2—*S. italica* cv. *longiseta*; 3—гибрид 1 X 2; 4—*S. italica* cv. *Ieucosperma*; 5—*S. viridis* — щетинник; 6—гибрид 4 X 5; 7—*S. italica* cv. *Iuteosperma* f. *cylindrica*; 8—*S. mocharica* — могар; 9—гибрид (7 X 8)

ская разновидность *S. italica* cv. *macrochaeta*, которая содержит лишь 10 полос.

Нами был также изучен состав белковых компонентов проламинов семян родительских форм и их гибридов. Полученные данные представлены на рис. 2.

При внутривидовом скрещивании культурных разновидностей чумизы

(*S. italica* cv. *luteosperma* X *S. italica* cv. *longiseta*) число электрофоретических компонентов проламинов гибрида оказалось меньше по сравнению с родительскими формами. Эта закономерность особенно наглядна при сравнении мажорных компонентов.

Спектр электрофоретических компонентов проламинов гибрида, получаемого при скрещивании культурной чумизы с щетинником (*S. italica* cv. *leucosperma* X *S. viridis*) шире (17 компонентов), чем у отцовской формы (щетинник). Почти такая же картина наблюдается при скрещивании культурной чумизы *S. italica* cv. *luteosperma* с могаром.

Следует отметить, что во всех комбинациях скрещивания картина компонентного состава проламинов гиб-

ридов 5—10% от спирторастворимой фракции. Они состоят из нескольких компонентов и относятся к белкам протоплазмы.

На рис. 3 представлены электрофоретические спектры быстровдвижущихся компонентов проламинов представителей рода *Setaria*. Полученные данные показывают, что грузинская чумиза, а также чумиза из различных географических зон содержит как общие, так и характерные для каждой из них компоненты. Общее число быстровдвижущихся компонентов колеблется от 10 до 16.

Исследование спектров быстровдвижущихся компонентов показало, что родительские формы и гибриды различаются как по качественному, так и по количественному составу этих белковых компонентов (рис. 4).

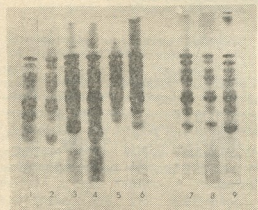


Рис. 3. Электрофоретические спектры быстровдвижущихся компонентов проламинов семян чумизы; 1—*S. italica* cv. *iberica*; 2—*S. italica* cv. *dissecta*; 3—*S. italica* cv. *vulgata*; 4—*S. italica* cv. *aurea*; 5—*S. italica* cv. *macrochaeia*; 6—*S. italica* cv. *alba*; 7—китайская „Шаньси“; 8—корейская черная; 9—среднеазиатская с красной чешуйкой

рида более схожа с материнской формой.

Спирторастворимая фракция зерна пшеницы содержит также низкомолекулярные глютенины, остающиеся при электрофорезе на старте, и белки типа альбуминов и глобулинов, называемые неглиадиновыми белками [3]. Указанные белки характеризуются более высокой электрофоретической подвижностью, чем глиадины. Неглиадиновые белки — быстроподвижные компоненты — составля-

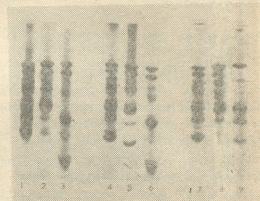


Рис. 4. Электрофоретические спектры быстровдвижущихся компонентов проламинов семян родительских форм и их гибридов некоторых представителей рода *Setaria* (L.) Beauvois: 1—*S. italica* cv. *luteosperma* f. *clavata*; 2—*S. italica* cv. *longiseta*; 3—гибрид 1 X 2; 4—*S. italica* cv. *leucosperma*; 5—*S. viridis*—щетинник; 6—гибрид 4 X 5; 7—*S. italica* cv. *luteosperma* f. *cylindrica*; 8—*S. mocharica*—могар; 9—гибрид 7 X 8

Таким образом, электрофоретическое изучение компонентов белков исследованных видов, разновидностей и гибридов рода *Setaria* дает представление о внутривидовом и внутри популяционном полиморфизме. Полученные данные могут быть использованы в селекционной и генетической работе для идентификации представителей рода *Setaria* и для подбора родительских форм с целью выведения новых полноценных сортов.

ЛИТЕРАТУРА



1. Горгидзе А. Д., Maisaia I. I. Изв. АН ГССР, II, 4, 274—281, 1985.
2. Канделаки Г. В., Горгидзе А. Д., Maisaia I. I. Сообщения АН ГССР, 3, I, 113—116, 1983.
3. Конарев В. Г. Белки пшеницы, ВАСХНИЛ, М., «Колос», 1980.
4. Митрофанова О. П. Генетический контроль глиадина мягкой пшеницы *T. aestivum* L., Автореф. канд. дисс., Л., 1977.
5. Митрофанова О. П. Бюлл. ВИР, 92, 35—38, 1979.
6. Определение подлинности и сортовой чистоты семян пшеницы по электрофоретическому спектру глиадина, ВИР, Л., 1975.
7. Kim S. L., Mosse J. Canadian J. Genetics and Cytology, 21, 3, 1979.

გვარ SETARIA (L.) BEAUV-ს ზოგიერთი სახეობის, სახემსხამის და ჰიბრიდის მარცვლის პროლამინის კოლომენური გოლიმოვაზიანის

თ. ჩარდიაზიაშვილი, თ. ტიმონეაძე, თ. ხაჩიძე, ი. მაისაია

საქართველოს სსრ მეცნიერებათა აკადემიის მცენარეთა ბიოქიმიის ინსტიტუტი, თბილისი საქართველოს სსრ მეცნიერებათა აკადემიის ნ. კეცხველის სახელობის ბოტანიკის ინსტიტუტი, თბილისი

რეზიუმე

გვარ *Setaria* (L.) Reauv-ს ზოგიერთი სახეობის, სახესხვამის და ჰიბრიდის მარცვლის პროლამინების ცილურ კომპონენტთა ელექტროფორეზული საექტრების ანალიზმა გამოვლინა შიდასახეობრივი და შიდაპოპულაციური პოლიმორფიზმი. მიღებული მონაცემები შესაბ-

ლებელია გამოყენებულ იქნას სელექციურ და გენეტიკურ მუშაობაში მშობლიური ფორმების შერჩევისა და ახალი სრულფასოვანი ჯიშების გამოყვანისათვის, აგრეთვე გვარ *Setaria*-ს წარმომადგენელთა იდენტიფიკაციისა და რეგისტრირებისათვის.

POLYMORPHISM OF SEED PROLAMINES OF VARIOUS SPECIES SORTS AND HYBRIDS OF SETARIA (L.) BEAUV

T. G. ZARDIASHVILI, T. D. CHIGVINADZE, O. T. KHACHIDZE, I. I. MAISAIJA

Institute of Plant Biochemistry, Georgian Academy of Sciences, Tbilisi, USSR

N. N. Ketskhoveli Institute of Botany, Georgian Academy of Sciences, Tbilisi, USSR

Summary

Electrophoretic spectrum analysis of some species, sorts and hybrids of *Setaria* (L.) Beauv seed prolamines revealed intraspecific and intrapopulation polymorphism. The obtained data may be

used in selective and genetic work for choosing parental species and for making new sorts of full value, also for identification and registration of *Setaria* species.

УДК 577.153.35

БИОХИМИЯ

КИНЕТИЧЕСКОЕ ИССЛЕДОВАНИЕ ДЕЙСТВИЯ ЭГТА НА Na,K-АТФазу

К. Д. Куталия, М. Г. Векуа, З. П. Кометиани

Институт физиологии им. И. С. Бериташвили АН ГССР, Тбилиси

Поступила в редакцию 29.06.88

Исследовано действие ЭГТА на Na,K-АТФазную систему в различных условиях функционирования фермента. Обнаружено, что ЭГТА меняет число Na^+ и K^+ -активаторных участков, вызывая смену режима электрогенности, и практически не изменяет форму субстратной зависимости.

Расшифровка механизма действия ЭГТА на Na,K-АТФазу является интересной и насущной задачей, поскольку ЭГТА оказывает влияние как на саму Na,K-АТФазную реакцию, так и на эффект нейротрансмиттеров на Na,K-АТФазу [8]. Ранее было высказано предположение, что эффект ЭГТА нельзя объяснить связыванием ионов кальция, присутствующих в виде примеси в реакционной среде, так как достаточно большое активирующее действие

ЭГТА наблюдалось в опытах на очищенных препаратах, предварительно промытых в растворе 5 мМ ЭГТА и дистиллированной воде [6]. Целью данной работы являлось более детальное изучение действия ЭГТА на Na,K-АТФазу и выявление тех ступеней в механизме реакции, на которые возможно действует ЭГТА. При проведении этой работы мы взяли за основу предложенную ранее принципиальную схему работы Na,K-АТФазы [3, 4].

МЕТОДИКА

Исследования проводились на обработанных додецилсульфатом натрия препаратах из почек крыс и на синаптосомах мозга крыс, полученных по описанной ранее методике [7, 5]. Концентрацию белка определяли по методу Лоури и др. [10]. Na,K-АТФазную активность препаратов определяли как чувствительную часть суммарной АТФазной активности. Количество неорганического фосфата определяли по методу Фиске-Суббароу [9]. Активность выражали в микромолях неорганического фосфата в час на мг белка.

Все экспериментальные данные подвергались статистической обработке. Число параллельных измерений в опытах было равно 4—8. Сред-

неквадратичную ошибку среднего арифметического рассчитывали, используя законы распространения средних ошибок при косвенных измерениях в методе малых выборок. Для объединения результатов нескольких серий опытов использовали правила взвешивания [11].

Для установления количества участков связывания ионов применяли метод анализа формы кривой, основанный ранее [2]. При определении количества участков связывания необходимых активаторов в области низких концентраций лиганда (x) анализировали семейство кривых $y = (I/v)^{1/R} = f(I/x)$, полученных с помощью степенного преобразования. Исследование свойств дробно-рацио-

нальных функций, описывающих стационарную скорость, показало, что эти функции в обратных переменных могут иметь асимптоту только при значении степенного параметра R , равного числу участков необходимого активатора; поэтому значение степенного параметра, вызывающее линеаризацию исходной зависимости, показывает число участков необходимого активатора. Для оценки линеаризации при различных значениях степенного параметра R анализировали распределение знаков отклонения функции y от соответствующей линии регрессии Y_R , $\Delta_i = (Y_{Ri} - y_i)$ и величину MU :

РЕЗУЛЬТАТЫ ИССЛЕДОВАНИЯ И ИХ ОБСУЖДЕНИЕ

До того, как исследовать действие ЭГТА на разные функциональные состояния Na,K-АТФазы, была изучена зависимость скорости Na,K-АТФазной реакции от концентрации ЭГТА. Оказалось, что активирующее действие ЭГТА наблюдается при достаточно малых его концентрациях, начиная с 10 мкМ (рис. 1). Na,K-АТФаз-

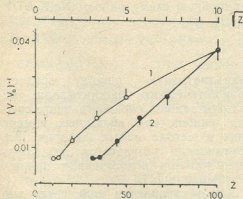


Рис. 1. Зависимость Na,K-АТФазной активности от концентрации ЭГТА (мкМ) в координатах $1/(v - v_0)$ от z (кривая 1, нижняя ось абсцисс) и $1/(v - v_0)$ от \sqrt{z} (кривая 2, верхняя ось абсцисс), где $z = 1/\text{[ЭГТА]}$. Состав реакционной среды: 3 мМ АТФ, 3 мМ MgCl_2 , 130 мМ NaCl , 70 мМ KCl , трис- HCl —20 мМ, рН 7, 8 оуабанин—0,2 мМ

$$MU = R \sqrt{\sum_i^n \frac{(Y_{Ri} - y_i)^2}{\sigma_i^2}}$$

минимум которой соответствует линеаризации кривой $y = (1/v)^{1/R}$. Показателем линеаризации является также максимум коэффициента корреляции и минимум среднеквадратичной ошибки аппроксимации:

$$MV = \frac{1}{N} \sum_i^N \sqrt{\frac{(V_{Ri} - v_i)^2}{\sigma_i^2}}$$

Для ЭВМ Hewlett-Packard HP 9815 A (США) была составлена специальная программа, обеспечивающая математическую обработку данных и анализ формы кривых.

ная активность в отсутствие ЭГТА составляла $v_0 = 294,4 \pm 2,1 \text{ мкМФн/чмг.б.}$, а добавление 10 мкМ ЭГТА вызывало ее увеличение на 26,5 мкМ Фн/чмг.б., т. е. на 9%. На рис. 1 не показано, но следует отметить, что насыщение эффекта наступало начиная с концентрации ЭГТА в 100 мкМ. Интересно отметить, что в обратных координатах $1/(v - v_0)$ от $1/\text{[ЭГТА]}$ зависимость нелинейна, а линеаризация происходит при построении зависимости $1/(v - v_0)$ от $1/\sqrt{z}$.

Если считать, что сущность эффекта ЭГТА заключается в связывании какого-то ингибиторного Na,K-АТФазы лиганда x , то имеем

$$\frac{[x^2] \cdot [\text{ЭГТА}]}{[x^2 \text{ЭГТА}]} = K;$$

концентрация x обратно пропорциональна $1/\text{[ЭГТА]}$. Рис. 1 в этом случае можно истолковать так: хотя ЭГТА обладает способностью связываться одновременно с двумя лигандами, для осуществления данного эффекта достаточно его связывания с одной молекулой ингибиторного лиганда. Нельзя также исключить возможность прямого действия ЭГТА на фермент. Интерпретация зависимости на рис. 1 в данном случае более сложна.

Молекулярный механизм Na₊K-АТФазы объединяет большое число форм фермента и переходов между ними, однако, как было показано ранее [3, 4], можно выделить несколько основных циклов в работе Na₊K-АТФазы. Было показано, что величина соотношения концентраций свободных ионов магния и АТФ имеет регуляторное значение. При избытке свободных ионов магния преобладают циклы ОРМ и СРМ, а при избытке свободного АТФ — цикл ОРА. Эти состояния характеризуются различным числом участков для натрия и калия, в частности при избытке свободного АТФ имеется три необходимых Na⁺-активаторных и два необходимых K⁺-активаторных участка, а при избыт-

щую концентрацию ЭГТА — 0,4 мМ.

Введем обозначение $\lambda = [\text{Mg}^{2+}] / [\text{ATF}_{\text{св}}]$.

При величине $\lambda = 50$ практически можно пренебречь влиянием АТФ_{св}, а при величине $\lambda = 0,02$ — влиянием Mg²⁺ [3]. На рис. 3А показана зависимость Na₊K-АТФазной активности от концентрации натрия при $\lambda = 50$ в отсутствие ЭГТА, а на рис. 2В (кривая 2) — в присутствии 0,4 мМ ЭГТА. На рис. 2В (кривые 1 и 3) показаны те же зависимости при $\lambda = 0,02$. Нетрудно убедиться, что в первом случае линеаризация кривой происходит при значении параметра R=4 и соответственно величина MU

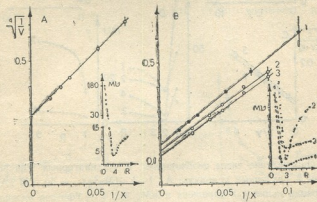


Рис. 2. Определение числа необходимых Na⁺-активаторных центров Na₊K-АТФазы в различных условиях: А — $\lambda = [\text{Mg}^{2+}] / [\text{ATF}_{\text{св}}] = 50$, ЭГТА = 0; В. 1 — $\lambda = 0,02$, [ЭГТА] = 0; 2 — $\lambda = 50$, [ЭГТА] = 0,4 мМ; 3 — $\lambda = 0,02$, [ЭГТА] = 0,4 мМ; концентрация натрия (x) выражена в мМ. Во всех случаях реакционная среда содержала [MgATF]_{св} = 2,5 мМ, [KCl] = 130 мМ, трис - HCl = 20 мМ, pH 7,8, оуабайн 0,2 мМ. На вставках зависимости соответствующей величины MU от степенного параметра R

ке ионов свободного магния один из двух калиевых участков превращается в участок для натрия. Поэтому было исследовано действие ЭГТА на K⁺-активацию и Na⁺-активацию фермента при разных соотношениях АТФ/Mg²⁺ и определено число необходимых активаторных участков калия и натрия в отсутствие ЭГТА. Во всех опытах использовали насыщаю-

минимальна при R=4. Во всех остальных случаях R=3. Вышесказанное означает, что при $\lambda = 50$, т. е. избытке ионов Mg²⁺ в реакционной среде добавление 0,4 мМ ЭГТА вызывает уменьшение числа необходимых Na⁺-активаторных участков с четырех до трех, а при $\lambda = 0,02$ это число не зависит от ЭГТА.

На рис. 3 показаны зависимости Na,K-АТФазной активности от концентрации калия в обратных координатах при $\lambda=50$ (рис. 3A и 3B) и при $\lambda=0,02$ (рис. 3C) в отсутствие и в присутствии 0,4 mM ЭГТА. Зависи-

аризуется (рис. 3B). Это указывает, что в отсутствие ЭГТА имеется один необходимый K⁺-активаторный участок, а при [ЭГТА]=0,4 mM — два участка. Соответственно величина MU в первом случае имеет мини-

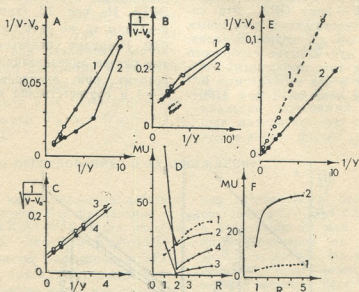


Рис. 3. Определение числа необходимых K⁺-активаторных центров Na, K-АТФазы в различных условиях: А. 1 — $\lambda=[Mg_{2+}^{2+}] = 50$, [ЭГТА] = 0. Концентрация калия (y) выражена в mM. Na, K-АТФазная активность в отсутствие ионов калия равна: $v_0 = 19,68 \pm 0,64$ мкмоль Ф_п в ч на мг белка; 2 — $\lambda=50$, [ЭГТА]=0,4 mM, $v_0 = 20,21 \pm 0,67$ мкмоль Ф_п в ч на мг белка. В. Те же зависимости, что на рис. 3А, но построенные в виде графика $1/(v - v_0)^{1/2}$ от $1/y$. С. Зависимость $1/(v - v_0)^{1/2}$ от $1/y$ при $\lambda=0,02$: 3 — [ЭГТА]=0, $v_0 = 8,1 \pm 1,12$ мкмоль Ф_п в ч на мг белка; 4 — [ЭГТА]=0,4 mM, $v_0 = 5,11 \pm 0,44$ мкмоль Ф_п/ч на мг белка. Д. Зависимость величины MU от степенного параметра R для кривых 1—4, приведенных на рис. 3А—С. Е. 1 — Зависимость $1/(v - v_0)$ от $1/y$ при $\lambda=50$, [ЭГТА]=0, $v_0 = 11,60 \pm 3,05$ мкмоль Ф_п/ч на мг белка; 2 — Зависимость $1/(v - v_0)$ от $1/y$ в тех же условиях, кроме суммарной концентрации ионов Mg²⁺, которая уменьшена на 0,8 mM. F. Зависимость величины MU от степенного параметра R для кривых 1 и 2 на рис. 3Е. Во всех случаях (А — F) реакционная среда содержала [MgATF]=2,5 mM, [NaCl] = 140 mM, трис-HCl=20 mM, pH 7,8, оуабани=0,2 mM.

мость $1/(v - v_0)$ от $1/[K^+]$ (рис. 3A) при ЭГТА = 0 — линейная (кривая 1), а при ЭГТА = 0,4 mM — вогнута (кривая 2). При значении параметра R=2, т.е. при построении зависимости $(v - v_0)$ от $1/[K^+]$, кривая 1 становится выпуклой, а кривая 2 лине-

арий при R=1, а во втором — при R=2 (рис. 3D). Рис. 3С и 3D показывают, что при $\lambda=0,02$ как в присутствии, так и в отсутствие ЭГТА линеаризация зависимостей происходит при значении R=2.

Таким образом, добавление в реакционную среду 0,4 mM ЭГТА вы-

зывает изменение числа необходимых Na^+ и K^+ -активаторных участков при соотношении $\lambda = [\text{Mg}_{\text{cb}}^{2+}]/[\text{ATF}_{\text{cb}}] = 50$, т. е. при избытке в среде ионов магния, а при $\lambda = 0,02$ ЭГТА не влияет на число участков. ЭГТА может связывать ионы магния, поэтому мы проверили, не является ли изменение числа катионных центров при $\lambda = 50$ следствием уменьшения количества свободного магния в среде при добавлении 0,4 mM ЭГТА. Опыты по определению

же условиям, но с уменьшенной концентрацией магния (0,8 mM) трудно убедиться (рис. 3F), что в обоих случаях линеаризация зависимости $(I/v)^{(1/R)}$ от $I/[K^+]$ наступает при значении параметра $R = 1$. Следовательно, эффект ЭГТА на K^+ -активацию Na_K -АТФазы не обусловлен возможным уменьшением концентрации ионов магния при добавлении в реакционную среду ЭГТА.

Было изучено действие ЭГТА на субстратную зависимость Na_K -АТФазы при крайних значениях соотношения концентраций $\text{Mg}^{2+}/\text{ATF}$: $\lambda = 50$ и $\lambda = 0,02$. Результаты показаны на рис. 4. Добавление ЭГТА в реакционную среду не вызывало достоверного изменения формы кривой ни при $\lambda = 50$ (кривые 1 и 2), ни при $\lambda = 0,02$ (кривые 3 и 4). Характерной чертой этих кривых является резкое

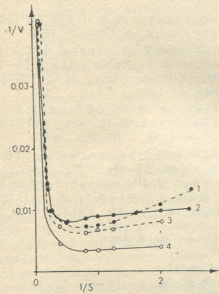


Рис. 4. Зависимость Na_K -АТФазной активности v от концентрации субстрата $s = [\text{MgATF}]$ (mM) в двойных обратных координатах в различных условиях: 1 — $\lambda = [\text{Mg}_{\text{cb}}^{2+}]/[\text{ATF}_{\text{cb}}] = 50$, [ЭГТА] = 0, 2 — $\lambda = 50$, [ЭГТА] = 0,4 mM; 3 — $\lambda = 0,02$, [ЭГТА] = 0; 4 — $\lambda = 0,02$, [ЭГТА] = 0,4 mM; Во всех опытах реакционная среда содержала: $[\text{NaCl}] = 130 \text{ mM}$, $[\text{KCl}] = 20 \text{ mM}$, трип-НСl — 20 mM, pH 7,8, оуабанин — 0,2 mM

нию числа K^+ -центров были повторены в условиях, полностью соответствующих условиям $\lambda = 50$ и ЭГТА = 0, за исключением концентрации магния, которую уменьшали на 0,8 mM, т. е. на максимальную величину, которую могли бы связать 0,4 mM ЭГТА. Результаты показаны на рис. 3E. Кривая 1 соответствует условиям $\lambda = 50$, ЭГТА = 0, а кривая 2 — тем

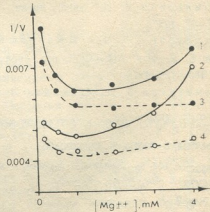


Рис. 5. Зависимость v^{-1} от концентрации свободных ионов магния в различных условиях: 1 — $[\text{MgATF}] = 1 \text{ mM}$, [ЭГТА] = 0; 2 — $[\text{MgATF}] = 2,5 \text{ mM}$, [ЭГТА] = 0,4 mM; 3 — $[\text{MgATF}] = 1 \text{ mM}$, [ЭГТА] = 0; 4 — $[\text{MgATF}] = 2,5 \text{ mM}$, [ЭГТА] = 0,4 mM. Реакционная среда содержала $[\text{NaCl}] = 130 \text{ mM}$, $[\text{KCl}] = 20 \text{ mM}$, трип-НСl — 20 mM, pH 7,8

уменьшение скорости реакции при увеличении концентрации субстрата от 4 до 10 mM. Более детально количественный анализ мы проводить не можем, поскольку в этих сериях опытов у нас не было стандартной для всех опытов точки, необходимой для объединения данных. Предполагая действие ЭГТА на циклы ОРМ или SPM (ввиду влияния на элект-



трогенность только при $\lambda=50$), мы проверили действие ЭГТА на зависимость скорости реакции от концентрации свободных ионов магния при фиксированной концентрации субстрата $S=1 \text{ mM}$ и $S=2,5 \text{ mM}$ (рис. 5). Можно заметить, что ЭГТА вызывает ингибирование при больших концентрациях магния ($>2 \text{ mM}$) как с малыми, так и с относительно большими концентрациями субстрата (кривые 2 и 4), что тоже говорит в пользу действия ЭГТА на вышеуказанные циклы. Однако этот вопрос требует более детального исследования и прежде всего установления

ЛИТЕРАТУРА

1. Агекян Т. А. Основы теории ошибок, «Наука», М., 1968.
 2. Кометиани З. П. Сообщения - АН ГССР, **105**, 2, 401—404, 1982.
 3. Кометиани З. П. Регуляторные механизмы Na,K-АТФазной системы. Автодокт. дисс., Киев, 1986.
 4. Кометиани З. П. Биол. науки, **10**, 87—97, 1987.
 5. Кометиани З. Н., Джариашвили Т. Я. Изв. АН ГССР, сер. биол., **1**, 2, 190—196, 1975.
 6. Кометиани З. П., Цакадзе Л. Г., Курдованидзе М. Л. Изв. АН ГССР, сер. биол., **4**, 2, 123—127, 1978.
 7. Куталия К. Д., Векуа М. Г., Цакадзе Л. Г., Кометиани З. П. Изв. АН ГССР, сер. биол., **15**, 2, 109—104, 1989.
 8. Цакадзе Л. Г., Куталия К. Д., Кометиани З. П. Изв. АН ГССР, сер. биол., **13**, 5, 315—319, 1987.
 9. Fiske G., Subbarow J. J. Biol. Chem., **66**, 375—380, 1925.
 10. Lowry Q. H., Rosenbrough N. H., Farr A. L., Randall B. J. J. Biol. Chem., **193**, 265—275, 1951.

Na,K-ატონიური ეგზა-ს მოქმედების კინეტიკური უსწავლა

କ. ପ୍ରତାଙ୍ଗିନା, ଥ. ୩୦୫୮୧, ହ. କଣଖୀତଳାଳେ

საქართველოს სსრ მეცნიერებათა აკადემიის ი. ბერიძეს შემოქმედი სახელობის
ფუნდის მიერ გვიან და მიმღებელი ი. ბერიძეს შემოქმედი სახელობის

ՀԵՂԻԿԵՐԸ

შესწავლით იქნა ეგტა-ს მოქმედება
 Na, K -ატფაზაზე ფერმენტის სხვადასხვა
 პირობებში ფუნქციონირების დროს, აღ-
 მოჩნდა, რომ ეგტა ცვლის ნატრიუმის
 და კალიუმის აუცილებელი არივაზორუ-

каким именно образом осуществляет свой эффект ЭГТА. По-видимому, следует исключить простое уменьшение концентрации ионов магния. Возможно, посредником в действии ЭГТА могут служить другие двухвалентные микроэлементы, или же ЭГТА непосредственно воздействует на молекулу белка. В любом случае влияние ЭГТА носит характер специфического эффекта и расшифровка механизма его действия может пролить свет на важные аспекты функционирования Na_K -АТФазы. В дальнейшем мы предполагаем продолжить исследования в этом направлении.

Курдованидзе М. Л. Изв. АН ГССР,
сер. биол., 4, 2, 123—127, 1978.

7. Куталия К. Д., Векуа М. Г., Цакадзе Л. Г., Кометиани З. П. Изв. АН ГССР, сер. биол., 15, 2, 109—104, 1989.
 8. Цакадзе Л. Г., Куталия К. Д., Кометиани З. П. Изв. АН ГССР, сер. биол., 13, 5, 315—319, 1987.
 9. Fiske G., Subbarow J. J. Biol. Chem., 66, 375—380, 1925.
 10. Lowry Q. H., Rosenbrough N. H., Farr A. L., Randall B. J. J. Biol. Chem., 193, 265—275, 1951.

KINETIC STUDIES OF THE EGTA EFFECT ON NA-K-ATPase

K. D. KUTALIA, M. G. VEKUA, Z. P. KOMETIANI

I. S. Beritashvili Institute of Physiology, Georgian Academy of Sciences, Tbilisi, USSR

Summary

The effect of EGTA on different functional states of Na⁺, K⁺-ATPase system was studied. EGTA was shown to cause the change of electrogenety by alteration

of the number of the Na^+ and K^+ necessary activatory sites and had no significant effect on the shape of substrate dependence.

УДК 616.248 : 616.33—002.44 — 005.1 — 08

БИОХИМИЯ

ГЕМОКОАГУЛИРУЮЩИЕ И ПРОТИВОСВЕРТЫВАЮЩИЕ ФЕРМЕНТЫ СЛИЗИСТОЙ ЖЕЛУДКА И ДВЕНАДЦАТИ- ПЕРСТНОЙ КИШКИ У БОЛЬНЫХ БРОНХИАЛЬНОЙ АСТМОЙ

З. Ш. Табидзе

Тбилисский государственный медицинский институт

Поступила в редакцию 15.09.88

Изучена гемокоагулирующая и противосвертывающая активность экстрактов слизистой гастродуodenальной зоны у здоровых, погибших вследствие несчастных случаев, у больных бронхиальной астмой, а также при язвенной болезни. Слизистая гастродуodenальной зоны в норме богата свертывающими и противосвертывающими ферментами, а во время язвенной болезни проявляет выраженную тенденцию к повышенному фибринообразованию с угнетением фибринолиза. У больных бронхиальной астмой в язвенных участках тромболастические факторы еще более активны. При язвенной болезни эти нарушения особенно выражены в язвенной зоне, при язвенных поражениях во время бронхиальной астмы — всюду, как в язвенных участках, так и в непораженной слизистой.

Частота сочетания хронических неспецифических заболеваний легких (ХНЗЛ) и язвенной болезни (симптоматических язв) по данным различных авторов варьирует от 3,8 до 98%, что объясняется неоднородным контингентом больных, разными критериями окончательного диагноза, климатическими и социально-экономическими моментами [6, 8, 9, 10]. Большинство исследователей единны во мнении, что частота совместного существования этих болезней выше, чем распространенность язвенной болезни среди населения, что не может быть случайным явлением и отражает определенные закономерности [3, 6].

Механизм возникновения язвенных поражений желудка и 12-перстной кишки при ХНЗЛ далеко не ясен. Су-

ществует много разных предположений. Вместе с тем его правильное объяснение может иметь большое значение в профилактике и лечении этих осложнений.

Имеются работы [1, 4, 7], в которых изучены гемокоагулирующие свойства тканей желудка и 12-перстной кишки и рассматривается значение гемокоагуляции, местных тканевых гемокоагулирующих и антисвертывающих ферментов в патогенезе или течении язвенной болезни.

Мы задались целью исследовать активность гемокоагулирующих и противосвертывающих ферментов слизистой гастродуodenальной зоны у больных бронхиальной астмой и по возможности выяснить их роль в возникновении язвенных поражений.

МАТЕРИАЛ И МЕТОДИКА

У 127 больных инфекционно-аллергической и бронхиальной астмой изучены коагулологические показатели крови, взятой из локтевой вены, как вне (106 больных), так и во время астматического приступа (91 больной). Гастродуоденоскопия прово-

дилась 148 больным бронхиальной астмой и у 64 изучалась гемокоагулирующая и противосвертывающая активность биопсийной слизистой различных участков гастродуodenальной зоны (малая и большая кривизна желудка, его антравальная часть,

12-перстной кишке). Материал для этих исследований брали как с язвенных зон, так и с других, непораженных участков (47 случаев). Биопсийный материал брали и при полном отсутствии изъязвлений (20 случаев). Для контроля изучена активность тканевых гемокоагулирующих и фибринолитических энзимов слизистой различных участков гастродуodenальной зоны 14 здоровых лиц, погибших вследствие несчастных случаев и 74 больных язвенной болезнью желудка (18) и 12-перстной кишки (56).

Для изучения системы гемостаза использовались современными пробирочными методами. Для контроля изучена гемокоагуляция и функциональные показатели тромбоцитов

60 здоровых лиц. Количество тромбоцитов подсчитывали в флюоресцентном микроскопе. Адгезивность тромбоцитов определяли по методу Райта в модификации В. П. Балуды с использованием в качестве стеклянной трубы капилляра Н. П. Пятницкого. Агрегацию тромбоцитов изучали по методу Борна. Активность тканевых гемокоагулирующих и антисвертывающих факторов, фибринолитические (эуглобулиновым методом) свойства тканевых экстрактов (в разведениях от 1:10 до 1:200000) изучали методом В. Л. Ярославцева в модификации В. П. Скипетрова [4, 7]. Кровь для этих исследований брали из локтевой вены здоровых доброволов, параллельно как для контроля, так и для указанной методики.

РЕЗУЛЬТАТЫ ИССЛЕДОВАНИЯ И ИХ ОБСУЖДЕНИЕ

У больных бронхиальной астмой в крови локтевой вены отмечались нарушения гемокоагуляции по типу диссеминированного внутрисосудистого свертывания (ДВС). Во внеприступном периоде I гиперкоагулемическая стадия ДВС отмечалась у 72 (67,9%), II стадия — диссоциация гипер- и гипокоагулемических показателей — у 23 (21,7%) и III — гипофibrиногенемическая стадия — у 11 (10,38%) из 106 больных. Во время астматического приступа частота тяжелых стадий ДВС повышалась: I стадия встречалась у 50 (54,9%), II — у 26 (28,6%) и III стадия — у 15 (16,5%) из 91 больного. Отчетливо видно, что у больных бронхиальной астмой отмечается выраженный гиперкоагулемический фон, который вполне может иметь большое значение как в течении данного заболевания и сопутствующих ему заболеваний, так и в возникновении или течении осложнений.

В литературе говорится о возможной роли нарушения общего и локального гемостаза в патогенезе язвенной болезни [1, 2, 5].

У 14 здоровых лиц, погибших вследствие несчастных случаев, нами изучена активность свертывающих и фибринолитических ферментов слизистой желудка и 12-перстной кишки. Выявлена высокая тромбопластическая активность слизистой гастродуodenальной зоны. Под влия-

нием этих экстрактов (в исходном разведении 1:10) резко повышалась степень тромботеста, потребление протромбина, толерантность плазмы к гепарину, активность фибриназы и оставались повышенными до разведения 1:100000 или 1:200000.

Резко повышалась также антикоагулянтная активность слизистой, что проявлялось в значительном удлинении тромбинового времени, повышении времени свободного гепарина, увеличении фибринолитической активности (в разведении 1:10). Однако, в отличие от тромбопластических свойств, активность противосвертывающих ферментов в следующих разведениях резко уменьшалась и уже в разведении 1:500 или 1:1000 приближалась к норме (свободный гепарин, тромбиновое время). На этом основании (хотя фибринолитическая активность и была высокой до разведения 1:50000 или даже 1:100000) мы пришли к выводу, что у здоровых лиц слизистая гастродуodenальной зоны проявляет выраженную тромбопластическую и противосвертывающую активность, но, можно думать, что ее свертывающий потенциал гораздо выше, чем противосвертывающий. Отмечались некоторые различия в разных участках; например, активность фибриназы наиболее высокой была в антравальной



части, фибринолитическая активность в 12-перстной кишке.

У 56 больных язвенной болезнью 12-перстной кишки отмечалось еще более резкое увеличение тромбопластических свойств во всех участках гастродуоденальной зоны. Фибринолитическая активность в язвенной зоне 12-перстной кишки уже в разведении 1:10 была снижена, в слизистой малой и большой кривизны, антравальной части в разведении 1:10 она увеличивалась, но уже с разведением 1:1000 была ниже нормы. С разведением 1:100 во всех участках снижалось время свободного гепарина. С разведением 1:1000 уменьшалось тромбиновое время.

У 18 больных язвенной болезнью желудка с язвой на малой кривизне (12 больных) и антравальной части (6 больных) отмечалось похожее явление. В язвенной зоне резко замедлялся фибринолиз, в сравнительно малых разведениях уже укорачивались тромбиновое время и время свободного гепарина, тогда как свертывающие ферменты проявляли свою высокую активность и в разведениях 1:50000, 1:100000 и даже 1:200000. В непораженных участках также выявлялась высокая тромбопластическая активность во всех разведениях, повышались и противосвертывающие показатели, но в следующих разведениях начинали снижаться.

Таким образом, можно думать, что при язвенной болезни желудка и 12-перстной кишки в гастродуоденальной зоне происходит активация или мобилизация свертывающих и противосвертывающих ферментов, но резерв антикоагулянтов оказывается ниже и, потребляясь, они постепенно уменьшаются. Особенно резко это проявляется в язвенной зоне, где фибринолитическая активность резко понижена и в разведении 1:10.

Как видно, в язвенной зоне происходит усиленное потребление свертывающих факторов и истощаются фибринолитические свойства. Усиленное фибриногенобразование может быть защитным явлением; фибрин, по-видимому, потребляется для строения стенок, пораженных при язве сосудов и тканей. Однако не исключено и значение фибриногенобразования в нарушениях местного кровообращения

и тромботических некротических поражений слизистой.

При гастродуоденоскопических исследованиях 148 больных бронхиальной астмой изъязвления в различных участках гастродуоденальной зоны были обнаружены у 47 (31,7%). Следует отметить, что у некоторых из этих больных изъязвления и эрозии отмечались одновременно в двух-трех участках. Изъязвления на малой кривизне отмечались у 22, большой кривизне — у 17, в антравальной части — у 11 и в 12-перстной кишке — у 18 больных. Это еще раз доказывает высокую частоту язвенных поражений слизистой желудка и 12-перстной кишки у больных ХНЗЛ. Интересно, что только у 4 (8,5%) из этих 47 больных отмечались жалобы, более или менее похожие на язвенную болезнь, хотя различные проявления дискомфорта, диспептических явлений, ухудшения самочувствия, неприятных ощущений в животе имело место у 92 (62,1%) из этих 148 больных.

Данные исследования как при единичных, так и множественных язвенных поражениях были похожи, поэтому мы группировали изъязвления различных участков по отдельности, независимо от наличия или отсутствия в это же время язвенных поражений в других частях желудка и 12-перстной кишки.

У больных бронхиальной астмой в зонах изъязвления слизистой желудка и 12-перстной кишки выявлялось резкое повышение степени тромботеста, потребления протромбина, толерантности плазмы к гепарину, активности фибриназы; эти оставались повышенными в разведении 1:200000. Удлинялось тромбиновое время и повышалось время свободного гепарина, что говорило об активации антикоагулянтов, но время свободного гепарина понижалось и было ниже нормы уже с разведением 1:100, а тромбиновое время — с разведением 1:1000. Фибринолитическая активность была резко снижена и в разведении 1:10.

Интересно, что если у больных язвенной болезнью желудка и 12-перстной кишки нарушения особенно выражены в язвенной зоне, то у больных бронхиальной астмой с гастродуоденальными изъязвлениями выявил-

лась другая закономерность: при наличии изъязвлений в желудке или 12-перстной кишке, всюду, как в зоне язвенных поражений, так и в тех участках, где слизистая не поражена, отмечаются похожие нарушения — вместе с активацией тромбопластических факторов выявляется и резкое снижение фибринолиза. По сравнению с нормой (150—260 с) фибринолиз запаздывает до 500—600 с уже в разведении 1:10, хотя не так резко, как в зоне изъязвления (до 1000 с и больше).

При исследовании 20 больных бронхиальной астмой, у которых в гастроуденальной зоне язвенных поражений не обнаружено, оказалось, что активность тканевых гемокоагулирующих и фибринолитических энзимов слизистой различных участков желудка и 12-перстной кишки была очень похожей на показатели непораженных участков слизистой при гастроуденальных изъязвлениях у больных астмой. Можно предположить, что эти участки потенциально уже

готовы к язвенному поражению, последующему определению участки этой группы больных могут возникнуть изъязвления гастроуденальной зоны. Своевременное установление этих вопросов поможет наметить пути профилактики и лечения этих осложнений.

Таким образом, у больных бронхиальной астмой в язвенных участках тромбопластические факторы еще более активны, чем при язвенной болезни. При язвенной болезни нарушения особенно выражены в язвенной зоне при изъязвлении у больных астмой — всюду, как в язвенных участках, так и там, где их еще нет. Видимо поэтому, при бронхиальной астме язвенное поражение может возникать в любом участке желудка и 12-перстной кишки. Нужно думать, что нарушения гемокоагуляции по типу ДВС, выявленные в крови локтевой вены больных бронхиальной астмой, также создают общий фон для их возникновения.

ЛИТЕРАТУРА

1. Белоусов А. С. Дифференциальная диагностика болезней органов пищеварения, «Медицина», М., 1984.
2. Голышев С. П., Скипетров В. П., Аширов Р. С. Клин. мед., 7, 53—57, 1983.
3. Радбиль О. С., Аблова А. И. Казанский мед. журн., 3, 7—11, 1963.
4. Скипетров В. П., Потапкина Н. А., Чернышев В. А. Клин. хирургия, 5, 44—47, 1976.
5. Табидзе З. Ш. Противотромботическая терапия в клинической практике (Сборник научных трудов), М., 1986, 52.
6. Яловлева О. А. Функциональное и морфологическое состояние желудка у больных хронической пневмонией. Автoref. канд. дисс., Винница, 1974.
7. Ярославцев В. Л. В кн.: Сборник работ по рационализации, Иркутск, IV, 187—190, IV, 1971.
8. Allibone A., Flint F. J. Lancet, 2, 7039, 179—182, 1958.
9. Agoga O. P., Karoog C. P., Sotti P. Amer. J. Gastroenterology, 50, 4, 289—296, 1968.
10. Plotkin Z. Dis. Chest., 31, 195—206, 1957.

କୁଣ୍ଡିଲା ଓ ତମରାଥଗୋପ୍ତା ବ୍ୟାଷ୍ଟାବୀଳେ ଲାଲାନ୍ଦାବାବୀ ଶୋଭାଦ୍ୱାରା
ଏ ଅନ୍ତିମମଧ୍ୟବିହାରୀ ପରମାନନ୍ଦିବା ଧରନ୍ଦରାଜା ଆଶ୍ରମର
ଦ୍ୱାରାଦ୍ୱୟବ୍ୟାପ୍ତିରେ

ଶ୍ରୀ କାଶିପା

ମଦିଲିସିବ ବାବୁମହିଳାଙ୍କ ବାବୁମହିଳାଙ୍କ ମନ୍ଦିରରେ

ଶ୍ରୀ ଶ୍ରୀ ଶ୍ରୀ

ଶ୍ରୀଶ୍ରୀବାବୁଙ୍କ କୁଣ୍ଡିଲା ଓ ତମରାଥଗୋପ୍ତା ବ୍ୟାଷ୍ଟାବୀଳେ
ବ୍ୟାଷ୍ଟାବୀଳେ ଏ ଅନ୍ତିମମଧ୍ୟବିହାରୀ ପରମାନନ୍ଦିବା ଧରନ୍ଦରାଜା
ଦ୍ୱାରାଦ୍ୱୟବ୍ୟାପ୍ତିରେ

ଶ୍ରୀଶ୍ରୀବାବୁଙ୍କ କୁଣ୍ଡିଲା ଓ ତମରାଥଗୋପ୍ତା ବ୍ୟାଷ୍ଟାବୀଳେ
ବ୍ୟାଷ୍ଟାବୀଳେ ଏ ଅନ୍ତିମମଧ୍ୟବିହାରୀ ପରମାନନ୍ଦିବା ଧରନ୍ଦରାଜା
ଦ୍ୱାରାଦ୍ୱୟବ୍ୟାପ୍ତିରେ

ଶ୍ରୀଶ୍ରୀବାବୁଙ୍କ କୁଣ୍ଡିଲା ଓ ତମରାଥଗୋପ୍ତା ବ୍ୟାଷ୍ଟାବୀଳେ
ବ୍ୟାଷ୍ଟାବୀଳେ ଏ ଅନ୍ତିମମଧ୍ୟବିହାରୀ ପରମାନନ୍ଦିବା ଧରନ୍ଦରାଜା
ଦ୍ୱାରାଦ୍ୱୟବ୍ୟାପ୍ତିରେ



წყლულოვანი დაავადების დროს აღინიშნება თხომმბოპლასტიური აქტივობის კიდევ უფრო გაძლიერება ფიბბინოლიზის დათრგუნვასთან ერთად. ბრონქული ასთმით დაავადებულებში გასტროდუოდენური ზონის დაწყლულებულ უბნებში ეს ცვლილებები უფრო გამოხატულია, ვიდრე წყლულოვანი დაავადების დროს. ბრონქული ასთმის დროს კუჭში ან თორ-

მეტაოჯაში წყლულების არსებობისამართვა მოთაღნიშნული ცელილებები გვუჩვეულყოფა როგორც წყლულოვან, ისე დაუზიანებელ უბნებში. ალბათ ამითაც აიხსნება ის, რომ ბრონქული ასთმის დროს წყლულოვანი დაზიანებები შეიძლება ჩამოყალიბდეს გასტროდუოდენური ზონის ნებისმიერ მონაკვეთში.

HEMOCOAGULANT AND ANTICOAGULATIVE ENZYMES OF GASTRODUODENAL MUCOSA IN PATIENTS WITH BRONCHIAL ASTHMA

Z. Sh. TABIDZE

Tbilisi State Medical Institute, USSR

Summary

Hemocoagulating and anticoagulative activity of gastro-duodenal mucosa extract has been studied in healthy subjects who died following accident, as well as in patients with bronchial asthma and gastric ulcer. Normally gastroduodenal mucosa zone is rich in coagulant and anticoagulant enzymes, but in peptic ulcer it exhibits a tendency to the heightened fibrin formation with the sup-

ressed fibrinolysis. In patients with bronchial asthma thromboplastin factors are more active in the ulcerous zones. In peptic ulcer these disturbances manifest themselves especially in the ulcerous zones, but in ulceration of mucosa during bronchial asthma they are in evidence both in the ulcerous zones and normal mucosa.

УДК 616.1 : 615.015—612.015

ФАРМАКОЛОГИЯ

ВЛИЯНИЕ ДЛИТЕЛЬНОГО ПРИМЕНЕНИЯ НИФЕДИПИНА, ПРОПРАНОЛОЛА И ИЗОСОРБИД ДИНИТРАТА НА РАЗЛИЧНЫЕ ВИДЫ МЕТАБОЛИЗМА У БОЛЬНЫХ ХРОНИЧЕСКОЙ ИШЕМИЧЕСКОЙ БОЛЕЗНЬЮ СЕРДЦА

А. Л. Исакадзе, Р. Н. Меладзе

Тбилисский государственный медицинский институт

Поступила в редакцию 25.10.88

Длительное амбулаторное лечение (3—4 месяца) антагонистом кальция нифедипином, бета-адреноблокатором пропранололом и нитратом изосорбид динитрат провели 123 больным хронической ишемической болезнью сердца. Исследовались уровни общего холестерина, триглицеридов, глюкозы и мочевой кислоты. Наши наблюдения показали, что нифедипин и изосорбид динитрат не оказывают неблагоприятного влияния на различные виды метаболизма. Пропранолол повышает уровень общего холестерина, триглицеридов и мочевой кислоты крови.

При оценке клинической эффективности того или иного антиангинального препарата, особенно при длительном применении, необходимо учитывать его возможное влияние на различные виды метаболизма. Целью нашего исследования было изучение влияния антагониста кальция нифедипина (коринфар фирмы «Гермедин», ГДР),

бета-блокатора пропранолола (обзидан фирмы «Гермедин», ГДР) и изосорбид динитрата (нитросорбид фирмы «Орион», Финляндия) — до и на фоне их длительного применения — на уровень холестерина, триглицеридов, глюкозы и мочевой кислоты в крови больных хронической ишемической болезнью сердца (ХИБС).

МАТЕРИАЛ И МЕТОДЫ

В амбулаторных условиях в течение 3—4 месяцев больные со стабильной стенокардией напряжения II и III функциональных классов получали нифедипин (44 больных), пропранолол (47 больных) и изосорбид динитрат (32 больных). Возраст 35—55 лет. 43 больных в прошлом перенесли инфаркт миокарда. За неделю до исследований отменялись все лекарственные препараты, кроме нитрогли-

цина при возникновении приступов стенокардии. Нифедипин назначался в суточной дозе 30—40 мг, пропранолол — 60—160 мг (средняя доза 80 мг) изосорбид динитрат — 40—60 мг. До и через 3—4 месяца лечения определялось содержание глюкозы в крови и мочевой кислоты на аппарате «Seralyser» фирмы «Ames», холестерина — по Илк, триглицеридов — по Нори и Фринигс.

РЕЗУЛЬТАТЫ ИССЛЕДОВАНИЯ И ИХ ОБСУЖДЕНИЕ

В литературе имеются отдельные данные о диабетогенном влиянии нифедипина [3, 5, 12] за счет снижения метаболизма глюкозы [12], либо задерживания повышение уровня инсулина плазмы [7]. Наши исследования

(табл. 1, рис. 1) показали, что на фоне лечения нифедипином достоверных изменений уровня глюкозы плазмы не выявляется. Повышение его отмечено лишь у 2 больных, у 5-ти наблюдалось значительное снижение исход-

Основные биохимические показатели при длительном применении нифедипина, пропранолола и изосорбид динитрата у больных ХИБС

Показатели	До лечения	Лечение					
		нифедипин	P ₁	пропранолол	P ₂	изосорбид динитрат	P ₃
Холестерин	233,4 ± 9,0	220,5 ± 6,8	>0,05	271,9 ± 8,8	<0,01	224,2 ± 7,1	>0,05
Триглицериды	155,1 ± 9,8	150,6 ± 8,3	>0,05	199,4 ± 9,2	<0,01	161,3 ± 8,0	>0,05
Глюкоза	103,3 ± 6,0	94,2 ± 3,8	>0,05	107,4 ± 6,1	>0,05	96,9 ± 4,2	>0,05
Мочевая кислота	4,68 ± 0,24	2,24 ± 0,14	>0,05	7,9 ± 0,22	<0,001	2,9 ± 0,18	>0,05

Условные обозначения: P₁—критерий достоверности лечения нифедипином, P₂—пропранололом, P₃—изосорбид динитратом

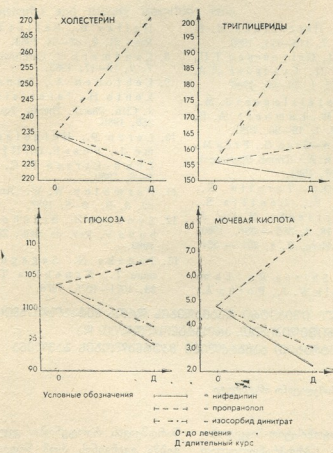


Рис. 1. Изменение величины основных биохимических показателей при длительном применении нифедипина, пропранолола и изосорбид динитрата у больных хронической ишемической болезнью сердца: по оси ординат — величина показателей; по оси абсцисс: О — до лечения; Д — длительный курс

но повышенного уровня глюкозы. Уровень мочевой кислоты не менялся. Аналогичные

Ландмарк [8]. Нами не выявлено также изменений уровня холестерина и триглицеридов. Рядом авторов [8,

[9] это расценивается как преимущество нифедипина перед бета-блокаторами и диуретиками. Более того, имеются данные о том, что нифедипин, не снижая гиперхолестеринемию, подавляет атерогенез и препятствует развитию атеросклероза [4, 6, 11].

При длительном лечении пропранолом нами отмечено (табл. 1, рис. 1) некоторое повышение общего холестерина, триглицеридов и мочевой кислоты крови. Это соответствует имеющимся в литературе данным [1, 10, 13]. Есть указания на то, что при длительном лечении пропранололом повышается уровень глюкозы крови и частота диабетических сахарных кривых [2]. Достоверных изменений

ЛИТЕРАТУРА

- Текарь А. В., Персидский И. В. Кардиология, 26, 7, 116—121, 1986.
 - Филатова Н.П., Островская Т.П., Илющенко И. П., Суворова Л.А. Тер. Архив, LVIII, 1, 59—65, 1986.
 - Charles S., Ketelslegers J. M., Buysschaert M., Lambert A. E. Brit. Med. J., 283, 1, 19—20, 1981.
 - Fleckenstein—Grun G., Frey M., Fleckenstein A. Trends Pharmacol. Sci., 5, 7, 283—287, 1984.
 - Guiglano D., Torella R., Cacciapuoti F., Gentila S., Verza M., Varriecho M. Eur. J. Clin. Pharmacol., 18, 3, 395—398, 1980.
 - Henry Ph. D. Herz, 7, 4, 221—234, 1982.
 - Joffe B. Y., Shires R., Lamprey Y.M., Kalk W.J., Botha A., Haitas B., Seftel H. C. Hormone Res., 21, 2, 88—94, 1985.
 - Landmark K. Cardiovasc. Pharmacol., 7, 1, 12—17, 1985.
 - Lehtonen A., Tanskanen A., Lehto H., Jarer-siner P. Intern. J. Clin. Pharm. Therap. Tox., 24, 7, 357—358, 1986.
 - Leren P., Helgeland A., Holme J., Foss P. O., Hjermann J., Lund-Larsen P. G. Lancet, 2, II, 4—6, 1980.
 - Parmbley W. W. Amer. J. Med., 82, 3, B., 3—8, 1987.
 - Svoboda Z., Blanholz J., Sagabova V. Rev. de Med., 23, 8, 397—400, 1982.
 - Tanaka N., Sagaguchi K., Niimura T., Kanehisa T. Metabolism, 25, 1071—1075, 1976.

თბილისის სახელმწიფო სამედიცინო ინსტიტუტი

ՀԵՂՈՎՐԾ 8

კალციუმის ანტაგონისტთ-ნიველიზით
(ცორინფარი), პროპრანოლოლით
(ობზიდანი) და ნიტრატით — იზოსორბიდ
დინიტრატით (ნიტროსორბიდი) მეურნა-
ლობის დაწყებამდე და მეურნალობიდან
3-4 თვის შემდეგ გულის ქრონიკული
იშემიურა დაავადებით 123 ვალმყოფზე
გამოვიყვლიერ საერთო ქოლისტერინის,
ტრიგლიცირიდების, გლუკოზისა და

содержания глюкозы крови у наших больных при длительном лечении про-
пранололом не отмечено.

В литературе мы не нашли указаний о влиянии изосорбид динитрата на разные виды метаболизма. Согласно нашим данным (табл. 1, рис. 1), изосорбид динитрат не влияет на уровень холестерина, триглицеридов, сахара и мочевой кислоты крови.

Таким образом, нифедипин и изосорбид динитрат не оказывают неблагоприятного влияния на обменные процессы в организме, а лечение пропранололом у части больных может сопровождаться неблагоприятными метаболитными сдвигами.

Haitas B., Seftel H. C. Hormone Res., 21, 2, 88-94, 1985.

8. Landmark K. *Cardiovasc. Pharmacol.*, 7, 1, 12–17, 1985.
 9. Lehtonen A., Tanskanen A., Lehto H., Järer-siner P. *Intern. J. Clin. Pharm. Therap. Tox.*, 24, 7, 357–358, 1986.
 10. Leren P., Helgeland A., Holme J., Foss P. O., Hjemmann J., Lund-Larsen P. G. *Lancet*, 2, 11, 4–6, 1980.
 11. Parmbley W. W. *Amer. J. Med.*, 82, 3, B., 3–8, 1987.
 12. Svoboda Z., Blanholos J., Sarubova V. *Rev. de Med.*, 23, 8, 397–400, 1982.
 13. Tanaka N., Sagaguchi K., Niimura T., Kanehisa T. *Metabolism*, 25, 1071–1075, 1976.

შარდმევას რაოდენობა. კვლევის შედეგებმა ვიჩენეს რომ ნიფედიპინით და იზოსორბილ დინიტრატით ხანგრძლივი მცურნალობა არაკეთილსასურველი შეტაბოლიყური დარღვევებით არ ხსიათდება; პროპრანოლოლით მცურნალობა კი იწვევს არაკეთილსასურველ შეტაბოლიტურ ძეგლებს.

THE EFFECT OF LONG-TERM USE OF NIFEDIPIN, PROPRANOLOL AND ISOSORBID DINITRATE ON DIFFERENT KINDS OF METABOLISM IN PATIENTS WITH CHRONIC ISCHEMIC HEART DISEASE

A. L. ISAKADZE, R. N. MELADZE

Tbilisi State Medical Institute, USSR

Summary

Levels of total cholesterol, triglycerides, glucose and uric acid were studied in patients with chronic ischemic heart disease before and 3–4 months after treatment with calcium antagonist Nifedipin (44 patients) beta-blocker propranolol (47 patients) and nitrate isosorbid

dinitrate (32 patients). Our studies showed that the use of nifedipin and isosorbid dinitrate is not associated with any unfavourable metabolic disorders whereas propranolol therapy may result in unfavourable metabolic shifts in some patients.

УДК 581.8.581.4

БОТАНИКА

МОРФОЛОГО-АНАТОМИЧЕСКОЕ ИССЛЕДОВАНИЕ ПОЛЫНИ ОДНОЛЕТНЕЙ

[Н. А. Анели], Дж. Н. Анели, Д. Г. Турабелидзе,
Т. Л. Кобаладзе, М. Ш. Микая

Институт фармакохимии им. И. Г. Кутателадзе, АН ГССР, Тбилиси

Поступила в редакцию 12.02.88

Приводятся данные об анатомическом строении листа, стебля и корня, а также дается морфологическая характеристика всхода и целого растения полыни однолетней. Из основных анатомических признаков отмечено то, что лист дорсовентрально-типа. Проводящие агрегаты в стебле расположены по одному кругу. В мезодерме корня воздушные полости, в ксилеме широкие и узкие радиальные лучи.

Растение *Artemisia annua* L. — полынь однолетняя много веков применяли в китайской народной медицине для лечения лихорадок [6].

Актуальность поиска новых антималярийных препаратов вызвана тем, что малярийный плазмодий, особенно *Plasmodium falciparum*, вызывающий тропическую малярию, приобрел в ряде регионов высокую степень резистентности к различным широко применяющимся препаратам [4]. По данным Всемирной организации здравоохранения в настоящее время малярией в мире болеет более 200 млн. человек. Среди соединений, содержащихся в экстракте, полученном из *A. annua* лишь одно обладает активностью. Китайские ученые назвали его хингаусу или артемизинин, структура которого установлена в 1979 г. [8].

Артемизинин — сесквитерпеновый лактон с пероксидной связью в кольце. Именно это соединение и его производные вызывают интерес как противомалярийные средства [5]. В

настоящее время во многих странах мира ведутся работы по поиску артемизининов [6—11].

В Грузии *A. annua*, широко распространенное в диком виде, применяется как эфиromасличное растение. Имеются возможности ее культивирования. Ученым советом Никитского ботанического сада ранне- и позднеспелые формы полыни однолетней рекомендованы для введения в культуру в южных районах страны.

По просьбе Министерства здравоохранения СССР Институт фармакохимии им. И. Г. Кутателадзе АН ГССР включился в решение комплексных исследований по созданию отечественных противомалярийных препаратов из ряда артемизининов.

В настоящее время из растения *A. annua*, произрастающего в Грузии, сотрудниками Института фармакохимии выделены артемизинин и ряд других соединений [2]. Ведется его культивирование с целью получения растений с высоким содержанием артемизинина, а также для создания лекарственных форм.

МЕТОДИКА

Объектами анатомического исследования служили вегетативные органы: лист, стебель, корень. Для анатомического исследования использованы растения полыни однолетней, собранные в фазе плодоношения в окрестностях Тбилиси, с. Вашлиджвари. Препараторы готовили обычным ручным способом. Рисунки выполнены фотоувеличителем «Беларусь-2» и микропроектором авторов [1].

Для морфологической характери-

стики всхода семена (нестратифицированные) прорачивались в лабораторных условиях при температуре 18—21°C в чашке Петри, на увлажненной фильтровальной бумаге, без стимулирующих веществ. Проростки из чашек Петри переносили в деревянные ящики с увлажненным песком. Морфологические особенности всходов фиксировали путем зарисовок с натуры.

РЕЗУЛЬТАТЫ ИССЛЕДОВАНИЯ И ИХ ОБСУЖДЕНИЕ

Морфология зрелого растения.

Полынь однолетняя — из семейства сложноцветных — душистое, зеленое, голое или с рассеянными мелкими прилегающими волосками растение (рис. 1). Стебель прямостоячий, вет-

тические, по краю широко бело-перепончатые, голые. В корзинке наружные цветки, плодоносящие. Семянки длиной 0,8—0,6 мм, продолговато-яйцевидные, плоские, на верхушке с маленькой округлой площадкой, по



Рис. 1. Полынь однолетняя в фазе плодоношения



Рис. 2. Всход

вистый 30—150 (200) см высотой. Нижние листья точечноямчато-железистые, с треугольно-линейными, надрезано-зубчатыми долями. Верхние листья сидячие. Корзинки 2—3 мм шириной, полусферические или шаровидные, на тонких ножках, в широком метельчатом соцветии. Листочки покрывала — продолговато-эллип-

тические, по краю окаймленной. Цветов и плодов — 7—11 [3]. Произрастает в приморской полосе и на предгорьях, рудеральных местах, на обочинах дорог, сорняк.

Морфология всхода. Морфологическое описание всходов проводилось по методике, приводимой Васильченко [2]. Прорастание надземное, подсемядольная часть развитая, невысокая,

белая, семядоли мелкие, коротковатые, почти округлые, в 2–3 мм длиной, 1,5–1,8 мм шириной, сидячие, на верхушке закругленные. Первые листья продолговато-обратно-яйцевидные, цельные и цельнокрайние, иногда в верхней части с двумя зубчиками. Последующие листья супротивные. Третий лист — удлиненный, клиновидный несколько лопатчатый, на верхушке трех- или пятизубчатый. Четвертый лист трехраздельный, боковые его доли продолговато-ovalные, нередко с зубчиками. Пятый лист перисторассеченный, в очертании удлиненно обратнояйцевидный, сегменты перистонадрезанные, верхушечный сверху с тремя зубчиками. Листья усажены очень мелкими волосками. Надсемядольное междуузлие неразвитое. Всходы ярко-зеленые (рис. 2).

Анатомия. Анатомический анализ проведен на листьях, междуузлиях и корнях.

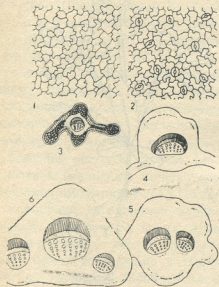


Рис. 3. Анатомическое строение листа: 1—верхняя, 2—нижняя эпидерма; 3—лист на поперечном срезе; 4—6—черешок листа

Лист. Верхняя эпидерма без устьиц, клетки различных размеров, зигзагостеноочного типа (рис. 3,1). Средняя жилка выступает с обеих сторон.

Нижняя эпидерма. Основоположные клетки зигзагостеноочного типа

(рис. 3,2), среди которых расположены немногочисленные устьица чечевицевидного типа без определенной ориентации.

Лист на поперечном срезе (рис. 3,3) слабо дорсовентрального типа. В середине представлен сильно выступающей «горбушкой». Один проводящий агрегат составлен из ксилемы, флоэмы и стернейдального колпака.

Черешок листа (рис. 3,4-6). В перипепицеле один проводящий агрегат со стернейдальным колпаком (рис. 3,4), в мезодерме — два (рис. 3-5), а в базипепицеле три агрегата того же типа. Других особо выделенных анатомических элементов нет.

Междоузлие стебля (рис. 4,1). Проводящие агрегаты расположены по одному кругу, изолированно, с большими промежутками. Флоэма в виде сплошного пояса. Стебель ребристый, в ребрах расположена угловая колленхина (рис. 4,е). Форма

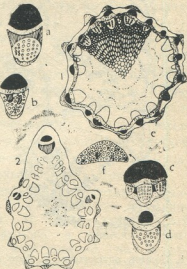


Рис. 4. Поперечный срез стебля: 1 — кончик междуузлия стебля; 2 — узел стебля; а, б, с, д — проводящие агрегаты; е, ф — волокна перициклические

клеток сердцевины меняется постепенно в направлении центра; они удлиненные. В проводящей системе стебля наблюдается наличие разнотипных агрегатов (рис. 4).

Узел стебля (рис. 4,2) трехлакун-



ного типа, в каждом лакуне один агрегат.

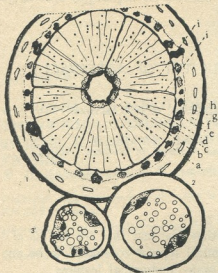


Рис. 5. Анатомическое строение корня: 1 — корень большого диаметра: а — первичная ксилема; б — перимедуллярная зона; в — вторичная ксилема; д — камбий; е — флоэма со стерендалным ободком; ф — медуляя; г — воздушные полости; х — перидерма; и, ж — радиальные лучи; 2 — корень среднего диаметра; 3 — корень малого диаметра

Корень (рис. 5), начиная с медиального диаметров (рис. 5,3), постепенно переходит (рис. 5,2) к более крупному (рис. 5,1). Последний в центре имеет первичную ксилему (рис. 5,а) и мягкую перимедуллярную зону (рис. 5,в). В утолщенном корне мощно развито вторичная ксилема (рис. 5,в) с узкой полосой камбия (рис. 5,д). В коре очаговая флоэма со стерендалным ободком (рис. 5,е). В мезодерме (рис. 5,ф) воздушные полости (рис. 5,г) и перидерма (рис. 5,х). В ксилеме широкие (рис. 5,в) и узкие радиальные лучи (рис. 5,ж).

Таким образом, из основных анатомических признаков отмечено, что лист дорсовентрального типа. Проводящие агрегаты в стебле расположены по одному кругу. В мезодерме корня — воздушные полости, в ксилеме — широкие и узкие радиальные лучи. Из морфологических признаков отмечается надземное прорастание всхода.

ЛИТЕРАТУРА

1. Анели Дж. Н. Рационализаторское предложение № 17. Институт фармакохимии АН ГССР. Тбилиси, 1983.
2. Васильченко И. Т. Определитель всходов сорных растений. «Колос», Л., 1979.
3. Флора СССР, 26, М.—Л., 1961, 489—490.
4. Фонд Института фармакохимии им. И. Г. Кутателадзе АН ГССР. 1986.
5. Хомченовский Е. И. Мед. и паразитол. и паразит. болезни, 4, 73—77, 1986.
6. Хомченовский Е. И. Журн. Всес. хим. общ-тва им. Д. И. Менделеева, 31, 102—105, 1986.
7. China cooperative research group on guing-haosu and its derivatives as antimalarias, J. Trad. Chin. Med., 2, 2—123, 1982.
8. Daniel L., Klayman A. J. Pin, Naney Action. John P. Seovill, James M. Hoch, Wilbulg K. Milhous, Anthony D. Theoharides, J. Nat. Proc., 47, 4, 715—717, 1984.
9. Jing. Ming Liu, Mu-Yun Niet o l. Acta Chin. Sinica, 34, 129—143, 1979.
10. Shi-Shan Zhao. Planta Medica, 3, 233—237, 1965.

უჯანგარის მოწვევლობიურ-ანატომიური შესავალი

| 5. ანელი | , ჯ. ანელი, დ. ტურაშვილი, თ. კობაძე, გ. მიძანა

საქართველოს მეცნიერებათა აკადემიის ი. ქუთათელაძის სახელმწიფოს ფარმაკოლოგიის
ინსტიტუტი, თბილისი

რეზიუმე

ნაშრომში წარმოდგენილია საქართველოში მოზარდი მცენარე უჯანგარის ფოთლის, ღეროსა და ფესვის ანატომია. მოზ-

ფოთლოვიურად დახსიათებულია მთლიანი მცენარე და აღმონაცენი. ძირითადი ანატომიური ნიშნებიდან შეიძლება დასაქ-

ლებულ იქნეს შემდეგი: ფოთლები დორზოვენტრალურია, ღეროში გამტარი აგრეგატები ერთ წყებად არის განლაგებული. ფესვის მეზოდერმაში გეხვდება საპარკო

სივრცეები, ქსილემაში კი ფართო და კონტრო რადიალური სხივები. მცენარეული ხისიათლება მიწისხედა აღმონაცენით.

THE MORPHOLOGICAL-ANATOMICAL STRUCTURE OF *ARTEMISIA ANNUA*

N. A. ANELI¹, J. N. ANELI, D. G. TURABELIDZE, T. L. KOBALADZE,
M. Sh. MIKAIA

I. Kutateladze Institute of Pharmacochemistry, Georgian Academy of Sciences, Tbilisi,
USSR

Summary

The anatomical structure of the leaf, stem and root of *Artemisia annua* is described. The morphological characteristic of the whole plant and the corn of the plant is also given. The raw material of the plant which was brought to Vashlijvari (environs of Tbilisi) in its fruitlet phase served as an object of investi-

gation. The fact that the leaf is of dorsoventral type is considered to be one of the main anatomical features.

Vascular aggregates in the stem are located in a circle. There are aerial cavities in the mesoderm of the root and wide and narrow radial rays in the xylem. The corn's growth is overground.

УДК 595.768

ЭНТОМОЛОГИЯ

К ВОПРОСУ О ТАКСОНОМИЧЕСКОМ СТАТУСЕ НЕКОТОРЫХ
ВИДОВ РОДА *STENURELLA* VILLIERS, 1974 (COLEOPTERA, GERAM-
BYCIDAE) С НОВЫМИ ДАННЫМИ ПО ФАУНЕ ЖУКОВ-УСАЧЕЙ
ГРУЗИИ

М. Л. Данилевский, И. Г. Джавелидзе

Институт эволюционной морфологии и экологии животных им. А. Н. Северцова
АН СССР, Москва

Институт горного лесоводства им. В. З. Гулиашвили, Тбилиси

Поступила в редакцию 29.04.88

На основании изучения внешнего строения и гениталий *Stenurella novercalis* [8] и *S. limbiventris* [7] из собственных сборов показано, что *S. novercalis*, имеющая такой же рисунок надкрыльй, как и самка *S. jaegeri* (Гуммел, 1825). *S. limbiventris* не является самостоятельным видом, а только формой *S. bifasciata* (Мюллер, 1776), которая характеризуется темной окраской брюшка у самцов и может рассматриваться как южный подвид *S. b. limbiventris*. Сообщается о находке в окрестностях Тбилиси *Exocentrus pseudopunctipennis* Holzschuh, 1979 — нового для фауны Грузии вида. Обращено внимание на старое сообщение о находках в Грузии *Stenopterus ateg* (L., 1767) и *Leioderus kollaris* (Редтенбахер, 1849), не включавшихся до сих пор в фауну Кавказа.

В Грузии встречаются все 7 видов рода *Stenurella* фауны СССР [3]; 5 из них хорошо известны, а 2 (*S. novercalis* и *S. limbiventris*) изучены недостаточно.

S. novercalis была описана с Центрального и Западного Кавказа и из русской Армении. Уже в первоописании [8] Рейтер принял часть самцов за самок, так как описал у самок целиком красные надкрылья и черное брюшко — признаки, встречающиеся только у самцов. Этую ошибку повторил Плавильщиков [3], утверждавший, что «надкрылья самца и самки окрашены одинаково».

До настоящего времени во всех изученных нами коллекциях (колл. Плавильщикова в Зоологическом музее МГУ, ЗИН АН СССР, Гос. музей Грузии и др.) *S. novercalis* была представлена только самцами.

В 1987 г. в Боржомском районе в

окрестностях Ахалдабы и Цагвери нам удалось произвести массовый сбор экземпляров *S. novercalis* (около 50 штук). Самки встречались примерно в том же количестве, что и самцы. Жуки чаще всего попадались в соцветиях борщевика. Многие экземпляры были найдены в состоянии копуляции, что подтверждает принадлежность их к одному виду. Оказалось, что самки *S. novercalis* имеют такую же окраску надкрыльй, как самки *S. jaegeri*, то есть, в отличие от самцов, их надкрылья в передней половине красные, а в задней — черные. Причем брюшко самок *S. novercalis* не черное, как у самцов, а красное, как у *S. jaegeri*. Понятно, что самки *S. novercalis*, попадавшие в руки энтомологов, всегда определялись как *S. jaegeri*, а как *S. novercalis* определялись только самцы этого вида. За исключением окраски оба пола

S. novercalis внешне практически неотличимы от *S. jaegeri*. Признаки, указанные для их разделения Плавильщиковым [3] (пропорции тела, длина 7-го стернита брюшка), несколько варьируют и поэтому ненадежны. Отношение длины надкрылья к их общей ширине у самцов *S. novercalis* — 2,4—2,7, у самок — 2,3—2,4; у самцов *S. jaegeri* — 2,5—2,7, у самок — 2,4—2,6. Это сходство привело к тому, что возникло сомнение, не является ли *S. novercalis* цветовой aberrацией *S. jaegeri*. Для выяснения этого вопроса мы предприняли изуче-

мальном увеличении бинокуляра (МБС-9). Средняя часть эндофаллуса *S. jaegeri* (рис. 1—2) имеет полоски, состоящие из крупных вытянутых шипиков. При слабом увеличении эти зоны выглядят интенсивно желтыми. Совершенно различны очертания вершин пенисов. У *S. jaegeri* (рис. 1—4) вершина пениса узкая и сильно заостренная, у *S. novercalis* (рис. 1—3) она широкая и слабо заостренная. Параметры *S. novercalis* (рис. 1—5) короче и толще, несут на вершинах длинные и толстые щетинки, которые по длине превышают параметры *S. jaegeri* (рис. 1—6). На рисунке 7 изображены сперматеки *S. novercalis* и *S. jaegeri*, на рисунке 8 — стернит брюшного сегмента самки *S. novercalis*, на рисунке 9 — стернит брюшного сегмента самки *S. jaegeri*.

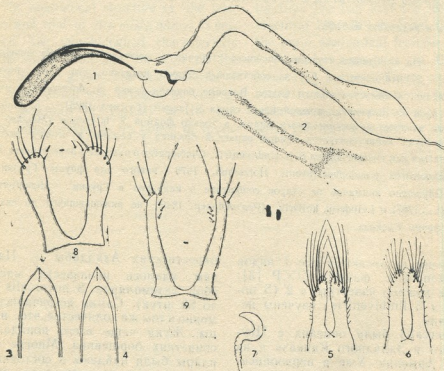


Рис. 1. Детали строения *S. novercalis* и *S. jaegeri*: 1—эдеагус *S. novercalis*; 2—средняя часть эндофаллуса *S. jaegeri*; 3—вершина пениса *S. novercalis*; 4—*S. jaegeri*; 5—параметры *S. novercalis*; 6—*S. jaegeri*; 7—сперматека *S. novercalis*; 8—стернит брюшного сегмента самки *S. novercalis*; 9—*S. jaegeri*

ние гениталий самцов и самок этих видов. Оказалось, что они совершенно различны.

Эдеагус *S. novercalis* с вывернутым эндофаллусом изображен на рисунке 1-1. В средней части эндофаллуса *S. novercalis* расположены 2 (одна против другой) полоски мельчайших шипиков, едва заметных при макси-

раметре *S. jaegeri* (рис. 1—6) длиннее и тоньше, покрыты короткими тонкими щетинками. Что касается гениталий самок, то стилеты яйцеклада, стили и сперматеки (рис. 1—7) не обнаруживают значительных различий. Надежные различия удалось наблюдать в строении стернита 8-го сегмента брюшка. У *S. novercalis*



склеротизированные полоски стернита широкие, расширяющиеся дистально (рис. 1—8), у *S. jaegeri* они узкие, суживающиеся дистально (рис. 1—9).

Таким образом, глубокие различия в строении гениталий не оставляют сомнений в том, что *S. novercalis* и *S. jaegeri* различные виды. Гениталии *S. jaegeri* были изучены у экземпляров из окрестностей Краснодара, из Кавказского государственного заповедника, из окрестностей Кисловодска и Боржомского ущелья. Все пре-

оранжевого до темно-красного, у некоторых экземпляров бывают зачернены вершины голеней. Что касается окраски светлой части надкрылий, то у *S. novercalis* она в среднем темнее. Большинство экземпляров окрашено в темно-красный цвет, но встречаются и более светлые, красно-оранжевые. Цвет надкрылий *S. jaegeri* варьирует от желтого до красного. Темные *S. jaegeri* и светлые *S. novercalis* имеют одинаковую окраску надкрылий. Экземпляры *S. jaegeri* из Закавказья несколько темнее.

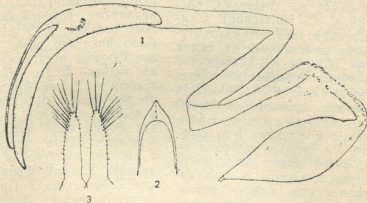


Рис. 2. Детали строения *S. bifasciata limbiventris*: 1—эдеагус; 2—вершина пениса; 3—параметры

параты гениталий *S. novercalis* изготовлены по экземплярам из Боржомского района. В Ахалдабе *S. jaegeri* и *S. novercalis* встречались одновременно на одних и тех же полянах; в Цагвери встречались только *S. novercalis*.

По окраске эти виды различаются достаточно надежно. Самцы *S. novercalis* всегда имеют совершенно черное брюшко. У самцов *S. jaegeri* в черный цвет окрашены 1 и 5-й видимые стерниты брюшка, а 2—4-й стерниты красные, нередко задний край 1-го стернита также красный. Самцы с промежуточной окраской неизвестны. У самок *S. novercalis* брюшко красное, но передний край 1-го видимого стернита и 5-й стернит черные. У самок *S. jaegeri* брюшко окрашено также, но 1-й видимый стернит зачернен сильнее, часто до половины, а иногда целиком. Оба пола *S. novercalis* отличаются от *S. jaegeri* окраской ног. У *S. novercalis* голени всегда черные, только у самок могут быть красноватыми вершины задних голеней. Зачернены также основания всех бедер. У *S. jaegeri* голени от

По нашим материалам размер самцов *S. novercalis* 7,7—10,0 мм, самок — 9,7—11,5 мм; у *S. jaegeri* длина самцов 7,2—9,5 мм, самок — 7,5—10,6 мм, то есть *S. novercalis* в среднем крупнее.

Значительно более редкая *S. limbiventris* из Центрального Кавказа была описана по одному экземпляру без указания пола [7]. Изучение голотипа (из Венгерского музея естественной истории, Будапешт) показало, что это самец с сильно растянутым брюшком и обнаженным межсегментными мембранными, что позволило Рейтеру, а за ним Плавильщиковой описывать «желтые задние края брюшных колец», которых на самом деле нет. Самка до сих пор не описывалась. Плавильщикова [3] приводит признаки самок, но, как и в случае с *S. novercalis*, не отмечает существенных отличий в их окраске от самцов, то есть либо эти признаки приводятся из каких-нибудь косвенных соображений, либо описываются неверно определенные экземпляры. К тому же надо заметить, что до сих пор ни в

одной из известных нам коллекций СССР (включая ЗИН АН СССР, МГУ, Гос. музей Грузии, Ин-т зоологии Арм. ССР и др.) *S. limbiventris* вообще не представлена. Этот вид без каких-либо объяснений не упоминается и в статье Зайцева [2] по фауне усачей Грузии.

В нашем распоряжении имелись 48 самцов и 14 самок, собранных Джавелидзе 11.8—5.9.1970 у с. Елиашвили Ахалцихского района и Данилевским 25.7.1988 у с. Цинарети Шуахевского района Аджарии, а также 1 самец из Анатолии (Ag-tvin, 3—11.6.72, C. Holzschuh). Самки по пропорциям тела, его скульптуре и окраске неотличимы от самок *S. bifasciata*. Самки из Цинарети и из Турции имеют совершенно черное брюшко, тогда как у *S. bifasciata* брюшко красное; черными на брюшке этого вида остаются только 1-й видимый стернит и вершина 5-го стернита. Часто 1-й стернит зачернен не полностью, а 5-й может быть почти целиком черным. Самцы *S. limbiventris* из Ахалцихского района демонстрируют все степени потемнения брюшка: от целиком красных 2—4-го стернитов до целиком черных. Однако у самок *S. limbiventris* незаметно никаких следов затемнения брюшка, то есть оно окрашено так же, как у *S. bifasciata*. Рисунок надкрыльй у самок *S. limbiventris* такой же, как у самок *S. bifasciata*, то есть представлен вершинным черным пятном и предвершинной перевязью, соединенными по шву. Нам не удалось обнаружить каких-либо признаков, отличающих самок *S. limbiventris* от самок *S. bifasciata*. Изучение гениталий самцов (на рис. 2—1,2,3 изображены эдеагус, вершина пениса, параметры) *S. limbiventris* показало, что никаких различий с гениталиями *S. bifasciata* из различных частей ее обширного ареала не наблюдается. В результате приходится признать, что *S. limbiventris* не является самостоятельным видом, а только южным подвидом *S. bifasciata*, который характеризуется наличием в популяциях самцов с более или менее сильно затемненным брюшком. *S. b. limbiventris* встречается в Южной Грузии и Анатолии. Указание Плавильщикова на экземпляры из окрестностей Анапы нуждается в подтверждении. Возможно, что север-

нее Месхетского хребта *S. b. limbiventris* уже не встречается, так как в Боржомском районе, несмотря на сотни просмотренных экземпляров, не удалось обнаружить ни одного самца *S. bifasciata* со следами потемнения 1—4-го видимых стернитов брюшка.

В 1981 г. из Южной Франции Пиком [6] была описана форма *S. bifasciata* с почти черным брюшком — *v. nigritrinitis*. Замечательно, однако, что эта форма была описана по самкам и с тех пор именно как форма самок неоднократно упоминается в различных европейских фаунистических сводках. У *S. b. limbiventris*, как было показано выше, частично черное брюшко могут иметь только самцы. Однако Вилье [9] в своей монографии по фауне Франции упоминает *ab. nigritrinitis* без какой-либо связи с полом, отмечая в то же время, что эта форма чаще встречается на юге Франции. Нами просмотрена серия *S. b. ab. nigritrinitis* из различных пунктов Южной Франции в коллекции Гейровского в Пражском зоологическом музее. Действительно как самцы, так и самки имеют черное брюшко, у части экземпляров брюшко более или менее освещено, т. е. представлены переходные формы.

Интересно отметить, что и остальные виды рода *Stenurella*, имеющие красный цвет в окраске покровов, *S. septempunctata* (F., 1792) и *S. nigra* (L., 1758), в Грузии окрашены темнее. В южной Европе *S. septempunctata* обычно имеет красную голову, антенны, переднеспинку, брюшко и слабое развитие черных пятен на надкрыльях. В средней Европе у *S. septempunctata* голова, антенны и переднеспинка обычно целиком или частично черные, затемнены 1—5-й видимые стерниты брюшка. У экземпляров из Грузии переднеспинка целиком черная, голова также обычно целиком черная (бывает красное теменное пятно), сильнее затемнены ноги, брюшко и надкрылья. Последняя форма, характерная для Закавказья, Малой Азии и встречающаяся также в Восточной Болгарии была выделена в самостоятельный подвид *S. s. apatolica* Неуполовский, 1961.

У *S. nigra* меланизация закавказских популяций выражена только у самцов. У самцов *S. nigra* из южной

ciata-ს ფორმაა, რომლის მამრობით ეგზემპლარებს მუცლის მუქი სტერნიტები აქვთ და შეიძლება განხილული იქნეს როგორც *S. b. limbiventris*-ის სამხრეთულ ძველსახობად.

აღსანიშნავია საქართველოში ზარაბულის რი სახობის მომოვება: *Stenopterus ater* (L., 1767) და *Leioderus kollaris* (Рентгенахер, 1849), რომლებიც აქვთ ას იყო კავკასიის ფაუნაში შეტანილი.

ON TAXONOMIC STATUS OF SOME SPECIES OF GENUS STENURELLA VILLIERS, 1974 (COLEOPTERA, GERAMBYCIDAE) WITH NEW DATA ON GEORGIAN LONGICORN BEETLES

M. L. DANILEVSKY, I. G. JAVELIDZE

A. N. Severtzov Institute of Evolutionary Morphology and Ecology of Animals, USSR Academy of Sciences, Moscow, USSR

V. Z. Gulashvili Institute of Mountain Forestry, Georgian Ministry of Silviculture, Tbilisi, USSR

Summary

On the basis of external morphology and genital structures *S. novocalis* is confirmed as species propriae. The description of its female is given for the first time. Colour patterns of female elytra and abdomen are the same as in female of *S. jaegeri*. *S. limbiventris* is stated as a form of male of *S. bifasciata*

with dark abdominal sternites. Population of *S. bifasciata* from South Georgia and Anatolia with such males are considered as subspecies *A. b. limbiventris*. *Exocentrus pseudopunctipennis* Holzschuh, 1979 is reported from Georgia for the first time. *Stenopterus ater* and *Leioderus kollaris* were previously reported from Georgia.

УДК 634.0.18:634.0.23

ЭКОЛОГИЯ

ДИНАМИКА ЕСТЕСТВЕННОГО ВОЗОБНОВЛЕНИЯ ЕЛОВЫХ ЛЕСОВ ЮЖНОЙ ГРУЗИИ В СВЯЗИ С ИХ СВЕТОВЫМ РЕЖИМОМ

И. И. Мамукашвили

Институт ботаники им. Н. Н. Кечховели АН ГССР, Тбилиси

Поступила в редакцию 20.10.88

Изучены освещенность и формирование подроста в еловых лесах (из *Picea orientalis*) Южной Грузии. Выявлена связь между динамикой роста подроста и интенсивностью ФАР. Установлены оптимальные показатели по освещенности, наиболее благоприятствующие успешному естественному возобновлению в еловых лесах Южной Грузии. Приводятся соответствующие практические рекомендации.

Еловые леса Южной Грузии, эдификатором которых является ель восточная (*Picea orientalis*), имеют важное хозяйственное и рекреационное значение, поэтому изучение особенностей их естественного возобновления и экологии имеет непосредственную практическую целенаправленность.

Среди многочисленных факторов внешней среды, регулирующих процесс жизнедеятельности растений, огромное значение принадлежит солнечной радиации. Алексеев В. А. [2] указывает, что исследование режимов фотосинтетической активной радиации (ФАР) имеет немало частных лесоводических, фитоценологических и биогеоценологических значений. Выгодская Н. Н. [3] также указывает на практическую значимость изучения радиационного режима в разных условиях местопроизрастания горных лесов, определяющего процесс возоб-

новления лесной растительности. То же не раз было подчеркнуто и другими исследователями-лесоводами [4, 6, 7, 8, 9, 11].

По литературным данным [5] в древостоях темнохвойных лесов Грузии подрост ели в начале своей жизни характеризуется более или менее замедленным ростом. Это вызвано характерной для данных древостоев слабой и неравномерной освещенностью под материнским пологом. Применив соответствующую методику, а также относительно современную измерительную технику, мы продолжали эти исследования. Они проводились в 1986—1987 гг. в ельниках Адыгенского и Боржомского районов Грузинской ССР. Цель исследований — установление оптимальной освещенности для появления и роста всходов и подроста ели восточной в зависимости от сомкнутости древостоя.

ОБЪЕКТЫ И МЕТОДИКА ИССЛЕДОВАНИЯ

Объектами исследований являлись: ельник кисличник (с *Oxalis acetosella*) и ельник подлесниковый (с *Sanicula europaea*). Названные типы характеризуются древостоями высокой производительности. На фоне мохового покрова обильны подлесник или кислица. Изученные сообщества сосредоточены в пределах абсолютных высот

1300—1800 м и приурочены к пологим склонам северных экспозиций (до 15—20°) или к платообразным участкам.

Пробные площади подбирались на наиболее типичных с физиономической и экологической точек зрения участках.

Для определения размеров пробных площадей была использована общепринятая методика [10]. На любых площадях нами проводился сплошной пересчет подроста, измерялась его высота (H) и линейный текущий прирост (Δh) каждого экземпляра за последние 3—5 лет. Показатель по сомкнутости устанавливался соответственно методическим указаниям, разработанным в нашей стране.

РЕЗУЛЬТАТЫ ИССЛЕДОВАНИЯ И ИХ ОБСУЖДЕНИЕ

Обсуждая материал наших исследований, следует отметить, что в таблице и на рисунке не приводятся данные по высоте и линейному приросту подроста при сомкнутостях материнского полога 0,8—1,0. Это обусловлено тем, что при таких сомкнутостях полога световые довольствия подроста настолько малы (интенсивность ФАР не превышает 2% от из-

не [12]. Для выяснения световых условий произрастания подроста и распределения интенсивностей солнечной радиации применяли методику ВДЭА Алексеева [1]. Измерения освещенности проводились при помощи люксметра типа Ю-116. Первичные полевые материалы подвергались математико-статической обработке на ЭВМ модели «Sharp» — PC-1500 A.

сомкнутостях 0,1—0,2 (последние также не отражены в таблице и на рисунке).

При сомкнутостях полога 0,3—0,7 (см. таблицу и рисунок) создаются наиболее благоприятные световые условия для роста и развития подроста. Однако, как будет показано ниже, существует более тесная и дифференцированная связь между освещенностью

Таблица

Зависимость высоты и линейного прироста подроста ели восточной от сомкнутости полога

A	Сомкнутость полога									
	0,3		0,4		0,5		0,6		0,7	
	H	Δh	H	Δh	H	Δh	H	Δh	H(cm)	$\Delta h(cm)$
1—5	7	1,4	7	1,4	8	1,7	9	1,8	5	1,0
6—10	18	2,1	16	1,9	18	2,0	19	2,0	11	1,0
11—15	41	4,6	34	3,6	31	2,6	34	2,9	21	2,0
16—20	73	6,4	68	6,7	56	5,0	61	5,4	40	3,7
21—30	174	10,1	176	10,8	130	7,4	129	6,8	80	4,0
31—40	344	17,0	654	47,8	410	27,6	229	10,0	153	7,3
41—50	694	34,0	1094	44,0	712	30,2	316	8,7	231	7,8
51—60	1126	44,2	1485	39,1	1062	35,0	389	7,3	261	3,0
61—70	1354	22,8	1848	36,3	1283	22,1	455	6,6	280	1,9
71—80	1560	20,6	2192	34,4	1407	21,4	509	5,4	297	1,7
81—90	1761	20,1	2532	34,0	1710	21,0	551	4,2	308	1,1

меренного на открытом месте), что всходы и подрост обычно сильно угнетены или вовсе отсутствуют. Тот же неблагоприятный эффект вызывают показатели по освещенности (до 95—98%), которые наблюдаются при

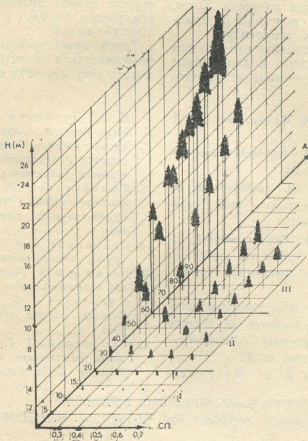
щенностю и возобновляемостью в еловых лесах.

Еловый подрост в возрасте 6—20 лет, несмотря на разные сомкнутости полога (0,3—0,7) и, соответственно разные световые условия (10—40%

интенсивности ФАР от открытого места), характеризуется медленным ростом; разница высоты десятилетнего подроста составляет всего 7 см, а в линейных приростах — лишь 1 см. Несущественные различия и в 20-летней возрастной группе. В дальнейшие годы (21—60) начинается дифференциация роста. Так, если при сомкнутости полога 0,4 21—30-летнего подроста высота составляет 176 см, а средний текущий прирост — 10,8 см, то при сомкнутости полога 0,6 соответственные показатели равняются

показатели равны соответственно 195 см и 39,1 см; при сомкнутости же 0,7 — 261 и 3,0 см. В дальнейшем (61 лет и выше) рост подроста по высоте в каждой вышеуказанных сомкнутостях полога соответственно стабилизируется.

Подобные тенденции динамики роста подроста ели представили возможность выделить три стадии роста (рис.). I. Стадия замедленного роста (6—20 лет) — это период, в который происходит приживание подроста к конкретным условиям



Динамика роста подростка ели

129 и 6,8 см; при сомкнутости же 0,7—80 и 4,0 см; в последние годы (31—40, 41—50, 51—60 лет) различия в высотах и приростах еще более выражены. Так, если при возрасте 60 лет и сомкнутости полога 0,3 высота подростка равняется 1126 см, а линейный прирост 44,2 см, то при сомкнутости полога 0,4 эти

яя местопроизрастания и накопление энергии для последующего роста; дифференциация подростка по росту не выражена. На II (световой) стадии (21—60 лет) происходит дифференциация подростка по росту, начинает выражаться зависимость роста линейного прироста от режима освещенности, однако основные тен-

тенции влияния освещенности на подрост выражены не четко. На III же стадии (стадия интенсивного роста, выше 60 лет), уже четко выражены основные тенденции влияния светового режима на рост подроста.

Наши исследования также показали, что в I стадии наилучшие количественные и качественные показатели приурочены к сомкнутости полога 0,6, когда интенсивность ФАР в полдень под пологом снижается и составляет 10—12% от полной освещенности. Указанный показатель по сомкнутости, который необходимо сохранять до возраста подроста 20 лет, оберегает самосев и всходы от заморозков и высоких температур.

Получив при сомкнутости полога 0,6 обильный подрост, в дальнейшем целесообразно изреживание древосто-

ЛИТЕРАТУРА

1. Алексеев В. А. Физиол. раст., 10, 2. 244—247, 1963.
2. Алексеев В. А. Световой режим леса, «Наука», Л., 1975.
3. Выгодская Н. Н. Радиационный режим и структура горных лесов, Гидрометеониздат, Л., 1981.
4. Гигаури Г. Н. Основы ведения хозяйства в лесах Грузии (на грузинском языке), «Сабчота Сакартвело», Тбилиси, 1980.
5. Гигаури Г. Н. В сб.: Интенсификация горного лесного хозяйства, (к 40-летию основания института), Госкомиздат ГССР, Тбилиси, 1987, 42—52.
6. Гулиашвили В. З., Махатадзе
- Л. Б., Прилипко Л. И. Растительность Кавказа, «Наука», М., 1975.
7. Джапаридзе Т. М. Формирование подроста в темнохвойных лесах Грузии, «Сабчота Сакартвело», Тбилиси, 1977.
8. Джапаридзе Т. М. Структура и биоэкология горных темнохвойных лесов Грузии, автореф. докт. дисс., Тбилиси, 1984.
9. Долуханов А. Г. Темнохвойные леса Грузии, «Мечниереба», Тбилиси, 1964.
10. Захаров В. К. Лесная таксация, «Лесная промышленность», М., 1967.
11. Махатадзе Л. Б. Темнохвойные леса Кавказа, «Лесная промышленность», М., 1966.
12. Самойлович Г. Г. Методические указания по таксации полога насаждений, ЛТА им. С. М. Кирова, Л., 1968.

საქართველოს ნაძნარი ტყების გუნდის გუნდი
განახლების დინამიკის კავშირი მათ სინათლის რეჟიმი

ი. გ. ზ. მ. ე

სამხრეთ საქართველოს ნაძნარი ტყე-
ების შესწავლის იქნა განათებულობისა
და ბუნებრივი განახლების საკითხები. გა-
მოლინდა კევჭირი მოზარდის ზრდის დი-
ნამიერად და ფოტოსინთეზურად აქტიურ
რადიციას შორის. დადგინდა სამხრეთ

стоя, так как в возрасте 21—60 лет наступает световая стадия, на которой подрост нуждается в улучшении световых условий. Самым продуктивным в этом отношении является сомкнутость полога 0,4, при которой подрост ели возраста 21—60 лет достигает наибольших размеров. Однако нельзя забывать о том, что резкое изреживание полога материнского древостоя может и отрицательно повлиять на жизнедеятельность двадцатилетнего подроста. Поэтому, чтобы уберечь молодой подрост от климатического стресса, считаем целесообразным изреживать древостой поэтапно: сперва доведением сомкнутости полога до 0,5, а затем, через 10 лет — до 0,4.

Такой хозяйствственный подход даст возможность в значительной мере ускорить рост подроста ели.

- Л. Б., Прилипко Л. И. Растительность Кавказа, «Наука», М., 1975.
7. Джапаридзе Т. М. Формирование подроста в темнохвойных лесах Грузии, «Сабчота Сакартвело», Тбилиси, 1977.
8. Джапаридзе Т. М. Структура и биоэкология горных темнохвойных лесов Грузии, автореф. докт. дисс., Тбилиси, 1984.
9. Долуханов А. Г. Темнохвойные леса Грузии, «Мечниереба», Тбилиси, 1964.
10. Захаров В. К. Лесная таксация, «Лесная промышленность», М., 1967.
11. Махатадзе Л. Б. Темнохвойные леса Кавказа, «Лесная промышленность», М., 1966.
12. Самойлович Г. Г. Методические указания по таксации полога насаждений, ЛТА им. С. М. Кирова, Л., 1968.

საქართველოს ნაძნარი ტყების საუკუ-
თხოს განახლებისათვის ოპტიმალური გა-
ნათებულობის მაჩვენებლები. მოცემუ-
ლის შესაბამისი პრაქტიკული ღონისძიებების
ჩატარების დროს

DYNAMICS OF NATURAL RENEWAL OF FIR-WOODS IN SOUTH GEORGIA IN RELATION TO THEIR LIGHT REGIMEN

I. I. MAMUKASHVILI

N. Ketskhoveli Institute of Botany, Georgian Academy of Sciences, Tbilisi, USSR

Summary

Lighting and formation of young trees in fir-woods of South Georgia (*Picea orientalis*) were studied.

The correlation between the dynamics of young tree growth and proto-

synthetic radiation was revealed. Optimal light indices most beneficial for a better renewal of fir-woods in South Georgia were determined. Proper practical recommendations are made.

УДК 547.962 : 577.153

БИОФИЗИКА

ИЗУЧЕНИЕ МЕХАНИЗМА РЕНАТУРАЦИИ КОЛЛАГЕНА ПРИ ЧАСТИЧНОЙ ДЕНАТУРАЦИИ В 2 М УКСУСНОЙ КИСЛОТЕ В ПРИСУТСТВИИ СОЛИ

М. О. Бежитадзе, М. А. Ломая, Т. В. Бурджанадзе

Институт экспериментальной морфологии им. А. Н. Натшвили АН ГССР, Тбилиси,

Поступила в редакцию 10.03.88

Показано, что в присутствии 2 М CH_3COOH · 0,5 М NaCl спиральный участок молекулы коллагена плавится двумя следующими друг за друга стадиями теплопоглощения. Если в таких условиях выполнить частичную денатурацию, не затрагивая высокотемпературную стадию денатурации, то можно получить полное восстановление тройной спирали с сохранением нативных свойств белка. Полученный факт свидетельствует о наличии термостабильного домена в спиральной части коллагена, который также эволюционно консервативен.

В последнее время нами было установлено, что нейтральные соли не только понижают термостабильность коллагена, но и оказывают существенное влияние на механизм денатурации коллагена [1, 2]. В настоящей работе мы хотим показать, что в спиральной части молекулы коллагена имеется термостабильный домен, который в калориметрических экспери-

ментах плавится как самостоятельная кооперативная единица. Изучая этот вопрос в эволюционном аспекте мы выявили, что два образца коллагена, стоящие на различных ступенях эволюционного развития, ведут себя одинаковым образом в экспериментах по восстанавливаемости спиральной структуры при частичной денатурации.

МАТЕРИАЛ И МЕТОДЫ

Коллаген из кожи белых крыс и зеркального карпа экстрагировали 0,5 М уксусной кислотой по ранее описанной процедуре [10]. Концентрацию белка определяли по показанию удельной оптической активности [4]. Поляриметрические кривые снимали на поляриметре «Polamat» (Карл Цейсс) с угловым разрешением 0,005° при 546 нм. Температуру в кювете поддерживали с точностью 0,1°. Частичную денатурацию до нужного уровня осуществляли в поляри-

метрической кювете с постоянным повышением температуры (1° за 30 мин) контролируя уровень денатурации по оптической активности. Ренатурации осуществляли мгновенным изменением температуры, с помощью параллельно подключенного термостата температура в котором предварительно поддерживалась на нужном уровне. Для калориметрических исследований был использован капиллярный микрокалориметр ДАСМ-4 с рабочим объемом камер 0,474 см³ [14].

РЕЗУЛЬТАТЫ ИССЛЕДОВАНИЯ

На рис. 1а, б, в представлены калориметрические кривые записи теплопоглощения в коллагене кожи крысы при различных условиях денатурации.

Из рисунков видно, что в 2 М уксусной кислоте (рис. 1а, кривая 2) процесс теплопоглощения идет одноступенчато, в то время как при pH 1,

со стороны высокотемпературной части пика замечен «горб» (кривая 1). В 0,5 М NaCl при pH 1,3 процесс денатурации протекает двумя следующими друг за другом стадиями. Легко видеть, что даже с увеличением концентрации уксусной кислоты меняется характер денатурации, но зна-

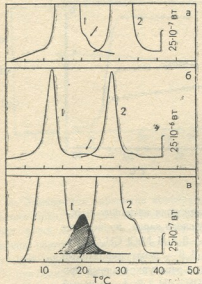


Рис. 1. Термопоглощение в коллагене кожи крысы при различных условиях денатурации: а—в отсутствии соли; б—в 0,5 М NaCl; в—то же, что и на б, но при 10-кратном увеличении шкалы самописца; 1—8 М CH_3COOH , pH 1,3; 2—2,2 М CH_3COOH , pH 2,2. Стрелками указан высокотемпературный пик, заштрихованный на нижнем рисунке

чительно эффективнее действие нейтральной соли. Суммарная энталпия денатурации в этих условиях составляет 5900 Дж·моль⁻¹ и на 8% меньше, чем при pH 4 (6400) [3].

Вместе с калориметрическими снимались и поляриметрические кривые, которые также имеют двухступенчатый характер, что доказывает причастность термостабильного участка к спиральной части молекулы коллагена.

Расчет удельной теплоты денатурации высокотемпературной стадии и оценка кооперативного участка проводилась лишь при низких значениях pH (1,3—1,6), в той области, где четко воспроизводится максимум высокотемпературного пика. На основа-

нии десяти опытов при различных концентрациях белка и pH была найдена средняя величина теплоты плавления высокотемпературной стадии

$$Q = (2,77 \pm 0,25) \text{Дж. } \text{г}^{-1},$$

которая оказалась в 23 раза меньшие полной теплоты денатурации (63,7 Дж·г⁻¹).

Термостабильный домен в спиральной части обнаруживается в калориметрических опытах и с коллагеном из кожи зеркального карпа, однако более низкая термостабильность этого образца, по сравнению с коллагеном кожи крысы [6], не дает возможность поставить опыт в таких условиях, чтобы разделить пики теплопоглощения.

Наличие стабильного домена в молекуле коллагена позволяет провести ряд экспериментов по ренатурации. Раствор коллагена при pH 2,2 (2 М CH_3COOH) в присутствии и отсутствии нейтральной соли был подвержен различной степени денатурации (50, 75, 90 и 100%) и быстро охлаждался до определенной температуры (с расчетом, чтобы температура переохлаждения не превышала бы 10° во всех опытах). Для коллагена кожи крысы ренатурацию в солевом растворе проводили при 17°C, а для кожи зеркального карпа при 7,3°C. За исключением 100% денатурированного белка во всех случаях имело место практически полное восстановление спиральной структуры.

Абсолютная величина оптической активности восстановленного коллагена не может быть критерием совершенности коллагеновой спирали [11]. Для этого необходимо оценить параметр кооперативности превращения спираль — клубок ренатурированного коллагена. На рис. 2а и б представлены кривые плавления ренатурированного коллагена из кожи зеркального карпа в присутствии и отсутствии соли. Из рисунков видно, что в присутствии соли оптическая активность не только достигает своего первоначального значения, но и степень кооперативности перехода практически не отличается от такого же параметра для нативного коллагена,

чего нельзя наблюдать при прочих равных условиях в отсутствии соли (рис. 2б).

Совершенно аналогичная картина наблюдается и для коллагена кожи крысы, с той лишь разницей, что температура денатурации равна 27°C.

кинетических параметров нуклеации при полной и частичной денатурации не заметили, однако температурная зависимость параметра кооперативности кривых плавления ренатурированных образцов (рис. 4) существенно отличается от результатов

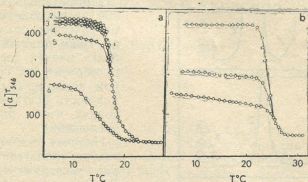


Рис. 2. Поляриметрические кривые плавления нативного и ренатурированного коллагена кожи зеркального карпа, подвергшегося различной степени денатурации: а—0,5 М NaCl CH_3COOH , pH 2,2; 1—нативный коллаген; 2,3,4,5,6—денатурированный соответственно на 25,50,75,90 и 100% и ренатурированный при 7,3°C, 6—бессолевой раствор CH_3COOH , pH 2,2; 1—нативный коллаген; 2,3—денатурированный соответственно на 50 и 90%; концентрация белка 1 мг/мл; скорость прогрева 1°/30 мин

Важную информацию о механизме сворачивания коллагеновой спиралы дает температурная зависимость скорости денатурации [11, 12]. Эксперименты показали, что как для коллагена кожи зеркального карпа, так и для коллагена кожи крысы с понижением температуры ренатурации скорость восстановления тройной спирали возрастает. На рис. 3 приведена зависимость начальной скорости восстановления удельной оптической активности от $1/T$ (Аррениус) и $1/T_{\Delta T}$ (Флори и Вивер) для коллагена кожи крысы. Аналогичная картина наблюдается и для коллагена из кожи зеркального карпа. Из рис. 3 видно, что эти данные удовлетворяют зависимости Флори и Вивера (последнее находится в согласии с результатами для сшитого коллагена из плавательного пузыря карпа при полной денатурации [12]). Принципиальной разницы в температурной зависимости

работы [11]. Как видно из рис. 4, в значительном температурном интервале для коллагена кожи зеркально-

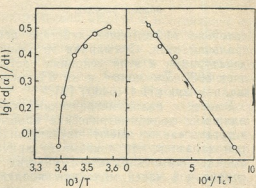


Рис. 3. Зависимость логарифма начальной скорости восстановления коллагеновой спиралы от $1/T$ (Аррениус) и $1/T$ (Флори и Вивер) соответственно; T — температура ренатурации в °К; $\Delta T = T_m - T$; растворитель — 0,5 М NaCl CH_3COOH , pH 2,2

го карпа ($1-14^{\circ}\text{C}$) и коллагена из кожи крысы (от 13 до 20°C) параметр кооперативности перехода спираль — клубок ренатурированного коллагена держится на одном уровне, в то время как для сшитого кол-

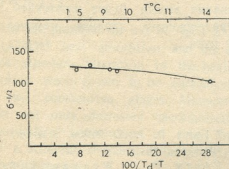


Рис. 4. Зависимость параметра кооперативности перехода спираль—клубок восстановленного коллагена кожи зеркального карпа от обратной величины переохлаждения (во всех случаях денатурация производилась на 75%; концентрация белка — 1 мг/мл , растворитель — $0,5 \text{ M NaCl CH}_3\text{COOH, pH 2,2}$)

лагена из плавательного пузыря карпа возрастает с уменьшением степени переохлаждения.

ОБСУЖДЕНИЕ РЕЗУЛЬТАТОВ

Полученные результаты свидетельствуют о том, что в спиральной части молекулы коллагена имеется определенный участок, отличающийся от остальной части по своей термостабильности, причем изучение двух образцов коллагена показало его эволюционную консервативность. Как видно из калориметрических опытов (рис. 1), эффективным средством для выявления термостабильного домена являются соли. В их отсутствии при частичной денатурации восстанавливаемость тройной спирали не имеет места. Какова же физическая природа действия соли на тройную спираль, как она оказывает различный дестабилизирующий эффект на различные участки макромолекулы? Современные представления о природе действия солей на биологические макромолекулы и, в частности, на структуру коллагена не имеет завершенно-

го вида [5]. Более того, предлаемые концепции настолько разны, что поневоле возникает скептицизм в успешном решении вопроса в ближайшее время. Поэтому мы воздерживаемся от обсуждения конкретного механизма действия соли. Отметим лишь возможную роль различного дестабилизирующего действия соли на участки с различным иминокислотным составом, которые вносят основной вклад в определение температурной стабильности коллагена [6].

Наиболее вероятным местом локализации термостабильного домена можно считать С-концевой участок тройной спирали. Плотность иминокислот, начиная с 955 остатка, в 1,5 раза больше, чем плотность остальной части макромолекулы, а с 1014 остатка спиральная часть состоит исключительно из триплетов типа (ГЛИ-ПРО-ОПРО) [13].

Калориметрические данные дают возможность оценить размер кооперативного участка термостабильного домена двумя способами: 1) по ширине температурного интервала плавления и энталпии перехода, используя для этого соотношение, связывающее эти две величины [8]:

$$\sigma^{-1/2} = \frac{2RT_m^2}{\Delta T_{1/2} \Delta H_m}$$

(R — газовая постоянная; $\Delta H_m = 5900 \text{ Дж} \cdot \text{моль}^{-1}$ — энталпия денатурации на моль звена; T_m — температура денатурации в $^{\circ}\text{K}$; $\Delta T_{1/2}$ — полуширина перехода); 2) по отношению теплот денатурации основного и термостабильного домена. Из условия, что для коллагена кожи крысы $T_m = 293,6 \text{ }^{\circ}\text{K}$; $\Delta T_{1/2} = 2,6$ (рис. 1), по первому способу для $\sigma^{-1/2}$ получим 97 остатков для тройной спирали и 32 — для одной цепи. По отношению же теплот денатурации термостабильный домен в одной цепи содержит $1011/23 = 45$ остатков, где 1011 — число остатков в α -цепи коллагена кожи крысы, а 23 — отношение теплоты денатурации полной теплоты к теплоте денатурации термостабильного домена.

Наличие термостабильного домена, действие которого в присутствии соли проявляется во всем диапазоне

изменения рН (1,3—4,0), судя по восстановляемости тройной спиралы [1, 2], несомненно, должно нести определенный биологический смысл. Образование тройной спирали в растворе и, вероятно, в живом организме начинается со стадии нуклеации, т.е. с образования зародыша новой фазы [12]. Наличие такого зароды-

ша на конце спирали, причем именно на том, откуда сворачивается тройная спираль, дает полную гарантию того, что при биосинтезе коллагена зародыш новой фазы не будет образовываться во внутренней части тройной спирали и, следовательно, сворачивание всегда будет протекать по определенному, заранее намеченному пути.

ЛИТЕРАТУРА

- Бурджанадзе Т. В., Бежитадзе М. О. Биофизика, 33, 50—53, 1987.
- Бурджанадзе Т. В., Бежитадзе М. О. Биофизика, 33, 220—225, 1988.
- Бурджанадзе Т. В., Тиктопуло Е. И., Привалов П. Л. ДАН СССР, 293, 720—724, 1987.
- Бурджанадзе Т. В., Чарквиани Г. Г., Чанчалашвили З. И. Тр. ТГУ, 139, Тбилиси, 1971, 7—16.
- Фон Хиппель П., Шлейх Т. Всб.: Структура и стабильность биологических макромолекул, «Мир», М., 1973, 320—480.
- Вигјападзе Т. В. Biopolymers, 21, 1489—1501, 1982.
- Dick J. P., Nordwig A. Arch. Bioch. Biophys., 117, 466—468, 1966.
- Flogy P. J. J. Polym. Sciences, 49, 105—115, 1961.
- Flogy P. J., Weaver E. S. J. Amer. Chem. Soc., 82, 4518—4525, 1960.
- Glimcher M. J., Francois G. J., Richards L., Crane S. M. Bioch. Biophys. Acta, 93, 585—602, 1964.
- Hauschka P. V., Harrington W. F. Bicchemistry, 9, 3745—3754, 1970.
- Hauschka P. V., Harrington W. F. Biochemistry, 9, 3754—3763, 1970.
- Piez K. A. In: Biochemistry of Collagen, Ramachandran G. N., Reddy A. H. ed., New York, 1976, 1—42.
- Privalov P. L. Pure and Appl. Chem., 52, 479—497, 1980.

ნაფილობრივ დენატურირებული კოლაგენის რენატურაციის
ვექანიზმის შესავალი 2M ქარხვავაში გარიღის თანაობისას

8. გიგიაძე, გ. ლომაძე, თ. ბურჯანაძე

სქერთველოს სსრ მეცნიერებათა აკადემიის ა. ნათეშვილის სახელობის ექსპერიმენტული
მორფოლოგიის ინსტიტუტი, თბილისი

რეზიუმე

ნაწევნებია, რომ 0,5 NaCl-ის (2M ქარხვავა) თანაობისას კოლაგენის მოლეკულის სპირალური უბანი ლოვება სითბოს შთანთქმის ორ მომდევნო სტადიად. თუ ამ პირობებში მოვახდეთ ნაწილობრივ დენატურაციას, ხელუხლებლად დავ-

ტოვებთ რა დენატურაციის მაღალტემპერატურულ სტადიას, შეიძლება მიღებულიქნას სამშაგი სპირალის სრული აღდგენა ცილის ნატივური ფილებების შენაჩინებით.

INVESTIGATION OF THE COLLAGEN RENATURATION MECHANISM AT PARTIAL DENATURATION IN 2 M ACETIC ACID IN THE PRESENCE OF SALT

M. O. BEZHITADZE, M. A. LOMAIA, T. V. BURJANADZE

A. Natishvili Institute of Experimental Morphology, Georgian Academy of
Sciences, Tbilisi, USSR

Summary

In the presence of 0.5 M NaCl 2 M CH₃COOH heat absorption and the second structure alteration in the heated solution were shown to be carried out in two consecutive stages. Moreover, salts not only decreased macromolecule denaturation temperature in total, but had a different destabilization effect on different regions.

The presence of the thermostable domain in the macromolecule helical part allows the search of the triple collagen helix folding mechanism at partial denaturation in 2 M acetic acid.

The localization and biological role of the stable domain in the triple helix formation are suggested.

УДК — 577.1+612.014.1

КРАТКИЕ СООБЩЕНИЯ

СОДЕРЖАНИЕ ПОЛИАМИНОВ В ПЕЧЕНИ МЫШЕЙ ПРИ ДЕЙСТВИИ ТЕТРАХЛОРУГЛЕРОДА

М. В. Пирцхалава, Л. М. Ткемаладзе, А. И. Кутовой,
Р. В. Лукеренко, С. Н. Черненькая, А. Н. Васильев

Институт экспериментальной и клинической терапии МЗ ГССР, Тбилиси
Киевский государственный университет им. Т. Шевченко

Поступила в редакцию 26.10.88

Токсическое поражение печени тетрахлоруглеродом характеризуется множественными метаболическими нарушениями [1]. Для действия тетрахлоруглерода характерно зависимое от дозы угнетение процессов, связанных с функционированием ядерного аппарата клетки [7]; угнетается рост

клеток [4]. Ряд авторов [1, 5, 9] высказывает предположение о возможности использования результатов анализа содержания полиаминов в печени экспериментальных животных при оценке степени тяжести токсического поражения тетрахлоруглеродом.

МАТЕРИАЛ И МЕТОДЫ

В работе были использованы белые беспородные мыши массой 20—24 г. Раствор тетрахлоруглерода в оливковом масле в дозе 0,2 мл на 100 г массы тела вводили раз ос с экспозицией 48 ч. После декапитации животных печень извлекали и промывали в охлажденном физиологическом растворе (0—4°C). Для экстракции фракции полиаминов навеску ткани гомогенизировали в 3 М HClO_4 в соотношении 1:2 (вес:объем). Полиамины в аликовите экстракта, полученного после центрифugирования и доведения pH до 9,0—10,0, подвергали дансилированию на протяжении 18 ч в темноте при комнатной температуре по методу [3]. Дан-

силированные производные полиаминов экстрагировали бензолом и после очистки [3] подвергали хроматографическому разделению на пластинках «Silufol UV-254» (ЧССР) в системе растворителей: триэтиламин:бензол (1:5) по объему в стеклянных камерах, насыщенных парами жидкой фазы.

Количественный анализ полиаминов проводили в отраженном свете на денситометре CS-910 «Shimadzu» (Япония) с использованием стандартов путресцина, спермина, спермидина. Результаты работы обработаны статистически с использованием t-критерия Стьюдента [2].

РЕЗУЛЬТАТЫ ИССЛЕДОВАНИЯ И ИХ ОБСУЖДЕНИЕ

Результаты количественного определения полиаминов в печени мышей представлены в табл. 1.

В печени мышей в контроле определены путресцин, спермин и спермидин, на долю которого приходится 62% от общего количества полиаминов. Путресцин составляет 22%, а

спермин — 16% от общего содержания полиаминов в печени контрольных мышей. Величина соотношения путресцин/спермин+спермидин составляет в контроле 0,27. Результаты, полученные нами, согласуются с описанными в литературе [1, 5, 7, 9].

Через 48 ч после введения рег ос тетрахлоруглерода подопытным животным качественных изменений в составе полиаминов не происходит. Как и в контроле, в экстрактах из печени мышей обнаружены путресцина

ных указывает на возможность специфической чувствительности метаболических превращений полиаминов в печени мышей к токсическому действию тетрахлоруглерода. Отсутствие изменений в содержании путресцина

Таблица 1

Содержание полиаминов в печени мышей при действии тетрахлоруглерода (нмоль/г ткани)

Показатели	Контроль $M \pm m$	Опыт $M \pm m$	Статистические показатели	
			T	p
Путресцин	340 \pm 60	290 \pm 28	1	>0,5
Спермидин	1000 \pm 112	1700 \pm 96	4,3	<0,01
Спермин	240 \pm 32	560 \pm 28	3,5	<0,05
Сумма полиаминов	1580	2556		
Путресцин спермин + спермидин	0,22	0,13		

цин, спермин и спермидин. Одновременно с этим выявлены количественные отличия в содержании и соотношении полиаминов. Суммарное содержание полиаминов в печени мышей после токсического воздействия тетрахлоруглерода увеличивается по сравнению с контролем на 70%. При анализе полученных результатов установлено, что увеличение суммарного содержания полиаминов в печени мышей при токсическом воздействии четыреххлористым углеродом происходит главным образом за счет роста относительной доли спермина и спермидина. Так, согласно данным, представленным в таблице, через 48 ч после введения тетрахлоруглерода содержание спермина и спермидина в печени мышей увеличено соответственно на 150 и 79% по сравнению с контролем. В то же время, количественное содержание путресцина оказалось даже несколько сниженным при сопоставлении с контролем. В результате токсического воздействия величина соотношения путресцин/спермин+спермидин уменьшается в 2 раза по сравнению с контролем и составляет 0,13. Анализ полученных экспериментальных дан-

в печени мышей через 48 ч после введения тетрахлоруглерода говорит о низкой чувствительности орнитиндекарбоксилазы к токсическому действию. Вероятно, что в печени мышей, подвергнутых токсическому действию тетрахлоруглерода, снижается эффективность утилизации спермина, для которых, в частности, показана возможность ферментативного ацетилирования [8]. Таким образом, для токсического поражения печени мышей тетрахлоруглеродом характерно специфическое увеличение содержания фракций полиаминов.

Полученные результаты указывают на возможную связь повреждения внутриклеточных механизмов регуляции процессов роста и дифференцировки клеток печени после введения тетрахлоруглерода [4] и токсического повреждения метаболизма полиаминов. Выявленные нами специфические изменения состава полиаминов в печени после токсического воздействия могут лежать в основе нарушений функционирования транскрипционно-трансляционного аппарата в клетках печени [1], сопровождающих гепатотоксическое действие тетрахлоруглерода [7].

1. Бердинских Н. К., Залеток С. П. Полиамины и опухолевый рост, «Наукова думка», Киев, 1987.
2. Ойвин И. А. Пат. физiol. и эксп. тер., 4, 76—85, 1970.
3. Слёткин С. Н., Березов Т. Т. Вопр. мед. химии, 6, 848—851, 1981.
4. Beaufet A., Barbieri L., Ferri M., Casini A. F., Fulceri R., Compagni M. Chem. Biol. Interact., 35, 331—340, 1981.
5. Cohen S. Nature, 60, 247—253, 1972.
6. Herbst E. I., Snell E. E. J. Biol. Chem., 1, 181, 47—54, 1949.
7. Holta E., Sinervirta R., Janne J. Biochem. and Biophys. Res. Commun., 54, 1, 350—357, 1973.
8. Scalabrino G., Ferioli M. E. Advances in Cancer Research, New York: Raven press, 35, 1981, 151—265.
9. Tabor C. W., Tabor H. Ann. Rev. Biochem., 45, 285—306, 1976.

ОБІГИ СІРУІДНОГО АМІДУ ПІД ВПЛИВОМ
СІРУІДНОГО РЕАКТИВА У МИШЕНІХ ГІДРОСІРУІДІВ

В. ПІРТСХАЛАВА, Л. ТКЕМАЛАДЗЕ, А. КУТОВІ, Р. ЛУКЕРЕНКО,
С. ЧЕРНЕНКАЯ, А. ВАСІЛІЕВ

Науково-дослідливий інститут експериментальної та клінічної терапії
також підтримано відомим донором
О. Іванівським

Результати

Оброблені миші отримали 0,2 мл/100 г рутина в дозі 48% зростанням
маси тіла. У результаті збільшення маси тіла відбулося залежно від дози
рекуперації. У результаті залежності від дози розподілу відбулося зростання
маси тіла від 70% до 100%. У результаті залежності від дози розподілу відбулося зростання
маси тіла від 70% до 100%.

Задля вивчення залежності від дози розподілу відбулося зростання
маси тіла від 70% до 100%. У результаті залежності від дози розподілу відбулося зростання
маси тіла від 70% до 100%.

POLYAMINE CONTENT IN THE LIVER OF MICE UNDER THE EFFECT OF CARBON TETRACHLORIDE

M. V. PIRTSKHALAVA, L. M. TKEMALADZE, A. I. KUTOVOI, R. V. LUKERENKO,
S. N. CHERNENKAYA, A. N. VASILIEV

Institute of Experimental and Clinical Therapy, Tbilisi, USSR
T. Shevchenko Kiev State University, USSR

Summary

48 hours after per os administration of carbon tetrachloride to mice in the dose of 0.2 ml/100 g of body weight a 70% rise in the total polyamine content was noted. The rise in the amount of polyamines in the liver of mice after the effect of carbon tetrachloride was

due to an increase in the share of spermine and spermidine 1.7 and 2.3 times, respectively. The qualitative composition of polyamines in the liver of mice showed no changes under the effect of carbon tetrachloride.

ପ୍ରକାଶକ ପାତା ପାତାକାଳୀମୁଦ୍ରଣ

ନେତ୍ରବୈକ୍ଷଣିକ ପାଦମଧ୍ୟ ଏବଂ ଅନ୍ତର୍ବାହିକ ପାଦମଧ୍ୟ (ଯେହାଙ୍କୁ ବିନିର୍ଦ୍ଦୀପିତା ଏବଂ ପାଦମଧ୍ୟରେ ଉଚ୍ଚତା ପାଇଲା), ଲାଗୁରୁ-

5. അടുക്കിയുള്ള പ്രവർത്തനം — മീറ്റിംഗ് ഫോറം എന്ന പ്രവർത്തനം ആണ് ഇത്.

7. ဗြိုလ်ချုပ်ရွှေဘိုး၊ နာမ်လှော့ခြင်းပါ ၁၁။ အကူးဆ ဇူးပြုလ အလောင်းနှင့် ပြုလှုပါ ၁၂။ နာမ်လှော့ခြင်းပါ ၁၃။ အော်ဆ ဇူးပြုလ အလောင်းနှင့် ပြုလှုပါ ၁၄။ အော်ဆ ဇူးပြုလ အလောင်းနှင့် ပြုလှုပါ ၁၅။ အော်ဆ ဇူးပြုလ အလောင်းနှင့် ပြုလှုပါ ၁၆။ အော်ဆ ဇူးပြုလ အလောင်းနှင့် ပြုလှုပါ ၁၇။ အော်ဆ ဇူးပြုလ အလောင်းနှင့် ပြုလှုပါ ၁၈။ အော်ဆ ဇူးပြုလ အလောင်းနှင့် ပြုလှုပါ ၁၉။ အော်ဆ ဇူးပြုလ အလောင်းနှင့် ပြုလှုပါ ၁၁၀။

8. සාර්ථකවුයිල් ජෞන්‍යත්වයින් ගැස්මිනරුවින්ට නැංවීමේ පෙදලයුග්‍රහි වූ මුද්‍රාව තුළුවා යොමු කළ යුතුයි.

9. రూట్లుకు గొప్పాడని వ్యవహరిస్తు శ్రీమతిశ్రీసుఖార్జున రాజు శ్రీసుఖార్జును సర్పార్జును తృప్తిస్తాడి.

10. అంతానికి ఉపాసింధు గ్రంథాను అంశాల్ని అందించుకొని అంతానికి ప్రాణాన్తమా.

1. В журнале печатаются завершенные, оригинальные работы экспериментального и теоретического характера по утвержденным редакционной разделам биологии, обзорные статьи, написанные по заказу редакции, а также краткие сообщения и рецензии. Периодически в журнале помещается краткая хроника о проведенных научно-организационных мероприятиях.

2. Объем рукописи экспериментальных работ, включая таблицы, рисунки, подпункты к рисункам, список литературы и резюме на грузинском и английском языках (не более одной страницы машинописи на каждом языке), не должен превышать 12 страниц машинописного текста, напечатанного через 2 интервала и полем 3 с левой стороны. К рукописи может быть приложено не более 5 рисунков. Объем обзорной статьи — 24 страницы, краткого сообщения — для 4 страниц машинописи. Краткие сообщения можно иллюстрировать 1–2 рисунками.

Резюме на грузинском и английском языках, список литературы, таблицы подпись к рисункам должны быть представлены на отдельных листах.

3. Рукопись (в двух экземплярах) должна иметь направление учреждения и засекречивание экспертизы комиссии. На первой странице слева приводится индекс страны (УДК), справа — раздел биологии, затем название статьи, инициалы и фамилии авторов, название учреждения, где выполнена работа, и краткая аннотация (не более 0,5 стр.).
Статья должна быть подписана всеми авторами. В конце статьи необходимо

Статья должна быть подписана всеми авторами; в конце статьи необходимо указать полностью инициалы, отчество и фамилии авторов, домашний и служебный адреса, телефоны.

5. Иллюстрации — четкие фотографии на глянцевой бумаге и рисованные графики на харчевой или белой цветной бумаге — ставятся впереди текста в технике

Фамилии на кальке или обозн. чертежной бумаге — следует представлять в двух засечках. Надписи на иллюстрациях должны быть выполнены тушию. На обороте иллюстрации следует обозначить карандашом ее номер, фамилию автора и сокращенное название статьи, а в случае необходимости отметить верхний и нижний край.

6. Фамилии антирусских авторов следует давать в транскрипции, соответствующей тексту статьи и в оригинальной — в списке литературы. Список литературы составляется по алфавиту — вначале грузинским и русским шрифтом, а затем латинским. После порядкового номера (в тексте статьи он ставится в квадратные скобки) следует давать фамилию и инициалы авторов, название издания, затем: для периодических изданий — том, страницы (от и до), год; для непериодических — название.

издательства, место, год издания и страны.

7. Рукописи, оформленные без соблюдения указанных правил, а также не соответствующие профилю журнала, возвращаются автору. Все рукописи проходят рецензирование.

8. Корректуры статей даются авторам для проверки, правки и визирования. Дополнительные изменения в тексте не допускаются.

9. Редакция оставляет за собой право сокращать и исправлять тексты статей.
 10. Авторы получают бесплатно 12 отдельных оттисков.

Утверждено Президиумом Академии наук ГССР 14.02.1974

Uroplatus sikorae (Boulenger) 1895, Proc. Zool. Soc. Lond., p. 102.

Цена 85 коп.

Индекс

762045 Урал
Заводской район